

KAMINSZKIJ-FILATOV

# Csillag-, háromszög-, zegzugkapcsolás. Fáziskeresés



MŰSZAKI KÖNYVKIADÓ

**KAMINSZKIJ-FILATOV**

**CSILLAG-, HÁROMSZÖG-, ZEGZUG-  
KAPCSOLÁS. FÁZISKERESÉS**



**E. A. KAMINSZKIJ – A. A. FILATOV**

**CSILLAG-, HÁROMSZÖG-,  
ZEGZUGKAPCSOLÁS.  
FÁZISKERESÉS**

**MŰSZAKI KÖNYVKIADÓ, BUDAPEST  
MIR KÖNYVKIADÓ, MOSZKVA  
1982**

Az eredeti mű:

**Евгений Абрамович Каминский: Звезда, треугольник, зигзаг**  
изд. четвертое, переработанное  
Издательство «Энергия» Москва .

**Александр Александрович Филатов:**  
**Фазировка электрического оборудования**  
Издательство «Энергия» Москва

Fordította és átdolgozta:

**Géczi István** okl. vill. mérnök

Lektorálta:

**Sipos Miklós** okl. gépészmérnök

**Rozenberszki Róbert** okl. vill. mérnök

© Hungarian Translation  
Műszaki Könyvkiadó, 1981  
MIR Könyvkiadó, Moszkva

ETO: 621.3.062

ISBN: 963 10 3883 1

Felelős szerkesztő: **Guller Jánosné** villamosmérnök

# TARTALOM

BEVEZETÉS .....	7
1. A VÁLTAKOZÓÁRAM NÉHÁNY JELLEMZŐJÉRŐL .....	9
A váltakozóáram keletkezése és ábrázolása .....	9
Többfázisú áramok .....	12
Fázis, fázisrend, fázishelyzet és fázisazonosítás .....	17
2. A HÁROMFÁZISÚ RENDSZER CSILLAG- ÉS HÁROMSZÖGKAPCSOLÁSA .....	21
Az alapkapcsolások jellemzői .....	21
A teljesítmény meghatározása .....	26
A csillag–háromszög átkapcsolás alkalmazásai .....	29
3. A TRANSZFORMÁTORTEKERECSEK KAPCSOLÁSA .....	30
Transzformátortekercsek csillagkapcsolása .....	32
A csillagpontföldelés kérdései .....	33
A csillagpont eltolódása .....	38
Transzformátortekercsek háromszöghkapcsolása .....	41
Transzformátorok terhelésének hatása a feszültségre .....	43
A magtranszformátorok sajátosságai .....	44
Zegzugkapcsolású transzformátortekercsek .....	47
Háromfázisú transzformátorok zegzug–csillag kapcsolása .....	49
Transzformátorok kapcsolási csoportjai .....	50
A kapcsolási csoportok megváltoztatása .....	54
Vektorábra szerkesztése a kapcsolási mód meghatározásához .....	56
4. A TEKERCSKIVEZETÉSEK MEGHATÁROZÁSA .....	61
Motortekercsek hovatartozásának meghatározása .....	61
Transzformátorkivezetések meghatározása .....	63
A tekercsek kezdetei és végei .....	63
Kötési hibák .....	67

<b>5. HATFÁZISÚ CSILLAG- ÉS KETTŐS ZEGZUGKAPCSOLÁS .....</b>	<b>71</b>
Egyenirányító rendszerek .....	71
Egyenirányítók kapcsolása .....	73
<b>6. NYITOTT HÁROMSZÖGKAPCSOLÁS. V-KAPCSOLÁS .....</b>	<b>79</b>
<b>7. PÉLDÁK MÉRŐTRANSZFORMÁTOROK KAPCSOLÁSÁRA .....</b>	<b>83</b>
A feszültségváltók kivezetéseinek jelölése .....	83
<b>8. MESTERSÉGES NULLAPONT .....</b>	<b>89</b>
<b>9. A FÁZISHELYZET MEGVÁLTOZTATÁSA A TEKERCSEKBEN .....</b>	<b>91</b>
<b>10. A FÁZISHELYZET MEGHATÁROZÁSÁNAK ESZKÖZEI .....</b>	<b>93</b>
Feszültségmérők .....	94
Fázissorrendjelző (forgásirányjelző) .....	94
Egyetemes (univerzális) műszerek, ill. mérőkészülékek .....	95
A mérőbőrönd alkalmazási területe .....	98
Megohmmérő .....	101
Feszültségvizsgálók (feszültségjelzők) .....	103
<b>11. ELŐZETES FÁZISAZONOSÍTÁS (A FÁZISSORREND ELLENŐR- ZÉSE) .....</b>	<b>107</b>
A generátor fázissorrendjének ellenőrzése .....	108
A szinkron kompenzátor fázissorrendjének ellenőrzése .....	110
Erőátviteli transzformátorok .....	110
Vezetékek .....	111
<b>12. A FÁZISHELYZET MEGHATÁROZÁSÁNAK KÖZVETLEN MÓD- SZEREI .....</b>	<b>115</b>
Transzformátorok .....	115
Vezetékek .....	123
Egyszerűsített kapcsolású állomások .....	128
Balesetelhárítási követelmények a fázishelyzet feszültségvizsgálóval végzett meghatározásakor .....	130
<b>13. A FÁZISHELYZET MEGHATÁROZÁSÁNAK KÖZVETETT MÓD- SZEREI .....</b>	<b>132</b>
Transzformátorok és hálózatok fázisazonosítása kettős gyűjtő sínrendszer ese- tén .....	133
Háromtekercses transzformátorok fázisazonosítása .....	134
Transzformátorok és hálózatok fázissorrendjének azonosítása folyamatosan végzett (nulláról induló) feszültségnöveléssel .....	135

# BEVEZETÉS

A csillag- és háromszöghkapcsolás alapvető kapcsolási fajták a háromfázisú villamos berendezésekben. A zegzugkapcsolás ritkábban fordul elő. Mivel valamennyi kapcsolásnak sajátos tulajdonságai vannak, ezért a kapcsolásfajta meghatározó jelentőségű. Ha pl. egy transzformátor szekunder tekercsét csillagba kapcsoljuk, akkor csak egyetlen feszültséget kapunk, pl. 127, 220 vagy 380 V-ot. Földelt csillagkapcsolás esetén viszont két feszültség, pl. 127 és 220 V, vagy 220 és 380 V, földelt zegzugkapcsolás esetén pedig már három feszültség nyerhető, pl. 127, 220 és 380 V.

Egy és ugyanazon készülék tekercselése csillagba, háromszögbe, zegzugba nemcsak egy, hanem többféle módon is köthető. Következésképpen nem minden csillag- és nem minden háromszöghkapcsolás egyforma.

Nem elegendő csak azt tudni, hogy a konkrét esetben milyen kapcsolás szükséges, ismerni kell annak kialakítását is. A gyakorlatban ezt bonyolultabb megvalósítani, mint ábrán. A probléma abban jelentkezik, hogy a tekercsek a készüléken belül nem láthatók, csak a kivezetésekhez férhetünk hozzá, és nem mindig lehet tudni, hogy a három tekercs közül melyikhez tartozik egyik vagy másik kivezetés, továbbá, hogy az adott kivezetés a tekercs kezdete-e vagy vége. A kapcsolás kialakítása során könnyű hibázni, azaz az egyik csillag (háromszög) helyett másikat nyerhetünk, vagy ami még ennél is rosszabb egészen más kapcsolást hozunk létre – azaz se csillagot, se háromszöget, se zegzugot –, ami viszont már nem megengedett.

Végül a helyesen kapcsolt készüléket könnyű helytelenül a hálózatra kapcsolni. Az ilyen hiba pl. megváltoztathatja a villamos motor vagy egy egész motorcsoport forgásirányát.

Az elmondottak meggyőzően bizonyítják valamennyi villanyszerelő és elektrotechnikus számára, hogy nem elegendő elvileg jól ismerni és érteni a csillag- és háromszöghozkapsolás tulajdonságait, hanem helyesen kell alkalmazni azokat a gyakorlatban is. E kérdések áttekintését szolgálja ez a könyv, amely E. A. Kaminszkij: Csillag-, háromszög-, zezugkapsolás és A. A. Filatov: Villamos berendezések fázissorrendjének meghatározása c. az „Energija” (Moszkva) kiadónál megjelentetett ismeretterjesztő és gyakorlati kiadványok alapján készült.

# 1. A VÁLTAKOZÓÁRAM NÉHÁNY JELLEMZŐJÉRŐL

A könyv mondanivalójának megértéséhez szükség van az elektrotechnika alapfogalmainak ismeretére. Az összefüggések felismerése céljából a következőkben vázlatosan áttekintjük a váltakozóáram néhány jellegzetességét.

## A váltakozóáram keletkezése és ábrázolása

Váltakozófeszültséget a legegyszerűbb generátorban is elő lehet állítani (1. ábra), amely 1 kétpólusú mágnesből és egy menetes tekercsből 2 (vezetőkeret) áll. Ebből a szempontból nincs jelentősége annak, hogy a tekercs (vezetőkeret) vagy a mágnes forog, ugyanis mindkét módon elérhető, hogy a tekercs menetei metsszék a mágneses erővonalakat, amely az indukált feszültség (régibbi elnevezése szerint elektromotoros erő) létrejöttének a feltétele.

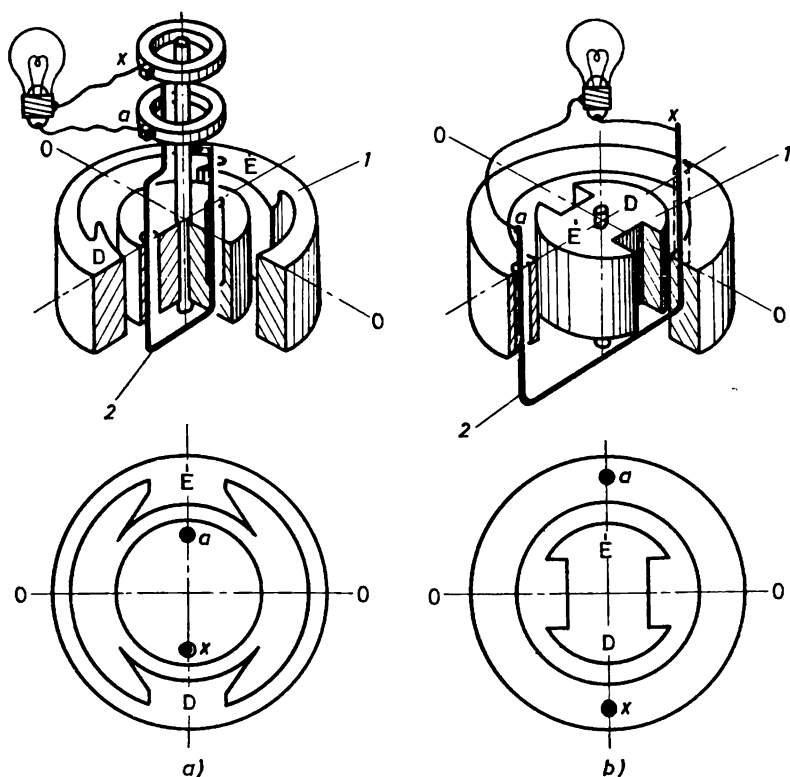
Forgás közben, mivel a vezetőkeret helyzete a mágneses térhez viszonyítva pillanatról pillanatra különböző, a metszett indukcióvonalak száma sem azonos (2. ábra). Amikor a keret helyzete merőleges ( $c, g$ ) az indukcióvonalakra, akkor a metszett erővonalak száma és ezzel együtt az indukált feszültség értéke maximális; amikor pedig párhuzamos ( $a, e, i$ ) akkor nulla. Azt a  $T$  időt, amely a tekercs azonos helyzetbe való visszajutásához szükséges, periódusidőnek nevezik, a másodpercenkénti periódusok  $f$  számát pedig frekvenciának. Közöttük a következő összefüggés áll fenn:

$$f = \frac{1}{T},$$

egysége a H ;  $1 \text{ Hz} = \frac{1}{s}$ .

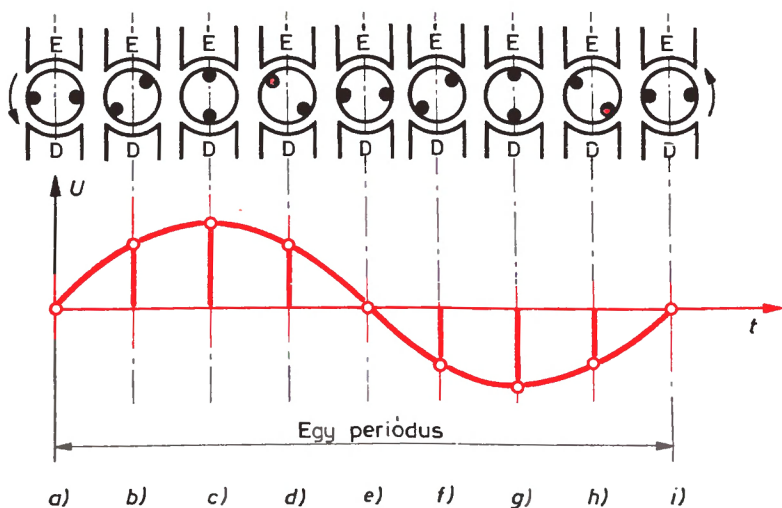
A szinuszgörbe szerkesztését a 3. ábra mutatja. A vízszintes tengelyre balról jobbra növekedve vagy a  $t$  időt, vagy a tekercs  $\alpha$  szögelfordulását, a függőleges tengelyre pedig a kérdéses mennyiséget, pl. a feszültséget vagy áramot vesszük fel. A szögelfordulást fokban vagy ívmértékben, de előfordul, hogy a periódusidő részeként ( $T/4$ ,  $T/2$ ,  $3/4T$ ,  $T$ ) tüntetik fel.

Többpólusú generátorokban a villamos és geometriai szögek nem esnek egybe, mert az azonos nemű pólusok, pl. az északiak, egy-

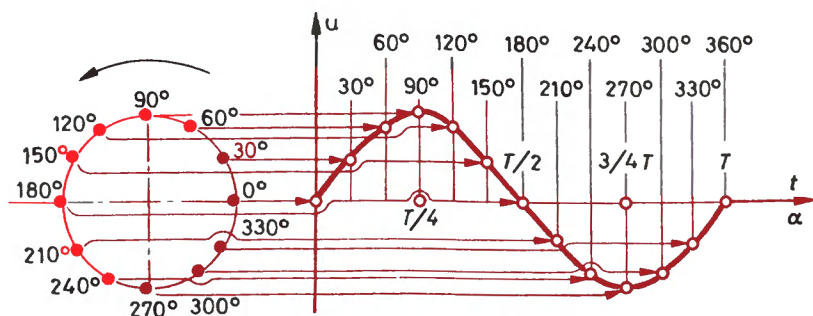


1. ábra. A váltakozóáram előállításának elve generátorokban





2. ábra. A feszültség változása egy periódus alatt



3. ábra. A szinuszgörbe szerkesztése

máshoz viszonyítva térben közelebb vannak egymáshoz: azaz a két póluspárú generátorban  $180^\circ$ -ra, a három póluspárúban  $120^\circ$  távolságra. Miközben tehát a forgórész egy fordulat alatt  $360^\circ$ -nyi geometriai szöget ír le, ez villamos értelemben annyiszor  $360^\circ$ -ot jelent, ahány póluspár ( $p$ ) van. Következik ebből, hogy egy fordulat alatt a póluspárok számától függően, eltérően a kétpólusú (egypóluspárú)

generátortól nem egy, hanem több periódus zajlik le. A generátorban keletkező váltakozófeszültség frekvenciája így az

$$f = p \frac{n}{60} \text{ Hz}$$

összefüggésnek felel meg.

Említést kell tenni még az  $\omega$  körfrekvenciáról, amely nem más, mint a másodpercenként megtett szögelfordulás (szögsebesség). Mivel egy fordulat alatt a mozgó vezető a kerületnek megfelelő, azaz  $2\pi$  utat tesz meg, a körfrekvencia

$$\omega = \frac{2\pi}{T},$$

és mivel  $\frac{1}{T} = f$ ,

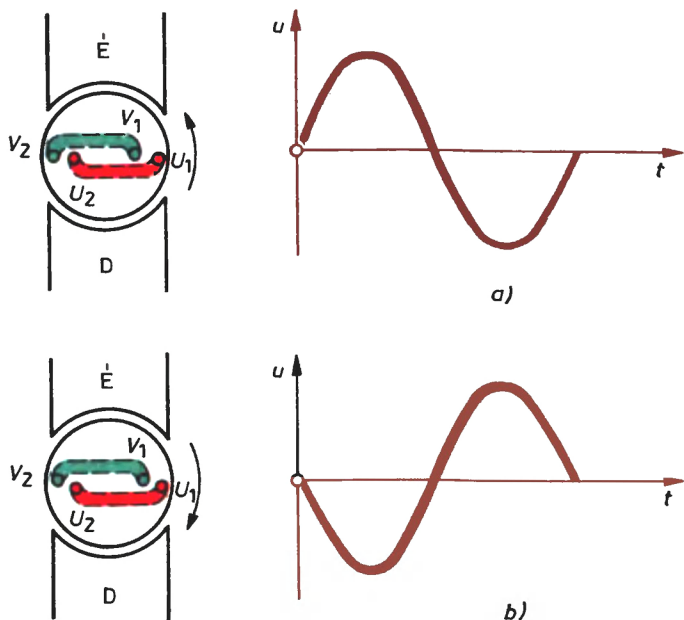
$$\omega = 2\pi f, \quad \frac{1}{s}.$$

## Többfázisú áramok

Ha a generátorban egynél több tekercs van és azok szerkezetileg, metszszámukat és a vezetőkeresztmetszetet tekintve azonosak, akkor a feszültség változását ábrázoló szinuszgörbék egyformák. Rajzon ezeket a görbéket a tekercsek kölcsönös elhelyezkedésének és forgásuk irányának megfelelően kell ábrázolni.

A 4. ábrán látható kétkerces generátor azonos hornyában elhelyezett  $U_1$ ,  $U_2$  és  $V_1$ ,  $V_2$  tekercsei a mágneses térhez viszonyítva azonos szöggel fordulnak el, ezért a feszültség változását ábrázoló szinuszgörbék mindkét esetben egybeesnek. Ha a forgás az óramutató járásával ellentétes, a feszültségváltozás regisztrálása abban a pillanatban kezdődik, amikor a tekercsek a rajzon megjelölt helyzetet foglalják el. Ilyenkor a szinuszgörbék a 4a ábra szerint ábrázolhatók. Ha a forgás az óramutató járásával megegyezik, a szinuszgörbe is más (4b ábra), mégpedig azért, mert a/ első esetben a vezetők először az északi, a második esetben először a déli pólus alatt haladnak át.

Az 5. ábrán látható generátornak szintén két tekercse van, de azok egymásra merőlegesek. Emiatt a feszültség csúcserőke bennük

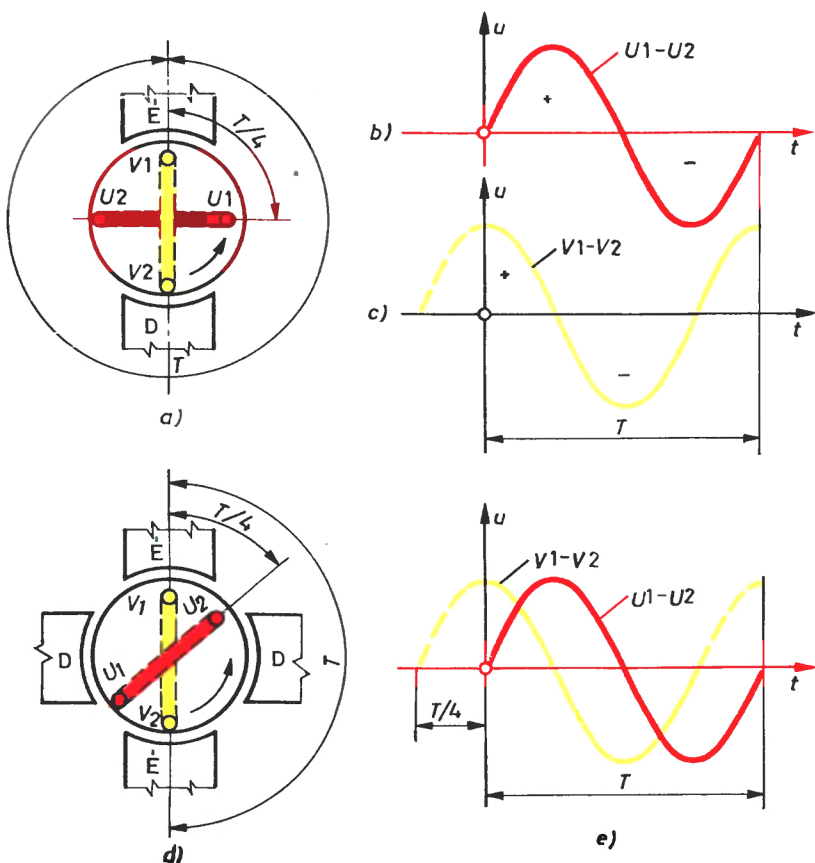


4. ábra. A szinuszhullám kialakulása a generátor forgórészének helyzetétől függően

különböző időpontban keletkezik és következésképpen a szinuszgörbék eltolódnak. Az egymásra merőleges tekercsekben keletkező feszültségek nagyságát és helyzetét szinuszvonalal történő ábrázolás esetén a következőképpen lehet megszerkeszteni.

1. Az egyik tekercs, pl. az  $U_1$ ,  $U_2$  tekercsben keletkező feszültség szinuszgörbéjét a rajzon tetszőlegesen helyezik el, és az origókon keresztül egy-egy függőlegest húznak (5b ábra).

2. Az 5a ábra szerint meghatározzák, hogy a vezető mely helyzetének felel meg a 0 pont és ebben az időpontban hol van a  $V$  vezető: megelőzi-e a forgási irány szerint az  $U$  vezetőt vagy elmarad tőle. Esetünkben a  $V$  vezető megelőzi az  $U$  vezetőt. Valóban az utóbbi még a semleges ponton van és benne a feszültség értéke nulla, a  $V$  vezető pedig már a pólus alatt és benne a feszültség elérte maximális értékét.



5. ábra. Két tekercs feszültségeinek negyedperiódusnyi eltolódása

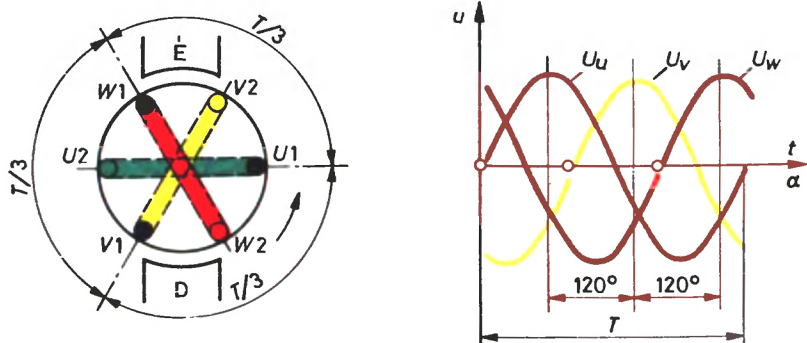
3. Meghatáro zók a  $V_1$ ,  $V_2$  tekercsben a feszültség előjelét a 0 pontra vonatkozóan. Ennek ismeretében állapítható meg, hogy a  $V_1$ ,  $V_2$  tekercs szinuszgörbéje a vízszintes tengely alatt vagy felett kezdődik. Ha a  $V_1$ ,  $V_2$  tekercs ugyanazon pólus tartományában van, amelyhez a forgatáskor az  $U_1$ ,  $U_2$  tekercs közeledik, akkor a feszültség előjelei azonosak. Példánkban az  $U_1$ ,  $U_2$  tekercsben a feszültség pozitív és mindkét tekercs azonos pólustartományban van, ezért a  $V_1$ ,  $V_2$  tekercsben keletkező feszültség szinuszgörbéje a 0 pontban pozitív.

4. Meghatározzák, hogy a  $V1$ ,  $V2$  tekercs az  $U1$ ,  $U2$  tekercshez viszonyítva mekkora szögértékkel mozdult el. Ez az 5a és d ábrákból látható, amelyeken a két- és négypólusú generátorokat ábrázolják. A  $T$  periódus időtartamát minden esetben az azonos nemű pólusok közötti távolsággal és a forgás frekvenciájával (sebességével) határozzák meg. Könnyen belátható, hogy a tekercsek kezdetei közötti távolság, azaz az  $U$  és  $V$  vezető közötti távolság egyenlő  $1/4T$ -vel.

5. Végül egymásra kell helyezni az  $U1$ ,  $U2$  és  $V1$ ,  $V2$  szinuszgörbékét az 5e ábra szerint. Ebből világosan látható, hogy köztük  $T/4$  periódusnyi, azaz  $90$  villamos foknyi eltolódás van.

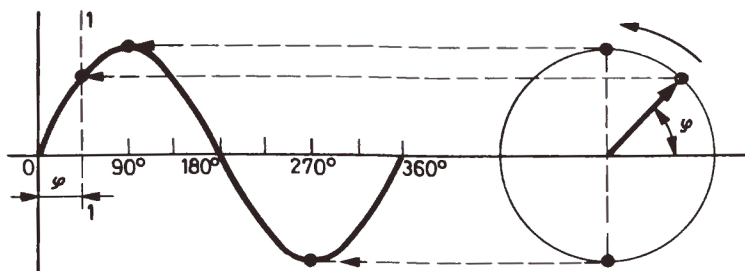
A 6. ábrán egy háromtekercses háromfázisú generátor látható az  $U1$ ,  $U2$ ,  $V1$ ,  $V2$  és  $W1$ ,  $W2$  tekercsekkel. A tekercsek a kör mentén egyenletesen vannak elosztva, azaz egymáshoz viszonyítva  $T/3$  periódusnyira vagy  $120^\circ$ -ra eltolva. Az egyforma tekercsek ilyen elrendezése esetén és az óramutató járásával ellentétes forgatás közben az  $U1$ ,  $U2$  tekercsben indukálódó feszültség  $T/3$ -nyira megelőzi a  $V1$ ,  $V2$  tekercs feszültségét, amely ugyancsak  $T/3$ -nyira előzi meg a  $W1$ ,  $W2$ -ét.

A váltakozóáramú technikában a feszültségek (áramok) periodikus változásait gyakran forgó *síkvektorokkal*, azaz meghatározott hosszúságú és irányú egyenes szakaszokkal ábrázolják. A szinuszgörbék és a forgó vektorok közötti kapcsolatot a 7. ábra mutatja. A vektorok nagysága valamilyen léptékben a feszültség csúcsertékének

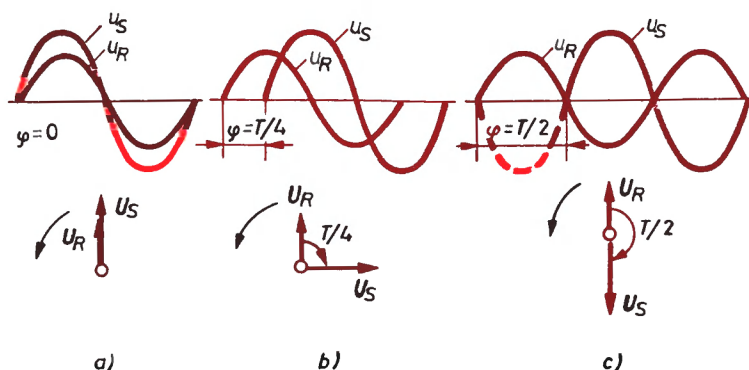


6. ábra. Három tekercsben indukálódó, egyharmad periódusnyira eltoló feszültségek

felel meg, a vektorok vetülete az 1–1 függőleges tengelyre a pillanatnyi értékeket adja. Két egybeeső kezdetű vektor közötti fázis eltolódását a  $\varphi$  szöggel határozzák meg (8. ábra). Az  $E_S$  vektor  $E_R$  vektorhoz mért késését a  $\varphi$  szög nyílával mutatjuk (a vektorok forgási irányával ellentétesen).



7. ábra. A szinuszgörbe előállítás a vektor forgatásával



8. ábra. Két feszültség ábrázolása szinuszgörbével és vektorokkal különböző fázisszögek esetén

a  $\varphi = 0^\circ$ ; b  $\varphi = 90^\circ$ ; c  $\varphi = 180^\circ$

## Fázis, fázissorrend, fázishelyzet és fázisazonosítás

A *fázis* szónak többféle jelentése van. Szélesebb értelmezésében fázisnak nevezik valamely jelenség kialakulásának egyes időpillanatait. A periodikus folyamatokkal kapcsolatban, amelyekhez pl. a belső (indukált) feszültség és az áram változása is tartozik, azt az értéket nevezik fázisnak, amely az adott folyamat állapotát valamelyik időpillanatban jellemzi.

Ily módon fázisnak nevezhető a tekercs szögelfordulása [ugyanis minden szöghöz a belső (indukált) feszültség meghatározott értéke tartozik], valamint a periódus kezdete óta eltelt idő. Amikor az indukált feszültség nulla, a periódus kezdetét nulla fázisnak nevezik.

A gyakorlatban a háromfázisú rendszer fázisán a háromfázisú áramkörnek azt a részét értik, amelyen keresztül azonos, de a másik két fázishoz képest eltolt áram halad át. Ebből kiindulva fázisnak nevezzük a generátor, a transzformátor, a motor tekercsét, a háromfázisú hálózat vezetékeit, így is hangsúlyozva azt, hogy ezek a háromfázisú áramkör meghatározott szakaszához tartoznak.

Az erőművek, transzformátor- és kapcsolóállomások villamos berendezéseinek színnel való jelölését és vezetékeinek sorrendjét az MSZ-09-0238-79 előírásainak megfelelően az 1. táblázatban foglaltuk össze. A táblázatból is láthatóan a háromfázisú hálózatokban a fázisokat *R*, *S*, *T* betűkkel jelölik. A hivatkozott szabvány szerint az *R* fázis zöld, az *S* fázis sárga és a *T* fázis piros. A berendezés fázisainak felismerésére gyakran azok burkolatán, a szigetelők talpán vagy sapkáján a megfelelő színjelölést összefüggően, ill. kör vagy csik formájában is feltüntetik.

Többfázisú rendszerben a feszültségek, ill. áramok azonos fázishelyzetű (nullaátmenet vagy maximum) pillanatértékeinek bekövetkezési sorrendjét *fázissorrendnek* nevezik. Ezenkívül ezt a fogalmat használják a fázisok [a hálózat egyes vezetői, a villamos gépek tekercskivezetései (kapcsai) stb.] térbeli elhelyezkedésének meghatározásakor is.

Szabványok és üzemviteli előírások határozzák meg, hogy a gépek és a készülékek kapcsai pl. fentről lefelé, az óramutató járásával megegyezően vagy ellenkezően stb. miként helyezkedjenek el. E meghatározás alapján beszélhetünk a gép- és transzformátorkapcsok, vezetékek és gyűjtősínek fázissorrendjéről. Az esetek többségében a fázissorrend szigorúan megszabott.

1. táblázat. Csupasz sínek jelzőfestése  
(MSZ-09, 0238 szerint)

A tápháló- zat rendszere	A vezető megnevezése (jelölése)	Jelző- szín	Megjegyzés
Háromfázisú	fázisvezető <i>R</i> <i>S</i> <i>T</i>	zöld sárga piros	Az <i>R</i> , <i>S</i> és <i>T</i> fázisokat ebben a sorrendben a szabványos motor <i>U</i> , <i>V</i> és <i>W</i> kapcsaira kötve, a motor forgásiránya a hajtásoldal felől nézve az óramutató járásával megegyező irányú
Egyfázisú	<i>R</i> <i>S</i>	zöld sárga	Nem vonatkozik ez a háromfázisú rendszerről leágazó egyfázisú vezetőkre, ezek megtartják a háromfázisú rendszerben kapott színüket
Bármely rendszerben	közvetlenül földelt nullavezető, ill. középvezető	fekete	
	közvetlenül <i>nem</i> földelt nullavezető, ill. középvezető	barna	
	földelővezető, érintésvédelmi védővezető	fekete	Megengedett a hosszanti sárga csíkkal ellátott zöld – és olyan helyen, ahol csak egyetlen csupasz vezető van – a piros festés is

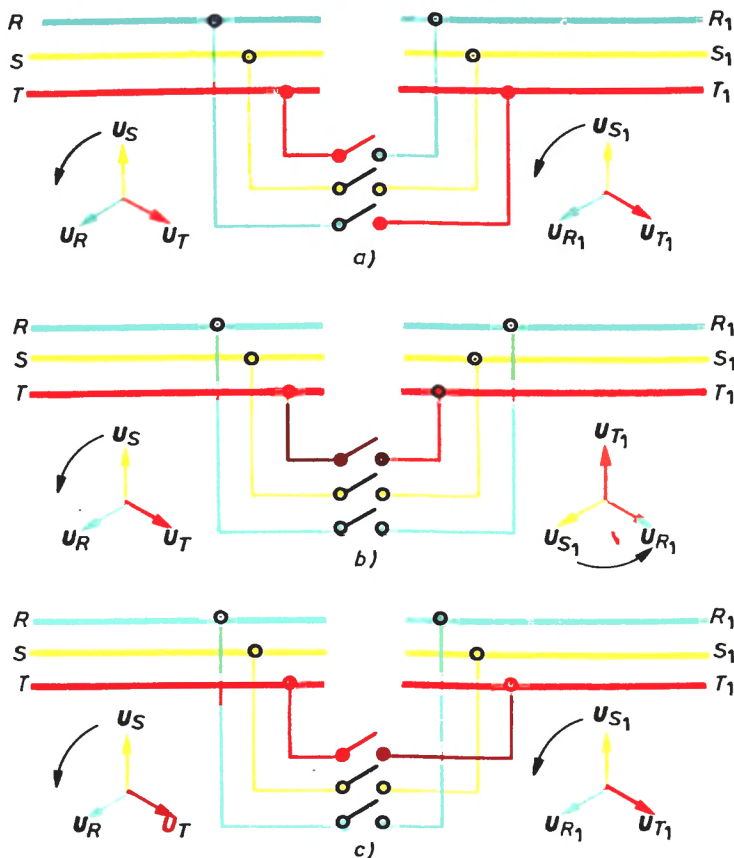
Így pl. függőleges és vízszintes síkban szerelt vezetékeket (csupasz síneket) úgy kell elrendezni, hogy a kezelőoldalról nézve lehetőleg balról jobbra vagy felülről lefelé haladva, ill. a szemléltől távolodó sorrendben következzenek egymás után, éspedig:



- háromfázisú rendszerben az  $R$ , az  $S$ , a  $T$  és az  $N$  vezető, tehát a zöld, a sárga, a piros és a barna színezésű pólusok;
- egyfázisú rendszerben az  $R$ , a középvezető és az  $S$ , tehát a zöld, a barna és a sárga színezésű pólusok

Fázisazonosításon az összekapcsolandó hálózatrészek fázissorrendjének (és a szükséges esetekben fázishelyzetének) ellenőrzését értik.

Háromfázisú áramkörök fázisazonosításakor számítani kell arra, hogy a kapcsolókészülékek (szín vagy betű) jele fel van cserélve.



9. ábra. A berendezés két részén előforduló fáziseltérés változatai

Előfordulhat az is, hogy bár a fázissorrend helyes, a feszültségek fázishelyzete (pl. transzformátorok párhuzamos kapcsolásakor) különböző. A további okfejtés egyszerűsítése érdekében tételezzük fel először, hogy két háromfázisú áramkör feszültségeinek azonos a fázissorrendje (9a ábra), de a kapcsolókészülék kapcsain a fázisokat felcserélték. Az sem lehetetlen, hogy a készülék kapcsainak fázissorrendje és az összekapcsolásra kerülő hálózatok fázissorrendje azonos (9b ábra), de különböző a párhuzamosan kapcsolandó transzformátorok fázishelyzete. Az egynemű feszültségvektorok fázisforgatási szöge nemcsak  $120^\circ$  lehet, mint ez a 9b ábrán látható, hanem a  $30^\circ$ -os szög bármely többszöröse, ami a különböző kapcsolási csoportú transzformátoroknál fordul elő. A kapcsoló bekapcsolása mindkét bemutatott esetben rövidzárlatot idéz elő.

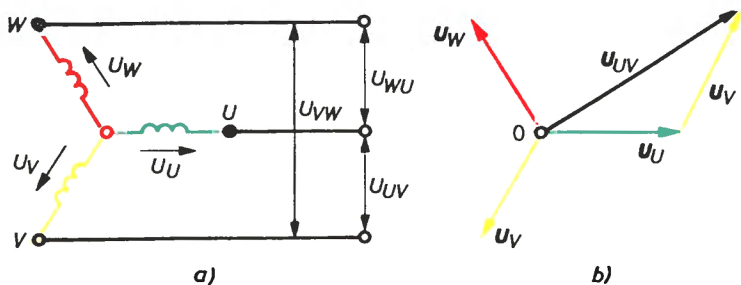
A berendezés összekapcsolt részei között a rövidzárlat akkor kizárt, ha a fázissorrend és adott esetben a fázishelyzet azonos (9c ábra).

## 2. A HÁROMFÁZISÚ RENDSZER CSILLAG- ÉS HÁROMSZÖGKAPCSOLÁSA

### Az alapkapcsolások jellemzői

A villamos gépek (generátorok, szinkron kompenzátorok, motorok) és transzformátorok tekercseit csillagba vagy háromszögbe kapcsolják.

A generátor három tekercsének csillagkapcsolásakor azok végeit egy pontba, az ún. nullapontba vagy csillagpontba kapcsolják (10a ábra). A tekercsek kezdetei és a nullapont közötti feszültségeket fázisfeszültségeknek nevezik és  $U_U$ ,  $U_V$ ,  $U_W$  betűkkel jelölik. A fázisok közötti feszültséget vonalfeszültségnek nevezik. Ezeket úgy kapják, mint a generátor megfelelő fázisfeszültség-vektorainak különbségét, például  $U_U - U_W = U_{UW}$  (10b ábra). A vonalfeszültségek jelölésében az indexelési sorrend nem tetszőleges, hanem azt a vektorkivonás sorrendjében kell megállapítani:  $U_U - U_W = U_{UW}$ ;  $U_W - U_U = U_{WU}$ .



10. ábra. Generátortekercsek csillagkapcsolása (a) és a feszültségek (b)

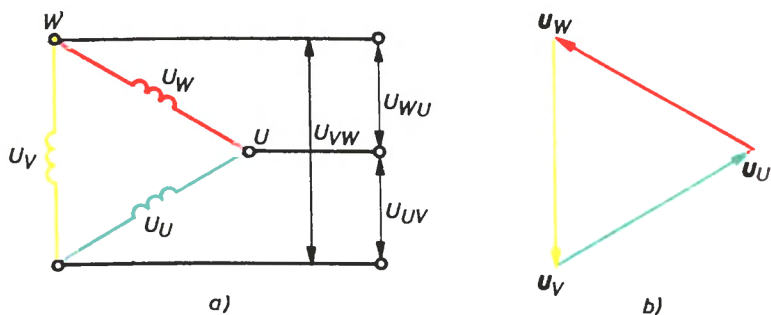
A vektorok megadott forgási irányának figyelembevételével az indexeket úgy állapítják meg, hogy a késő fázisfeszültség vektorát kivonják a siető feszültség vektorából. Ennek eredményeként a vonalfeszültség-vektorok mindig  $30^\circ$ -kal előzik meg a kivonandó fázisvektort. A vonalfeszültség értéke ezért  $\sqrt{3}$ -szor (1,73-szor) nagyobb a fázisfeszültségnél.

A generátortekercsek háromszöghkapcsolását a 11a ábra szemlélteti.

Az egyes fázistekercspárok esetében az  $U$ ,  $V$ , ill.  $W$  pontok közösek. Ha a generátorkapcsok terheetlenek, akkor a zárt kört alkotó tekercsekben nem folyik áram, ugyanis minden időpillanatban a feszültségek mértani összege nulla (11b ábra).

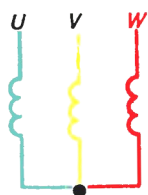
A 11. ábrából következik, hogy háromszöghkapcsoláskor a fázisfeszültség egyenlő a vonalfeszültséggel. Megjegyezzük, hogy a generátortekercsokat rendszerint csillagba kapcsolják. A háromszöghkapcsolás meglehetősen ritka és csak egy-egy turbógenerátortípusnál (pl. TBSZ-30) található meg.

A csillagba kapcsolt fogyasztók terhelése lehet szimmetrikus (12a, b, c ábrák), pl. háromfázisú motor, kondenzátor, színházi csillár stb. és aszimmetrikus (12d, e ábrák), amilyen pl. az épületek villamos terhelése vagy a közvilágítás stb.

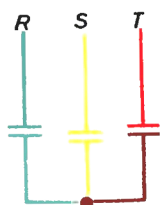


11. ábra. Generátortekercsek háromszöghkapcsolása (a) és a feszültségek (b)

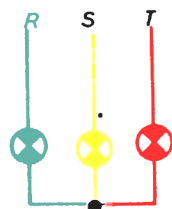
12. ábra. Villamos fogyasztók csillagkapcsolása  
1 házi csatlakozószekrény; 2 fővezeték; 3 fogyasztó



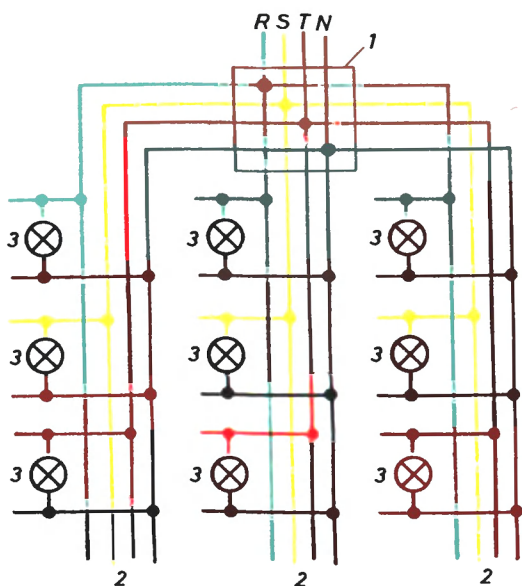
a)



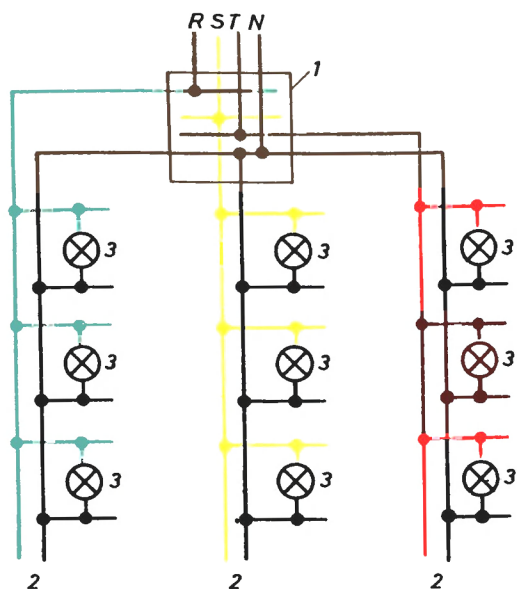
b)



c)



d)



e)

A két rendszer közötti különbség jobb megértése érdekében vizsgáljuk meg a 13. ábrát. A 13a ábrán (azonos névleges feszültségű, példánkban 220 V és azonos teljesítményű) izzólámpák három csoportja látható. Ilyen feltételek és 380 V vonalfeszültség mellett az izzók teljes fénnel világítanak. Fogyasztói hálózatokban az egyidejűleg bekapcsolt izzók mennyisége, valamint azok teljesítménye a fogyasztók igényeitől függ. Szélsőséges esetben ezért előfordulhat, hogy a fázisok egyikének terhelése, pl. a  $T$  fázis terhelése nulla (13b ábra). Ilyenkor ebben a kapcsolásban a másik két fázis terhelése sorbakapcsolttá válik. Ha a terhelések azonosak, akkor a vonali feszültség 50–50% arányban oszlik meg közöttük és az izzók csökkentett fénnel fognak világítani, ugyanis az üzemi feszültség csak  $380\text{ V} : 2 = 190\text{ V}$  lesz.

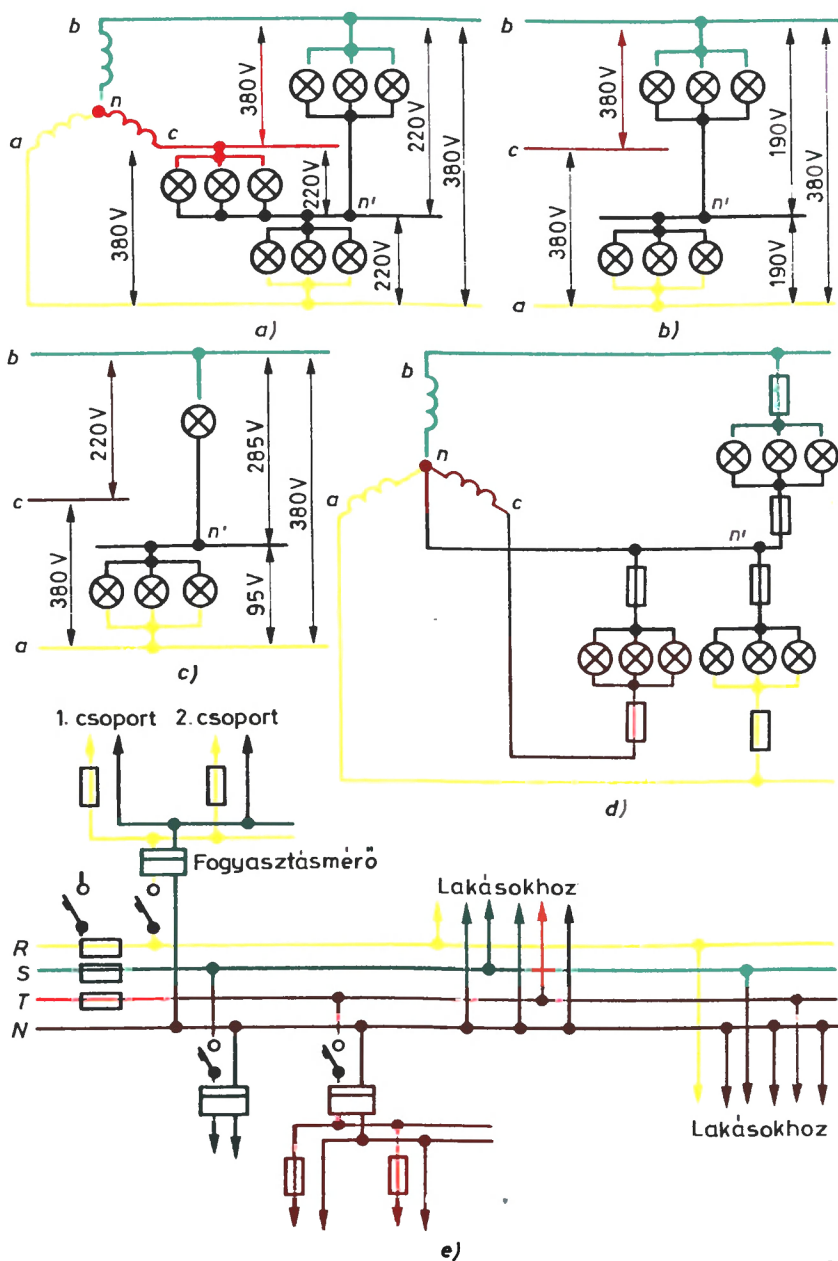
Roszbabb a helyzet, ha az egyik fázisra, pl. a  $B$  fázisra kapcsolt izzók egy részét kikapcsolják, pl. úgy, ahogyan a 13c ábrán látható, ugyanis egy izzó rezisztenciája háromszor nagyobb, mint három ilyen izzóból párhuzamosan összekapcsolt csoporté. A 380 V feszültség egyenlőtlenül oszlik meg közöttük: a nagyobb rezisztenciájú izzóra 285 V (a 380 V  $3/4$  része, ezért a lámpa kiéghet); a kisebb rezisztenciájúra 95 V (a 380 V  $1/4$  része) jut.

*Megjegyzés:* Szigorúan véve a feszültség másképpen oszlik meg. A problémát az okozza, hogy a forróbb izzószálnak nagyobb az ellenállása és mivel az egyik túlhevítve izzik, a többi három csökkentve, ezért a rezisztenciák közötti különbség még jelentősebb.

Négyvezetős rendszerben (13d ábra) a fázisok egyenlőtlen terhelése nem ilyen jelentős, mivel az egyes fázisok terhelései közvetlenül a generátor fázistekercsének vagy a transzformátor szekunder tekercsének mindkét kivezetéséhez (azaz a közös nullaponthoz is!) csatlakoznak.

Ennek ellenére a fázisok egyenlőtlen terhelése még négyvezetős rendszerben sem kívánatos, különösen akkor, ha a transzformátor szekunder tekercse csillagkapcsolású, mert ekkor a transzformátorban megbomlik a mágneses egyensúly.

13. ábra. Világítási terhelés csillagkapcsolásának sajátosságai



A gyakorlatban mindig a fázisok egyenletes terhelésére kell törekedni. Izzólámpás világítás esetén ehhez elegendő az izzók fázisonkénti egyenletes elosztása. Fénycsöves világítás esetén az egymás mellett levő fénycsöveket különböző fázisokra kell kapcsolni.

Ennek egyébként más oka is van. Ismeretes ugyanis, hogy az általánosan használatos 50 Hz frekvenciájú váltakozóáramon másodpercenként a fénycsövek 100-szor villannak fel. S bár az ilyen gyakoriságú fénylűktetést az emberi szem nem érzékeli, a látást, ill. a tárgyak pontos érzékelését ez károsan befolyásolja. Ha az egymás mellett elhelyezett lámpákat különböző fázisokra kapcsolják, a fénycsövek felvillanásai időben eltolódnak, ezáltal kiegyenlítődnek. A fényáram változása különösen mozgó tárgyak esetén veszélyes, mert eltorzíttja valódi helyzetüket, sőt kedvezőtlen esetben egy mozgó tárgy a szemlélő számára mozdulatlanak vagy ellenkező irányú és lassú mozgást végző berendezésnek tűnik. Ez pedig balesetveszélyt idézhet elő.

Sok problémát és veszélyt lehet elkerülni azzal is, ha betartjuk az MSZ 1600 azon előírását, amely szerint a nullavezetőbe sem olvadóbiztosítót, sem kismegszakítót (tehát túláramvédelmi készüléket) nem szabad tenni. Ennek az a magyarázata (erre utal a 13d és e ábra is), hogy a túláramvédelem működésekor a négyvezetős rendszer háromvezetősé válik, annak minden hátrányával együtt.

## A teljesítmény meghatározása

A váltakozóáramú hálózatokban megkülönböztetnek:

- látszólagos teljesítményt:  $S = UI$ , VA;
- hatásos (effektív) teljesítményt:  $P = UI \cos \varphi$ , W;
- meddő teljesítményt:  $Q = UI \sin \varphi$ , var;

ahol  $U$  a villamos fogyasztók kapocsfeszültsége,  $V$ ;  $\varphi$  a fázisszög.

A generátorok teljesítményének meghatározásakor a képletben a belső feszültségek szerepelnek, a villamos fogyasztók teljesítményének meghatározásakor a kapocsfeszültségek. A villamos fogyasztók teljesítményének meghatározásakor figyelembe kell venni a hatásfokot is, ugyanis a villamos motorok gyári adattábláján a tengelyen mérhető (leadott) teljesítményt tüntetik fel.

Amennyiben a fázisteljesítmények  $S_R(P_R, Q_R)$ ;  $S_S(P_S, Q_S)$ ;  $S_T(P_T, Q_T)$  azonosak és értelemszerűen egyenlők  $S_i$ ,  $P_i$  és  $Q_i$  értékek-



kel, akkor a háromfázisú rendszer teljesítménye a fázisértékeken keresztül kifejezve egyenlő a három fázis teljesítményének összegével:

- a látszólagos teljesítmény:  $S = 3S_f$ ;
- a hatásos (effektív) teljesítmény:  $P = 3P_f$ ;
- a meddő teljesítmény:  $Q = 3Q_f$ .

*Teljesítmény csillagkapcsolás esetén.* Csillagkapcsoláskor a vonaláramok ( $I_v$ ) és a fázisáramok ( $I_f$ ) egyenlők, a fázis- és vonalfeszültségek között pedig fennáll az  $U_v = \sqrt{3}U_f$  viszony, ahonnan  $U_f = \frac{U_v}{\sqrt{3}}$ .

Összevetve ezeket a képleteket, látható, hogy a vonali értékekkel kifejezett teljesítmények csillagkapcsolás esetén a következők:

- látszólagos teljesítmény:  $S = 3S_f = 3 \frac{U}{\sqrt{3}} I = \sqrt{3}UI$ ;
- hatásos teljesítmény:  $P = \sqrt{3}UI \cos \varphi$ ;
- meddő teljesítmény:  $Q = \sqrt{3}UI \sin \varphi$ .

*Teljesítmény háromszöghkapcsolás esetén.* Háromszöghkapcsolás esetén a vonalfeszültségek ( $U_v$ ) és a fázisfeszültségek ( $U_f$ ) egyenlők, a fázis- és vonaláramok között pedig fennáll az  $I_v = \sqrt{3}I_f$  összefüggés, ahonnan  $I_f = \frac{I_v}{\sqrt{3}}$ ; ezért a vonali értékekkel kifejezett teljesítmények háromszöghkapcsolás esetén a következők:

- látszólagos teljesítmény:  $S = 3S_f = 3U_f \frac{I}{\sqrt{3}} = \sqrt{3}UI$ ;
- hatásos teljesítmény:  $P = \sqrt{3}UI \cos \varphi$ ;
- meddő teljesítmény:  $Q = \sqrt{3}UI \sin \varphi$ .

A csillag- és háromszöghkapcsolásokra vonatkozó teljesítményképletek azonos alakja néha félreértésekre ad okot és a tapasztalatlanság olyan helytelen következtetéshez vezethet, hogy pl. a két kapcsolási mód között nincs különbség. Tekintsünk erre egy példát.

Egy villamos motort háromszögbe kapcsoltak, amely a 380 V feszültségű hálózatról 10 A áramerősséget vett fel. A látszólagos teljesítmény értéke:

$$S = 1,73 \cdot 380 \cdot 10 = 6574 \text{ VA.}$$

Ezt követően a motort átkapcsolták csillagba. A fázistekercsekre 1,73-szor kisebb feszültség jutott, bár a hálózati feszültség változatlan maradt. A csökkent feszültség következtében a tekercsekben az áramerősség 1,73-ad részére csökkent. Így tehát a vonaláram értéke

csillagkapcsolás esetén az előző értéknek az egyharmadára csökkent. (A csökkenés  $1,73 \cdot 1,73 = 3$ -szoros!)

A teljesítményt azonos összefüggésből kell kiszámítani, azonban a megváltozott áramértéket kell behelyettesíteni, s ekkor a látszólagos teljesítmény:

$$S_v = 1,73 \cdot 380 \frac{10}{3} = 2191 \text{ VA.}$$

Látható, hogy a villamos motorok háromszögből csillagba történő átkapcsolása esetén a motor által leadott teljesítmény egyharmadára csökken.

Generátortekercsek vagy transzformátorok szekunder tekercseinek csillagból háromszögbe való átkapcsolásakor a hálózati feszültség 1,73-ára csökken, pl. 380 V-ról 220 V-ra. A generátor vagy transzformátor teljesítménye ugyanaz marad, mivel minden fázistekercs feszültsége és minden fázistekercsben az áram azonos marad, annak ellenére, hogy a fázisvezetőkben az áramerősség 1,73-szor nagyobb.

Generátortekercsek vagy transzformátorok szekunder tekercseinek háromszögből csillagba történő átkapcsolásakor fordított jelenség zajlik le, azaz a hálózatban a vonalfeszültség 1,73-szor nagyobb lesz, pl. 220 V-ról 380 V-ra növekszik, a fázistekercsekben az áramerősségek ugyanazok maradnak, míg a vonalvezetőkben 1,73-ára csökkennek.

Ha a generátorok és a transzformátorok szekunder tekercseinek mind a hat végét kivezetik, akkor két, egymástól 1,73-dal eltérő feszültségű hálózat alakítható ki.

A  $\cos \varphi$  javítására beiktatott kondenzátortelepek kondenzátorainak névleges feszültsége utal arra a hálózati feszültségre, amelyre a kondenzátor rákapcsolható. Ha pl. a hálózati feszültség 380 V, a kondenzátorok névleges feszültsége pedig 220 V, a kondenzátorokat csillagba kell kapcsolni. Ha a hálózati feszültség és a kondenzátorok névleges feszültsége azonos, akkor a kondenzátorokat háromszögbe kapcsolják.

Az előzőekben leírtak szerint a villamos motorok háromszögből csillagba való átkapcsolásakor, a motor teljesítménye egyharmadára csökken. Ez fordítva is igaz! Ha a villamos motort csillagból háromszögbe kapcsoljuk át, teljesítménye megnő, s amennyiben a villamos motor az adott feszültségen és kapcsolásban való üzemeltetésre nem alkalmas, akkor leég.

## A csillag–háromszög átkapcsolás alkalmazásai

Rövidre zárt forgórészű motor *indítási áramának csökkentésére* gyakran alkalmazzák a csillag–háromszög kapcsolást, mivel az ilyen gépek indítóárama általában 5...7-szerese a motor üzemi áramfelvételének. A viszonylag nagy teljesítményű motoroknál a nagy indítóáram a hálózati feszültség jelentős letöréséhez vezethet. Ennek legkedvezőtlenebb hatása abban mutatkozik meg, hogy jelentősen csökken a motorok forgatónyomatéka, amely a feszültség négyzetével arányos. Pl. ha a feszültség 20%-kal csökken, a forgatónyomaték nem 20%-kal, hanem 36%-kal ( $1^2 - 0,8^2 = 0,36$ ) lesz kisebb. Ez a csökkenés előidézheti a kontaktorok és mágneskapcsolók lekapcsolását.

Az indítóáramot többféleképpen igyekeznek csökkenteni. Valamennyi módszer végeredményben az állórész indítás alatti feszültségének csökkentésére irányul. Ennek érdekében az állórész áramkörébe az indítás idejére ellenállást, fojtótekercset, autotranszformátort kapcsolnak, vagy a tekercseket csillagból háromszögbe kapcsolják.

Csillagból háromszögbe történő átkapcsolás csak könnyű indítású villamos motoroknál megengedett, ugyanis a csillagkapcsoláskor elérhető indítónyomaték csak egyharmada a közvetlen indításkor fellépő nyomatéknak. Az indítóáram csökkentésének ez a módja tehát nem mindig alkalmazható, és ha csökkenteni kell az indítóáramot és egyidejűleg nagy indító nyomatékot kell kifejteni, akkor másfajta, pl. csúszógyűrűs forgórészű motort alkalmaznak.

Csillagból háromszögbe kapcsolni csak azokat a motorokat lehet, amelyek háromszögkapcsolású üzemmódra készültek (pl. 380 V  $\Delta$ ), azaz tekercseiket az adott hálózat vonali feszültségére méretezték.

Ismeretes, hogy a névlegesnél tartósan kisebb terheléssel üzemelő villamos motorok teljesítménytényezője ( $\cos \varphi$ ) igen alacsony, ezért ajánlatos az ilyen motorokat kisebb teljesítményűre kicserélni. Ha cserére nincs mód, a teljesítménytartalék pedig nagy, akkor jobb  $\cos \varphi$  érhető el háromszögből csillagba történő átkapcsolással. Ilyenkor meg kell mérni az állórész áramát, és meg kell győződni, hogy csillagkapcsolás esetén – terhelt állapotban – az állórész árama nem lépi-e túl a névleges áramerősséget. Ha túllépés tapasztalható, és emiatt a motor jelentősen melegedne, akkor ezt a módszert természetesen nem választhatjuk.

### 3. A TRANSZFORMÁTORTEKERECSEK KAPCSOLÁSA

A generátortól a fogyasztóhoz vezető úton a villamos energiát általában többször transzformálják. A generátorfeszültséget az erőműben feltranszformálják, hogy az energia nagy távolságra gazdaságosan továbbítható legyen (pl. 400 kV) és az elosztóállomásban a feszültséget pl. 20 vagy 10 kV-ra letranszformálják és az energiát ilyen feszültség-szintű szabadvezeték- vagy kábelhálózaton osztják szét.

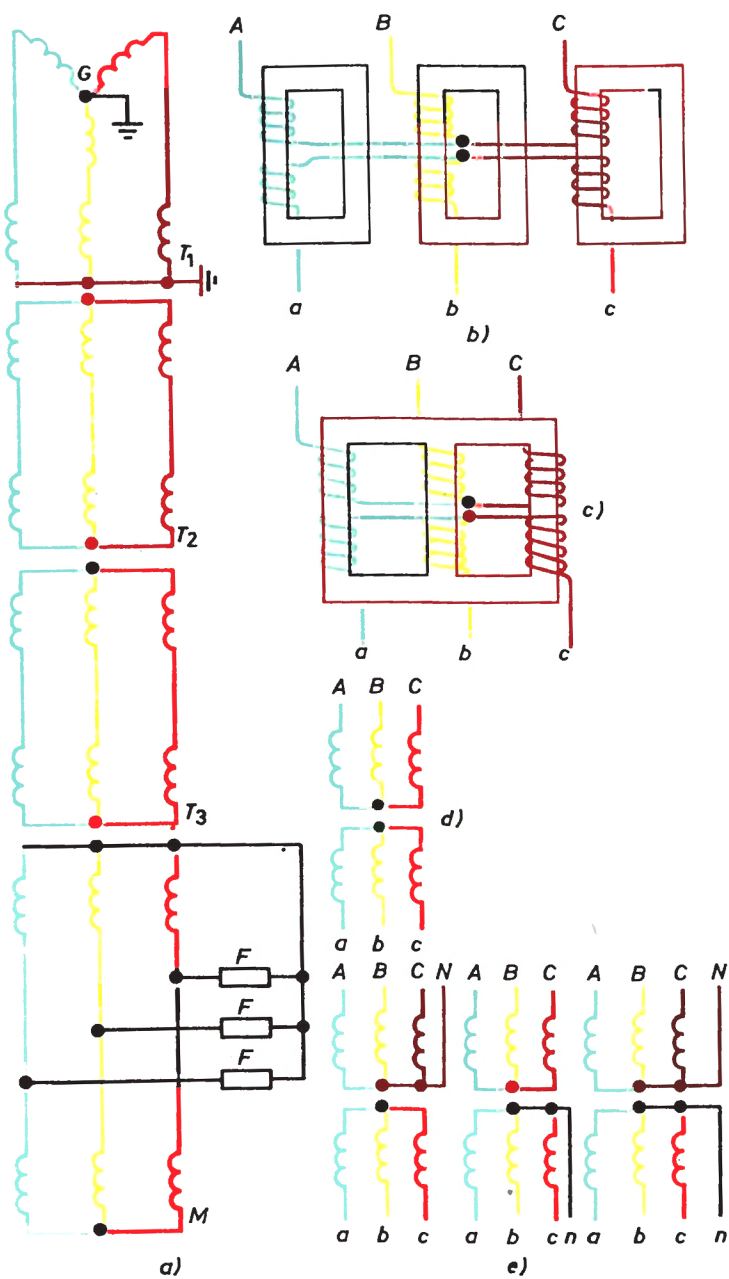
A fogyasztók közelében az ún. fogyasztói transzformátorállomásokban a feszültséget 20 vagy 10 kV-ról még egyszer transzformálják, pl. 400/231 V-ra (14a ábra).

A transzformátorok sajátossága, hogy primer és szekunder tekercseik villamosan el vannak szigetelve egymástól és csak mágneses kapcsolat van közöttük. A primer és szekunder tekercsek közötti energiatovábbító a mágneses fluxus, következésképpen annak nagysága, alakja és fázisa határozza meg a transzformátorban a szekunder tekercs feszültségének nagyságát, szinuszos vagy nem szinuszos a alakját és fázisát. Más szóval a mágneses fluxusnak olyannak kell lennie, hogy a három fázis szekunder tekercseiben a feszültségek egyenlők legyenek, és egymáshoz képest  $1/3$  periódusnyira legyenek eltolva.

Elsődlegesen a transzformátor tekercseinek kapcsolásától függ az igény teljesítése, kiegészítve azzal, hogy emellett a veszteséget és az üresjárási áramot a vasmag szerkezeti felépítése is befolyásolja.

A feszültségek egyenlősége azért szükséges, hogy a különböző fázisokra kapcsolt azonos teljesítményű lámpák azonosan világítsa-

14. ábra. Transzformátorok csillagkapcsolása



nak, vagy a háromfázisú motor minden tekercse részt vegyen a forgatónyomaték képzésében.

Az  $1/3$  periódusnyi kölcsönös eltolódás fontos pl. az egyenletesen forgó mágneses mező létrehozásához a háromfázisú motorokban, és a háromfázisú transzformátorokban a mágneses egyensúly biztosítására.

## Transzformátortekercsek csillagkapcsolása

A 14a ábrán példák láthatók generátor ( $G$ ), három transzformátor ( $T1, T2, T3$ ), villamos motor ( $M$ ) és egyfázisú fogyasztó ( $F$ ) kapcsolására. Az adott példában a generátor, a transzformátorok és a villamos motor tekercseit csillagba kapcsolták. Nem nehéz észrevenni, hogy a  $T1$  transzformátor primer tekercse fogyasztó a generátor ( $G$ ) számára, szekunder tekercse pedig áramforrás a  $T2$  transzformátor primer tekercse számára. Ennek szekunder tekercse áramforrás a  $T3$  transzformátor primer tekercse számára, ugyanakkor a  $T3$  transzformátor szekunder tekercséről kapja a táplálást a villamos motor ( $M$ ) és a terhelés ( $T$ ).

A  $T1, T2$  és  $T3$  transzformátorok kapcsolási vázolatainak összehasonlításából látható, hogy azok nem egyformák. Így a  $T1$  transzformátor primer tekercsének csillagpontja le van földelve és következésképpen kapcsolatban van a  $G$  generátor földelt csillagpontjával. A  $T2$  transzformátor tekercseinek csillagpontjai nincsenek kivezetve. A  $T3$  transzformátornál a szekunder tekercs csillagpontját kivezették ugyan, de a földtől elszigetelték. Természetesen a 14a ábrán bemutatott kapcsolások egyáltalán nem kötelezők, és csak tipikus csillagkapcsolási eseteket illusztrálnak.

A 14b és c ábrák értelemszerűen azt mutatják, hogyan kapcsolható csillagba három, egyfázisú transzformátor.

A 14d ábrán példákat adunk a transzformátortekercsek különböző csillagkapcsolására. Itt szólnunk a transzformátorok kapcsolásainak jelöléséről is. A háromfázisú transzformátor nagyobb feszültségű tekercselésének vonali kapcsait  $A, B$ , ill.  $C$  betűkkel, esetleges nullakapcsát  $N$  betűvel kell jelölni.

A háromfázisú transzformátor közbenső feszültségű és kisebb feszültségű tekercselésének vonali kapcsait  $a, b$ , ill.  $c$  betűkkel, esetleges nullakapcsát  $n$  betűvel kell jelölni.

Háromfázisú transzformátor nyitott nagyobb, ill. közbenső és kisebb feszültségű tekercseléséhez tartozó fázistekercsek vonali kapcsait az előzőknek megfelelően  $A, B, C$ , ill.  $a, b, c$  betűkkel, a másik végüket  $X, Y, Z$ , ill.  $x, y, z$  betűkkel kell jelölni.

## A csillagpontföldelés kérdései

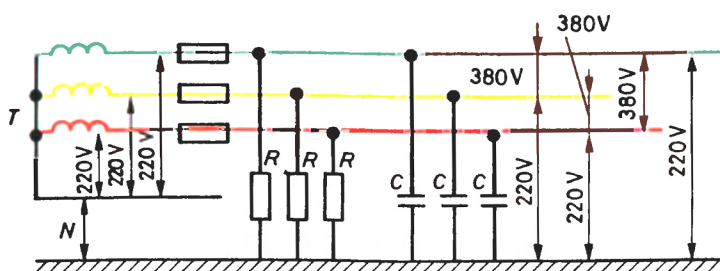
Hazánkban a 20 kV-os szabadvezetékes hálózatok csillagpontja ívöltő tekercsen keresztül földelt; a 10 kV-os kábelhálózatok csillagpontja a tápponti transzformátorállomásban ellenálláson keresztül van földelve. A közcélú kisfeszültségű hálózat közvetlenül földelt.

Röviden vizsgáljuk meg, hogy az 1000 V alatti hálózatokban miért földelik le a nullavezetőt, és néha pedig milyen megfontolásokból részesítik előnyben a szigetelt nullavezetőket, és mire szolgálnak a földzárlati áramnövelő ellenállások.

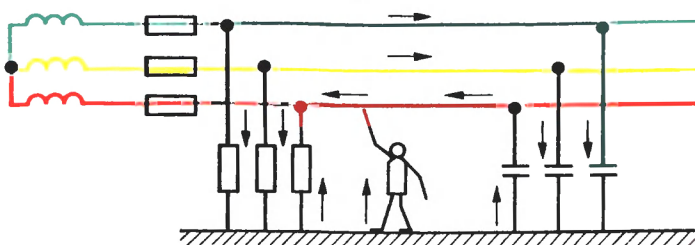
A 15a ábra  $T_r$  transzformátor szekunder tekercseit mutatja. Ezek 380/220 V-os négyvezetős hálózatot táplálnak, nullavezetőjük szigetelt. Tegyük fel, hogy a vizsgált pillanatban a szigetelés teljesen ép. Ennek ellenére az ábrán három, csillagba kapcsolt  $R$  ellenállás látható. Ezek nullavezetője a föld. Az ellenállások a vezetők szigetelését ábrázolják. A szigeteléseken keresztül azonban bizonyos értékű áram folyik. Ugyancsak ezen az ábrán látható három, csillagba kapcsolt  $C$  kondenzátor. Ezek nullavezetője is a föld. A kondenzátorok feltételesen a vezetők földhöz viszonyított villamos kapacitását ábrázolják, ami a váltakozóáramú villamos berendezésekben nagyon fontos szerepet játszik, mivel a kondenzátor vezeti a váltakozóáramot.

Milyen feszültségek vannak a vizsgált villamos berendezésben? A fázisvezetők között 380 V, a fázisvezetők és a transzformátor nullavezetője között 220 V, valamennyi fázisvezető és a föld között 220 V van, hiszen a föld lett a három, egyforma  $R$  ellenállásból, ill. három egyforma  $C$  kondenzátorból kialakított csillagkapcsolás nullavezetője. S ha a fázisvezető és a transzformátor nullavezetője között ugyanakkora feszültség lép fel, mint a földhöz képest, akkor világos, hogy a transzformátor nullavezetője és a föld közötti feszültség nullával egyenlő.

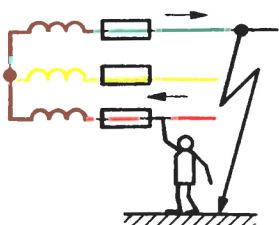
Ez a megállapításunk azonban elvi jelentőségű. Ugyanis a transzformátor szigetelt nullavezetője és a föld közötti feszültség csak azokban az esetekben egyenlő nullával, amikor a hálózat terheletlen,



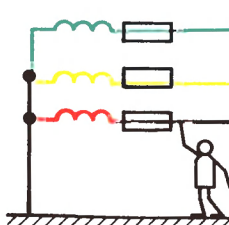
a)



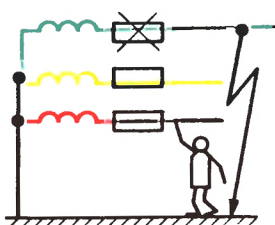
b)



c)



d)



e)

15. ábra. A csillagpont potenciálja.

Háromfázisú rendszerek csillagpontjának földelése

vagy valamennyi fázis terhelése teljesen azonos. Egyenlőtlen fázisterhelés esetén csillagpont-eltolódás figyelhető meg. Részletesebben erre a fontos kérdésre ugyanebben a fejezetben még visszatérünk.

Ha a földön álló ember érintkezésbe kerül a fázisvezetők valamelyikével, ez veszélyes számára, mert nem tökéletes szigetelésen, a vezeték kapacitásán, és az emberi testen is áthaladhat az áram. Az áthaladó áram irányát egy bizonyos időpillanatban a 15b ábra szemlél-



teti. Az áramerősséget, ill. az annak következtében előálló veszély mértékét, az ellenállások, kondenzátorok és fázisfeszültségek értékei határozzák meg. Adott esetben azzal kell számolni, hogy a vezetéket megérintő személy 220 V feszültségen van.

Mi történik viszont egysarkú földzárlat esetén, ha a földön álló ember hozzáér a másik fázisvezetőhöz? A 15c ábrából világosan látható, hogy nem a fázis-, hanem a 380 V-os vonali feszültséget hidalja át, ami jóval veszélyesebb.

Földelt nullavezetőjű hálózatokban a földön álló és a fázisvezetőt megérintő ember fázisfeszültség alá kerül (15d ábra). Egysarkú földzárlat esetén (15e ábra) a biztosító kiolvad, de a feszültségnövekedés a fázisfeszültségről a vonali feszültségre nem következik be.

Ez azt jelenti, hogy a leggyakrabban előforduló 380/220 V-os földelt nullavezetőjű hálózatokban a csupasz vezetőt érintő ember legfeljebb 220 V feszültség alá kerülhet.

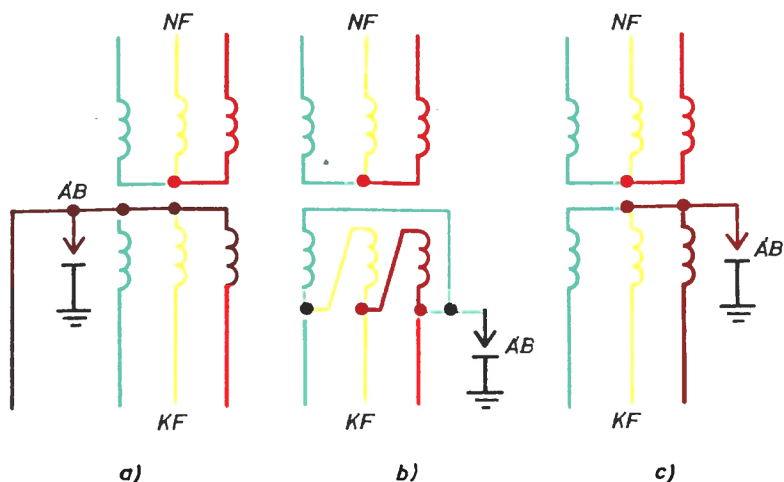
A transzformátor kis- (KF) és nagyfeszültségű (NF) tekercsei közötti szigetelés megsérülése a kisfeszültségű hálózatban tömeges szigetelésátütéshez és áramütéses balesetekhez vezethet. E veszélyes jelenségek elhárítása érdekében a szigetelt nullavezetőjű hálózatokban ÁB átütőbiztosítókat alkalmaznak. A biztosítót csillagkapcsolás esetén a transzformátor nullavezetője és a föld közé kapcsolják (16a és c ábrák), háromszögkapcsolás esetén az egyik fázisvezető és a föld közé kötik be, amint ezt a 16b ábra szemlélteti.

Az átütőbiztosítóban (ami földzárlati áramnövelő ellenállás szerepét is betölti) az egyik áramvezető elemet a transzformátor nullavezetőjéhez (fázisához) kötik, míg a másik elemet földelik. A két rész között átfúrt (lyukakat tartalmazó) csillámbetét helyezkedik el. Névleges feszültség esetén a betét biztonságosan szigeteli a nullavezetőt (fázist) a földtől. Azonban, ha a nagyobb feszültségű tekercsből a kisebb feszültségű tekercsre feszültségáthatalás következik be, az átütőbiztosító működik és leföldeli a tekercset.

Közvetlenül földelt csillagpont esetén nincs szükség ilyen megoldásra.

Az életbiztonsági feltételeken kívül van még egy fontos kérdés, nevezetesen a *fogyasztók zavartalan energiaellátása*, ennek megvalósítása szempontjából sem mindegy, hogy leföldeljük-e a csillagpontot vagy sem.

Szigetelt vagy földeletlen csillagpontú hálózatban egysarkú földzárlat esetén a biztosítók nem olvadnak ki (a kismegszakító nem old



16. ábra. Olvadóbiztosítók szigetelt csillagpontú hálózatokban

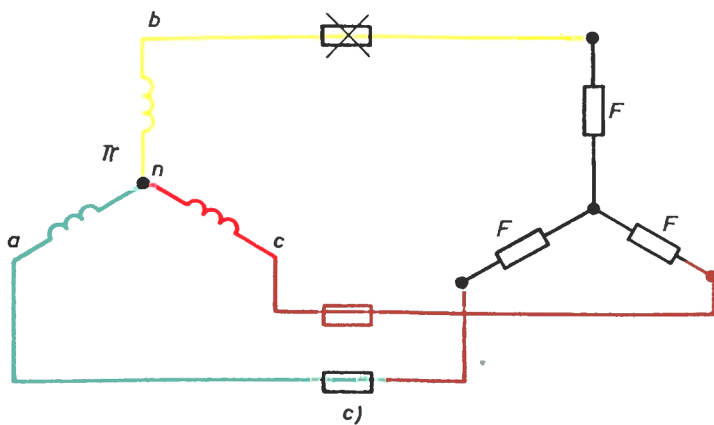
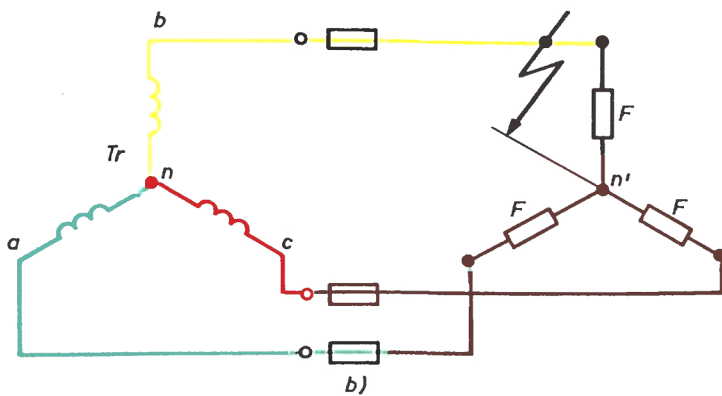
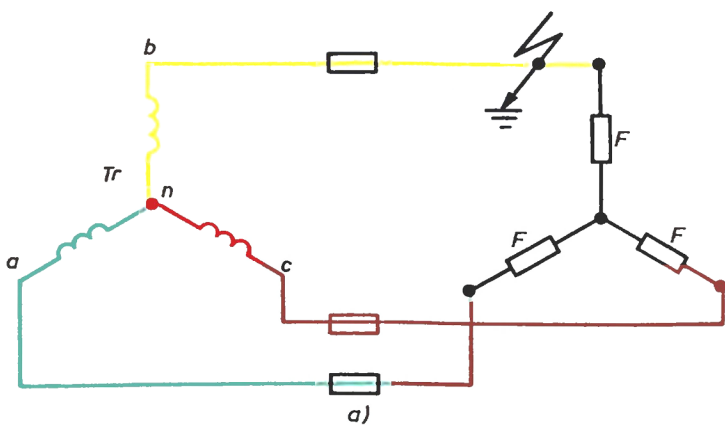
le), mivel nincs rövidzárlat. Elvileg tartósan, a gyakorlatban korlátozott ideig azonban a fogyasztók még üzemben maradhatnak.

Ezzel szemben a földelt csillagpontú hálózatban a fázisvezető szigetelésének megsérülése rövidzárlatot idéz elő, aminek következtében a biztosítók kiolvadnak, vagy a kismegszakító lekapcsol, a fogyasztók üzemében zavar keletkezik. Tehát a fogyasztói áramszolgáltatás biztonsága magasabb szintű a földetlen csillagpontú hálózatokban.

Ki kell emelnünk a következő legfontosabb körülményeket:

a) Bár a szigetelt (földetlen) csillagpontú hálózatokban lehetséges a fogyasztók további üze me, az ilyen üzemmód veszélyes a többi fázis és a csatlakozóberendezés szigetelésére. Ez abból adódik, hogy a fázisok egyikének fémes földzárata esetén a többi fázis feszültsége a „földhöz” viszonyítva megnövekszik a névleges feszültség 1,73-szorosára, a csillagpont feszültsége pedig eltolódik és egyenlővé válik a földhöz viszonyított fázisfeszültséggel. Egysarkú földzárlatkor (17a ábra) ugyanis az  $ab$ ,  $bc$ ,  $ca$  vonali feszültségek ugyanazok marad-

17. ábra. A csillagpont eltolódása szigetelt csillagpontú hálózatokban, rendellenes üzemállapotban



nak és nem változnak az  $an$ ,  $bn$ ,  $cn$  fázisfeszültségek sem. De a földhöz viszonyítva a feszültségek megváltoznak. Az  $a$  és  $c$  fázis az  $ab$  és  $bc$  értékéig növekszik. A  $b$  fázis a földhöz képest nullára csökken. A nullavezető feszültsége a földhöz képest 0-tól az  $nb$  értékéig növekszik, azaz a fázisfeszültséggel azonos értékű lesz.

Ha a zárlat íven keresztül (ívelő földzárlat formájában) következik be, akkor a hibátlan fázis feszültsége 2...3,5-szeresével meghaladhatja a fázisfeszültséget. A zárlat helyén áthalad valamennyi fázis kapacitív árama, amely kábelhálózatnál nagy értékű és emiatt veszélyes melegeledést idézhet elő a szigetelésben. Ezért a transzformátorállomásokon és elosztóállomásokon gyakran alkalmaznak olyan készülékeket, amelyek a szigetelés földhöz viszonyított értékét ellenőrzik.

b) Ha a fogyasztói csillagpont nincs összekapcsolva a transzformátor szekunder tekercsének csillagpontjával (17b ábra), akkor az egyik fázis rövidzárlata esetén a  $b$  fázisvezető potenciálja egybeesik a fogyasztó  $n'$  csillagpontjával. Ez azt jelenti, hogy az  $a$  és  $c$  fázisra kapcsolt fogyasztóra jóval nagyobb feszültség jut (vonali feszültség a fázisfeszültség helyett).

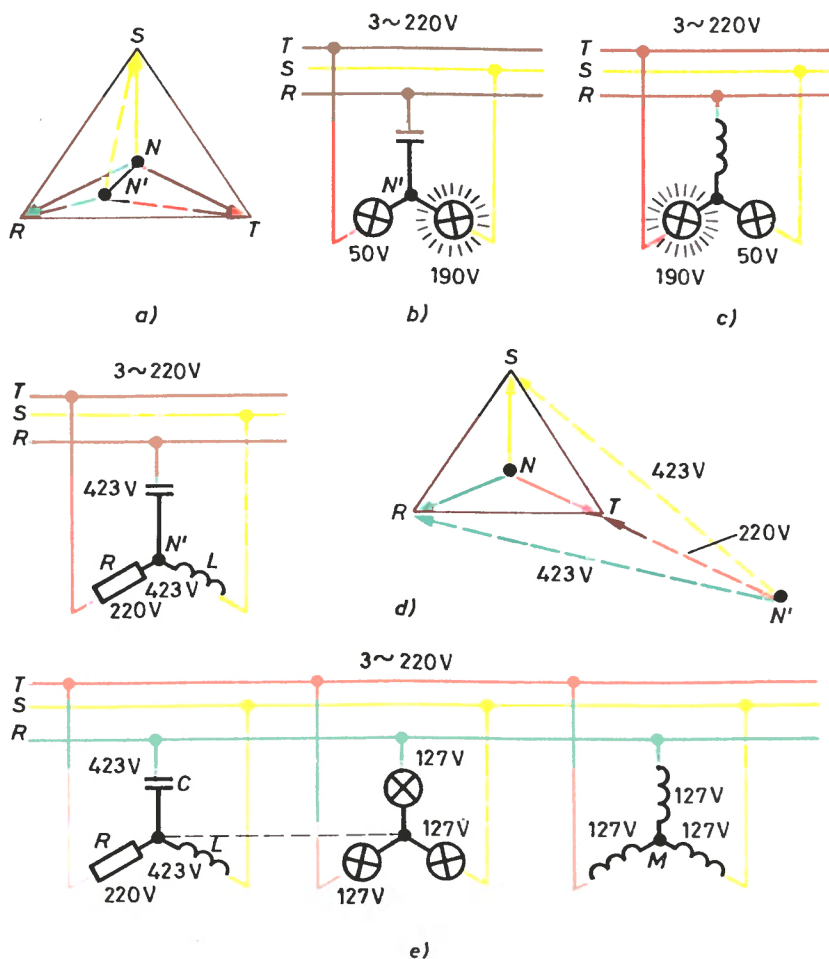
c) Ha a fogyasztói  $n'$  csillagpont nincs kapcsolatban a transzformátor szekunder tekercsének  $n$  csillagpontjával (17c ábra), és egy fázisban, például a  $b$ -ben kiolvad a biztosító (áthúzva), akkor az  $a$  és  $c$  fázisokon a feszültség csökken és  $380:2 = 190$  V lesz,  $380:\sqrt{3} = 220$  V helyett ( $380/220$  V-os hálózatot vizsgálva). A kiolvadott biztosító érintkezőin a feszültség 1,5-szer nagyobb a fázisfeszültségnél, azaz  $220 \times 1,5 = 330$  V.

## A csillagpont eltolódása

Az előző, 17. ábra a csillagpont eltolódásának mértékét illusztrálja a fáziszárlat, rövidzárlat, fázisszakadás esetén. A csillagpont viszont a szokványos üzemmódokban a fázisok egyenlőtlen terhelése miatt is eltolódhat.

Vizsgáljunk meg néhány példát!

Azonos jellegű – tehát valamennyi fázis terhelése vagy hatásos (lámpák, fűtőtestek), vagy induktív, vagy kapacitív – de nem egyenletes terhelés esetén a csillagpont az  $N$  pontból (18a ábra) az  $N'$  pontba tolódik el, az eltolódás iránya és annak értéke a fázisok terhelési viszonyaitól függ. Az  $N-N'$  szakasz meghatározott léptékben ábrázolja



18. ábra. Csillagponteltolás különböző terheléstípusok esetén

a transzformátor csillagpontja és a terhelési csillagpont közötti feszültséget. Ez a feszültség hozza létre az áramot a nullavezetőben, ha:

a) az  $F$  terhelés és a  $T3$  transzformátor szekunder tekercsének nullavezetői össze vannak kötve (14a ábra);

b) a  $T1$  feszültségnövelő transzformátor primer tekercsének és a  $G$  generátor csillagpontjai össze vannak kötve (14a ábra).

Ha a csillagpontok nincsenek összekötve, akkor a transzformátorban megbomlik a mágneses egyensúly.

Különösen jelentősen tolódik el a terhelés csillagpontja heterogén terhelés esetén, még akkor is, ha az egyes fázisok terhelése abszolút értékben megegyező. A 18b ábrán pl. a  $T$  és  $S$  fázisokra izzók vannak kapcsolva (hatásos terhelés), az  $R$  fázishoz pedig a  $C$  kondenzátor. A csillagpont ilyenkor annyira eltolódik, hogy az egyik izzó egészen halványan világít (50 V), a másik pedig egészen világosan (190 V). Hasonló a kép, ha a kondenzátort  $L$  induktív tekercssel váltjuk fel, de most a másik izzó fog fényesebben világítani (18c ábra). Ez azzal magyarázható, hogy az áram a kondenzátorban siet, az induktív tekercsben pedig késik a feszültséghez képest.

Még szembetűnőbb csillagpont-eltolódást mutat a 18d ábra, ahol az  $R$  fázisra kondenzátort, az  $S$  fázisra induktív tekercset, a  $T$  fázisra pedig hatásos terhelést kapcsolnak. A terhelés  $N'$  csillagpontja a háromszög körvonalát elhagyja, a feszültségek értéke az egyes terheléseken 423, ill. 220 V, azaz többszöröse a 127 V-os fázisfeszültségnek.

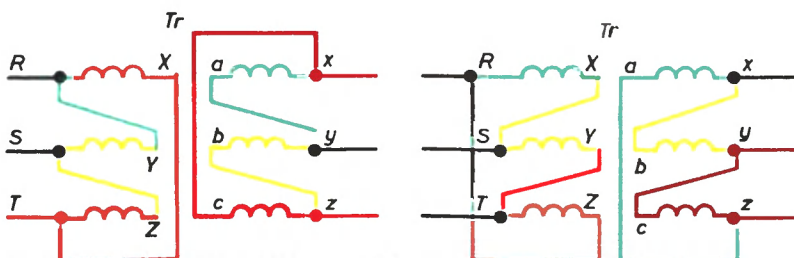
A 18b és d ábrákon bemutatott példák a terhelési csillagpont eltolódásáról volt szó, és nem a generátor vagy a transzformátor szekunder tekercse csillagpontjának eltolódásáról. A csillagba kapcsolt kondenzátoron, induktív tekercsen és ellenálláson (18b...d ábra) a feszültségek valóban erősen megváltoztak a fázishoz képest. De kihat-e ez más, ugyanerre a hálózatra kapcsolt fogyasztók üzemére? Hogy válaszolhassunk erre a kérdésre, tekintsük a 18e ábrát, feltételezve, hogy a szaggatott vonalas kapcsolat hiányzik. Könnyen belátható, hogy a fogyasztók minden csoportjának (az  $R$ ,  $C$ ,  $L$  csoportnak, az izzóknak, az  $M$  motornak) megvan a maga csillagpontja. Három, egyforma lámpa egyenletes, azonos jellegű terhelést képez, ezért csillagpontjuk nem tolódik el, következésképpen a feszültségek a lámpákon egyformák és egyenlők, példánkban 127 V. Ugyanezt mondhatjuk a motor tekercseinek feszültségéről is.

Másként áll a dolog, ha a fogyasztók csillagpontjai össze vannak kapcsolva (szaggatott vonal). Akkor a terhelések kölcsönhatása feltétlenül megvan, de hatásfokát a terhelések viszonya adja meg. Az is világos, hogy minél kiterjedtebb a hálózat és nagyobb teljesítményűek a generátorok és transzformátorok, annál kisebb az egyes fogyasztók hatása a csillagpont eltolódására.

Az eltérő terhelések csak akkor vannak hatással a többi fogyasztó üzemére, ha az eltérés mértéke viszonylagosan olyan, hogy megbonthatja a transzformátorok mágneses egyensúlyát.

## Transzformátortekercsek háromszökapcsolása

A generátoroktól eltérően a transzformátorokban a tekercsek közül legalább az egyik általában háromszökapcsolású (19. ábra).



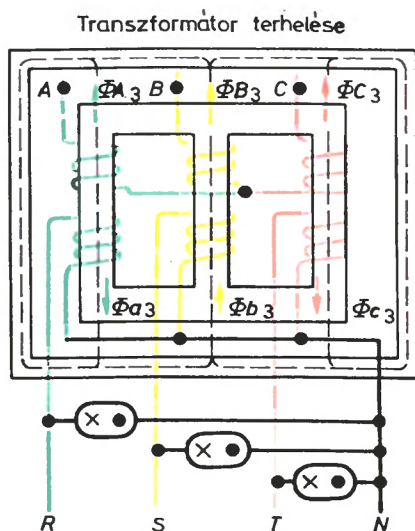
19. ábra. Transzformátorok háromszökapcsolása

A 14b ábrán bemutattuk három, egyfázisú transzformátor csillagkapcsolását, a 14c ábrán pedig egy háromfázisú magtípusú transzformátort. A csillagpont nincs kivezetve. Ilyen körülmények között a mágneses fluxus nem szinuszos jellegű. Az egyfázisú transzformátorokból felépített háromfázisú transzformátor és a háromoszlopos vasmaggal kialakított transzformátor azonban különbözőképpen viselkedik. Az egyfázisú transzformátoroknál minden fázisnak van egy saját, semmivel kapcsolatban nem álló mágneses vezetője, és azon keresztül könnyen záródik a harmadik felharmonikus kiegészítő (járu-lékos) mágneses fluxusa. E mágneses fluxus értéke nagy és következésképpen nagy a fázisfeszültségek torzulása is. A háromoszlopos transzformátorban valamennyi fázis mágneses vezetője össze van kapcsolva, a járom pedig a harmadik felharmonikusok mágneses fluxusai számára áthatolhatatlan. Ezek a fluxusok így a transzformátorolajon, a levegőn vagy a transzformátor burkolatán keresztül kénytelenek záródni (20. ábra), és ezért jelentősen legyengülnek. Viszont, ha a harmadik felharmonikusok mágneses fluxusai csekélyek,

akkor nem nagy a fázisfeszültségek alakjának torzulása sem. Ezekkel arra kívántunk rámutatni, hogy mennyire fontos figyelemmel lenni nemcsak a tekercsek villamos kapcsolásaira, hanem a köztük levő mágnesköri kölcsönös kapcsolatokra is. Nézzük ezt két példán!

Egyik példánkban párhuzamosan két transzformátor üzemel, az egyik csillag–háromszögbe, a másik csillag–csillagba van kapcsolva. A csillagba kapcsolt primer tekercsek csillagpontjait összekapcsolták. Ebben az esetben az egyik transzformátor háromszögbe kapcsolt tekercse harmadik felharmonikus áramot ad mindkét transzformátor számára, s ez túlterhelést okozhat.

A másik példában az egyfázisú transzformátorok háromfázisú csoportját és egy háromfázisú magtranszformátort párhuzamosan kapcsoltak. Mindkét transzformátor nullavezetője össze van kapcsolva. Az egyfázisú transzformátorok csoportjánál a harmadik felharmonikusok feszültségei jóval magasabbak, mint a háromfázisú



20. ábra. Az alulfrekvenciájú  $\Phi_{A1}$ ,  $\Phi_{B1}$ ,  $\Phi_{C1}$  mágneses fluxusok kölcsönösen kiegyenlítődnek, ugyanis egyenlők, és fázisban 1/3 periódusnyira vannak eltolva.

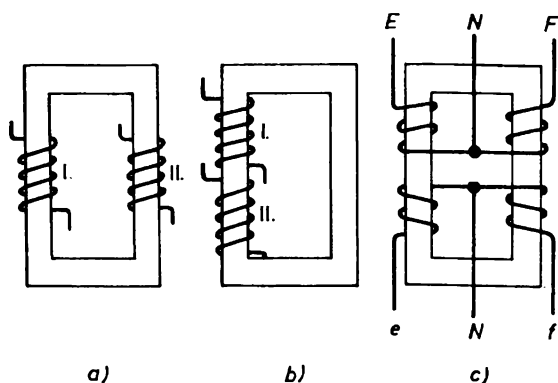
A harmadik felharmonikusok  $\Phi_{A3}$ ,  $\Phi_{B3}$ ,  $\Phi_{C3}$  fázisban egybeeső mágneses fluxusai egyforma irányúak és ezért kénytelenek a transzformátorházon keresztül záródni



transzformátornál. A transzformátorok harmadik felharmonikus feszültségei közötti különbség hatására, bennük harmadik felharmonikus áram keletkezik. Ez az áram csökkenti az egyfázisú transzformátorok harmadik felharmonikus feszültségét, de növeli azokat a háromszlopos transzformátorban is.

### Transzformátorok terhelésének hatása a feszültségre

A 21a...c ábrákon bemutatunk három egyfázisú transzformátort, amelyek a következőkben térnek el egymástól. A 21a ábrán levő transzformátorban a primer (I) és szekunder (II) tekercsek különböző oszlopokon helyezkednek el, a 21b ábrán pedig egy oszlopon. A 21c ábrán minden tekercs két félből áll, még hozzá felenként a primer és szekunder tekercsek egy oszlopon vannak; a tekercsek középső pontjaitól kivezetést készítenek.



21. ábra. A nem szimmetrikus terhelés hatása a transzformátor üzemére.  
A pontok a tekercsek kezdetét jelzik

A primer és szekunder tekercsek egy oszlopon való elhelyezése jobb, ugyanis a mágneses kapcsolat a tekercsek között tökéletesebb. Ha a primer és szekunder tekercsek különböző oszlopokon helyezkednek el (21a ábra), akkor a primer tekercs mágnesezőárama által létrehozott mágneses fluxusnak csak egy része járja át a szekunder tekercs meneteit, másik része szétszóródik.

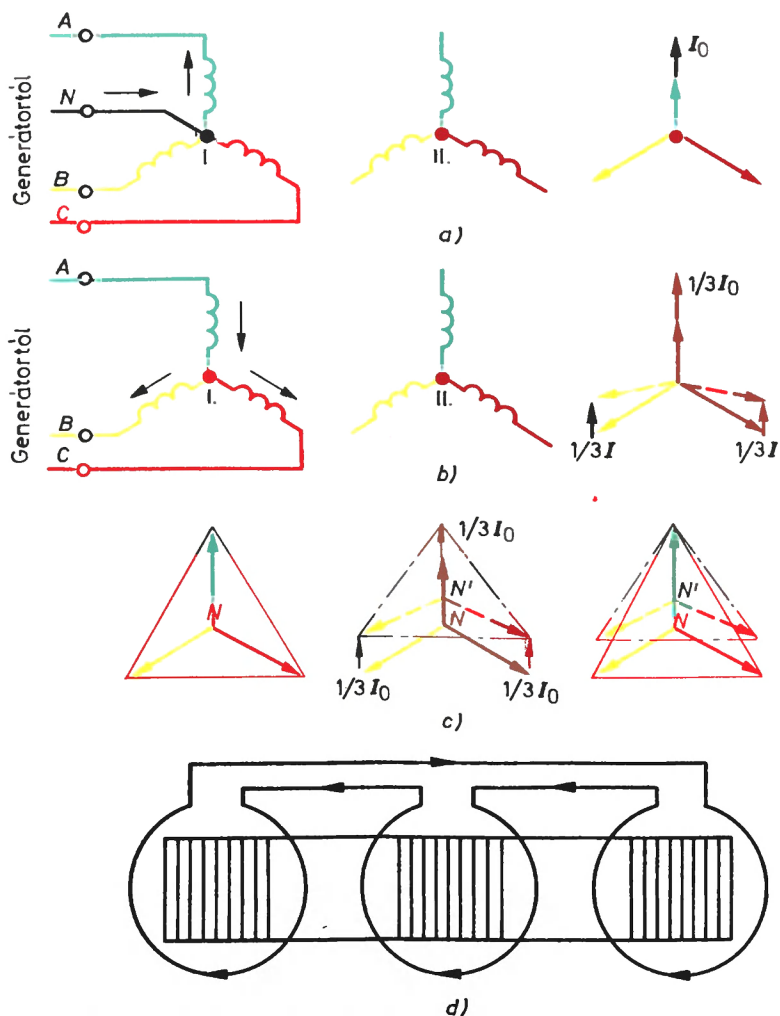
Amíg a transzformátor nincs terhelve (üresjárásban van), annak mágneses körében csak a primer tekercs mágneses feszültsége hat. Amikor viszont a transzformátort terhelik, ugyanabban a mágneses körben még egy mágneses feszültség keletkezik, a szekunder tekercs feszültsége. A Lenz-törvény szerint ez a transzformátort lemágnesezi. Ezért a mágneses fluxus kissé csökken, ez pedig azt jelenti, hogy csökkennie kellene a primer tekercs feszültségének is. De a ráadott primer feszültség – azaz a hálózati feszültség – változatlan marad. A hálózati feszültség és a primer feszültség közötti különbség megnő és természetesen a primer tekercsben is megnövekszik az áram. Az áram növekedése szigorúan meghatározott: ez kompenzálja a szekunder tekercs lemágnesező hatását, aminek eredményeként üresjáratban és terhelés alatt is fennmarad az egyensúly a transzformátorok mágneses körében.

### A magtranszformátorok sajátosságai

Vizsgáljuk meg a háromfázisú magtranszformátor üresjárásának feltételeit! A középső fázis ellenállása kisebb, mint a szélső fázisok ellenállása, ugyanis a középső fázis mágneses köre rövidebb. Ez látható a 20. ábrán. A mágneses ellenállások egyenlőtlensége a mágnesező-áramok egyenlőtlenségéhez vezet: a középső fázisban a mágnesező-áram kisebb. Ugyanakkor a primer tekercsre kapcsolt szimmetrikus feszültség hatására a mágnesezőáramok geometriai összegének egyenlőnek kell lennie nullával. Más szóval, szükséges, hogy a mágnesezőáramok vagy egyenlők, vagy aszimmetrikusak legyenek (azaz a köztük levő szög  $120^\circ$ -tól eltérő értékű legyen). Tételezzük fel, hogy a csillagkapcsolású primer tekercs csillagpontja a generátor nullavezetőjéhez kapcsolódik. Ebben az esetben a nullavezetőn egyenlődik ki a „kiegyenlítő”  $I_0$  áram (22a ábra).

Szimmetrikus terhelés esetén valamennyi fázistekercsben azonos nagyságú áram folyik, a feszültségesés minden fázistekercsben egyenlő egymással és a tekercsek feszültségei azonos értékkel csökkennek. Más szóval, ha a rendszer üresjárásban szimmetrikus volt, akkor terhelés esetén is az marad.

Aszimmetrikus terhelés esetén a fázistekercsekben folyó áramok nem egyenlők, és ezért a feszültségesés sem egyforma. Ennek eredményeként egyes kapcsok között a vonali feszültség csökken, más kap-



22. ábra. Háromfázisú oszloptranzformátor mágneses kiegyenlítése

- a) Az  $I_n$  áram a transzformátor primer tekercsére az  $N$  nullavezetőn keresztül jut;  
 b) ha a primer tekercsnek nincs nullavezetője, az  $I_n$  áram a fázisok között oszlik meg;  
 c) a csillagpont eltolódása 0-ból 0'-be;  
 d) az egyfázisú áram háromszöghkapcsolásban mintegy átfogja mind a három oszlopot

csok között pedig esetleg még növekedhet is. Aszimmetrikus terhelés esetén a szekunder feszültség változásai a tekercsek kapcsolási módjaitól függenek. Általános megfogalmazásban ez a következőkre vezethető vissza.

A háromfázisú (villamos motorok) és egyfázisú (világítás, háztartási készülékek) terheléseket tápláló (fogyasztói) transzformátorok szekunder tekercseit általában csillagba kapcsolják, hogy két feszültséget nyerjenek, 220 V-ot az egyfázisú terhelések számára és 380 V-ot a villamos motorokhoz. A transzformátorok primer tekercseit három módszerrel lehet összekapcsolni: csillagba, kivezetett csillagponttal (22a ábra), háromszögbe és csillagba, szigetelt csillagponttal (22b ábra).

Ha a primer tekercsnek nincs nullavezetője, akkor a „kiegyenlítő” áram egyenlően oszlik meg a három fázis között (22b ábra), mivel viszont ez az áram egyfázisú, ezért valamennyi oszlopban egyirányú mágneses fluxusokat képez. Ezek a levegőn és a transzformátor burkolatán keresztül záródnak. A kiegészítő mágneses fluxus következménye a fázisfeszültségek csillagpontjának elmozdulása az  $N$  pontból az  $N'$  pontba (22c ábra). Az ábra a következőképpen szerkeszthető meg. Bal oldalon látható az áram vektorábrája és az  $N$  csillagpont helyzete, feltételezve a mágneses kör mágneses ellenállásainak egyenlőségét. A középső vektorábra már a valódi helyzetet tükrözi, amikor is minden fázis áramához hozzáadjuk az  $1/3I_0$ -t: a csillagpont ilyenkor az  $N'$  pontban van. Végül a jobb oldali diagram a bal oldali és középső diagramot egy ábrán mutatja be. Ezen világosan látható a csillagpont eltolódása.

Ha a transzformátornak van háromszögbe kapcsolt tekercse, akkor az zárt kört képez, amely körülveszi a transzformátor mindhárom oszlopát (22d ábra). Ebben a körben az egyfázisú áram hatására olyan áram indukálódik, amely jelentős mértékben gyengíti a járulékos fluxus káros hatásait.

A 22a ábrán látható kapcsolás lenne a legkedvezőbb, mivel a primer és szekunder tekercsek mágneses fluxusai kiegyenlítődnének, azonban ez a gyakorlatban nem alkalmazható. Ehhez szükség lenne vagy a primer tekercs négyvezetős táplálására (három vezető helyett), vagy a csillagpont földelésére. Azonban a 10 és 20 kV-os elosztóhálózatokban a csillagpontot közvetlenül – itt nem tárgyalt okokból – nem földelik.

A primer tekercsek háromszögbe kapcsolásakor az egyfázisú terhelés csekély mértékben torzítja a feszültséget (l. a 22d ábrához fűzött magyarázatot). Azonban a primer tekercsek háromszögkapcsolása drágább, mint a csillagkapcsolás (háromszögkapcsolás esetén minden fázist vonali feszültségre kell méretezni, azaz 1,73-szor több menetre van szükség).

A primer tekercsek legelterjedtebb kapcsolása a szigetelt csillagpontú csillagkapcsolás (22b ábra), annak ellenére, hogy nagy egyfázisú terhelés esetén a csillagpont erőbben tolódik el és megbomlik a feszültségek szimmetriája, viszont az ilyen transzformátorok olcsóbbak. Ha az egyfázisú terhelés olyan nagy, hogy a csillagpont eltolódása eléri a megengedhetetlen értéket, akkor megnövelve a transzformátorok árát, a szekunder tekercsokat zezugba kapcsolják.

Zezugkapcsolás esetén 15%-kal több menetre van szükség. Ezenkívül a transzformátorok belső kapcsolása is jóval bonyolultabb.

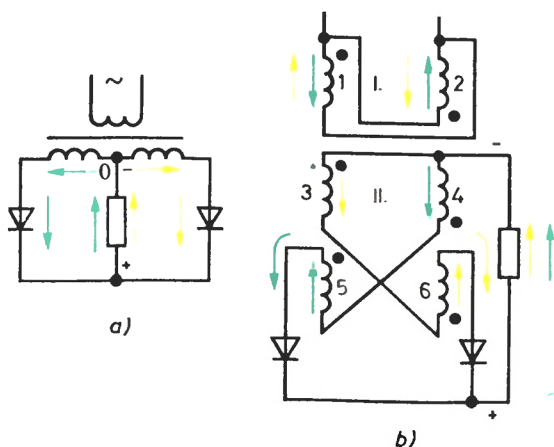
## **Zezugkapcsolású transzformátortekercsek**

A zezugkapcsolás háromfázisú transzformátorban használatos, különleges csillagkapcsolás, amelyben minden fázistekercs két-két olyan sorba kötött tekercsből áll, amelyek feszültségei nincsenek fázisban egymással. A legáltalánosabban használt zezugkapcsolásban a fázistekercsek két-két tekercsének egyenlő a menetszáma, ciklikus rendszerben kapcsolódnak egymáshoz, és feszültségvektoruk között  $60^\circ$  fáziskülönbség van.

A zezugkapcsolást azért használják, hogy a szekunder tekercsek egyenlőtlen terhelését egyenletesebben osszák meg a primer hálózat fázisai között, ill. hogy egyenlőtlen terhelés esetén se keletkezzék kiegyenlítőáram a transzformátorban.

Az egyfázisú transzformátor zezugkapcsolását egy tipikus példán tekintjük át.

A 23. ábra szerinti kivezetett csillagpontú transzformátor egy kétszer félperiódusos egyenirányítót táplál. Ilyenkor a transzformátor szekunder tekercseit zezugba kell kapcsolni. A könnyebb érthetőség kedvéért vizsgáljuk meg a 23a ábrát. Ezen egy egyfázisú transzformátor látható két szekunder tekercssel, amelyek között ki van vezetve a középső  $N$  (nulla)pont. Ez a pont képezi az egyenirányító ne-



23. ábra. Példák egyfázisú transzformátorok zezzugkapcsolására

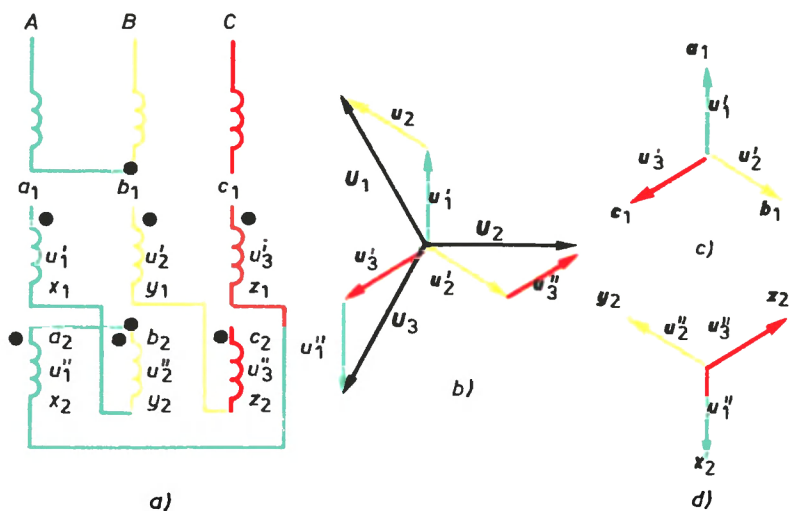
gativ sarkát. Minden szekunder tekercsben a nullaponttól a tekercsek *a* és *b* külső végei felé vesszük fel a pozitív irányt, ami értelem-szerűen megegyezik a *B1* és *B2* egyenirányítók vezetési irányjaival. Az áram irányát a pozitív félperiódusban zöld, a negatívban a sárga nyíl mutatja. E megoldás kellemetlen sajátossága abban nyilvánul meg, hogy a transzformátor szekunder tekercsein egyirányú áram, azaz olyan áram halad, amely nemcsak változó, de állandó összetevőket is tartalmaz. Az állandó összetevő telíti a vasmagot, a telítődés pedig megbontja a transzformátor üzemét, megnöveli a mágnesezőáramot és felharmonikusokat hoz létre.

A transzformátortekercsek azonban úgy is összekapcsolhatók, hogy az állandó és változó összetevők teljesen kiegyenlítődjenek. Ilyen kapcsolás látható a 23b ábrán. Könnyen belátható, hogy a transzformátor primer tekercse (I) különböző oszlopokon elhelyezett, párhuzamosan kapcsolt két részből áll (1 és 2). A szekunder tekercs (II) zezzugkapcsolású. A pozitív félperiódusban (zöld nyilak) a szekunder tekercs fele működik. A jobb oldali oszlopon levő 4. rész (szekunder tekercs) és 2. rész (primer tekercs) kölcsönhatásban van a bal oldali oszlopon levő 1. és 5. részekkel. A negatív félperiódusban (sárga nyilak) a szekunder tekercs másik fele működik: a bal oldali oszlopon levő 1. és 3. részek és a jobb oldali 2. és 6. részek kölcsönhatása megegyező.

## Háromfázisú transzformátor zezug-csillag kapcsolása

A transzformátorok primer tekercseit csillagba, szekunder tekercseit pedig zezugba kapcsolják (24a ábra). Ehhez minden fázis szekunder tekercsét két félből állítják össze: az egyik felet az egyik oszlopon, a másikat a másik oszlopon helyezik el. Az  $x_1$  véget az  $y_2$  véggel (nem pedig a kezdettel!) kapcsolják össze stb. Az  $a_2, b_2$  és  $c_2$  kezdőpontokat összekötik és ezek csillagpontot képeznek. Az  $a_1, b_1, c_1$  kezdetekhez kötik a szekunder hálózat vonalvezetőit. Ilyen kapcsolás esetén a különböző oszlopokon elhelyezett tekercsek feszültségei  $120^\circ$ -kal térnek el egymástól; a szekunder tekercs feszültségeinek vektordiagramját a 24b ábra szemlélteti.

A vektordiagram a következőképpen szerkeszthető meg. Tételezzük fel, hogy az  $x_1, y_1, c_1$  végek össze vannak kapcsolva. Az így nyert diagram a 24c ábrán látható. Most tételezzük fel, hogy össze kapcsolva az  $a_2, b_2, c_2$  kezdetek vannak. Ez megfelel a 24d ábrán levő



24. ábra. Háromfázisú transzformátor zezug-csillag kapcsolása

Az  $a_1, b_1, c_1, a_2, b_2, c_2$  betűkkel a szekunder tekercsek kezdeteit jelöljük, az  $x_1, y_1, z_1, x_2, y_2, z_2$  betűkkel pedig azok végeit. Az  $u'_1, u'_2, u'_3, u''_1, u''_2, u''_3$  a szekunder tekercsek, az  $U_1, U_2, U_3$  vonalfeszültségek

diagramnak, amely a 24c ábrán levő diagramhoz képest  $180^\circ$ -kal van elfordítva. Végül a 24a ábrán látható kapcsolási vázlatnak megfelelően elvégezzük a 24c és d ábrákon ábrázolt vektorok mértani összeadását.

A zegzug–csillag kapcsolás – mint az előzőekben is lerögzítettük – drágább a csillagkapcsolásnál, ugyanis több menetre van szükség. Valóban, az egy oszlopon elhelyezkedő két féltekercs soros kapcsolásakor, a féltekercsek feszültségei algebrailag összeadódnak, azaz az adott esetben megkétszereződnek. A különböző oszlopokon elhelyezett tekercsek összekapcsolásakor a feszültségek mértanilag  $120^\circ$ -os szög alatt összegződnek és  $\sqrt{3}$ -szor nagyobb feszültséget adnak eredményül. Következésképpen, hogy ugyanolyan értékű feszültséget kapjunk zegzug–csillag kapcsoláskor, mint csillagkapcsolás esetén, 15%-kal több menetre van szükség, ugyanis  $2:1,73 = 1,15$ .

Zegzug–csillag kapcsoláskor három feszültséget nyerhetünk, például 400, 230 és 133 V-ot. Ezek üresjárási értékek. Terhelés esetén a fogyasztóknál a feszültségek kisebbek lesznek, közelítve a 380, 220 és 127 V-os névleges hálózati feszültségekhez.

## Transzformátorok kapcsolási csoportjai

A transzformátorok többségét párhuzamosan üzemeltetik; a párhuzamos kapcsolás elengedhetetlen feltételei:

- *A transzformátorok áttételének azonossága.* Ellenkező esetben a szekunder tekercsek között kiegyenlítő áram fog folyni, amely még viszonylag kis áttételi eltérés esetén is veszélyes túlmelegedést idézhet elő;

- *A rövidzárási feszültség  $\varepsilon$  (%) azonossága.* Ez a feltétel azért fontos, mert máskülönben nem oszthatják meg a terhelést az összekapcsolt transzformátorok teljesítményeik arányában. Ugyanis a párhuzamosan kapcsolt transzformátorok teljesítményviszonya nem lehet több, mint 1:3. Ellenkező esetben még a viszonylag nem nagy abszolút túlterhelés is – százalékosan – a kistranszformátorok számára megengedhetetlen lehet. Más szóval ez azt jelenti, hogy ebben az esetben (azaz, ha rövidzárási feszültségeik %-os értéke megegyezik) a párhuzamosan üzemeltetett transzformátorok között, névleges teljesítményeik arányában oszlik meg a terhelés.



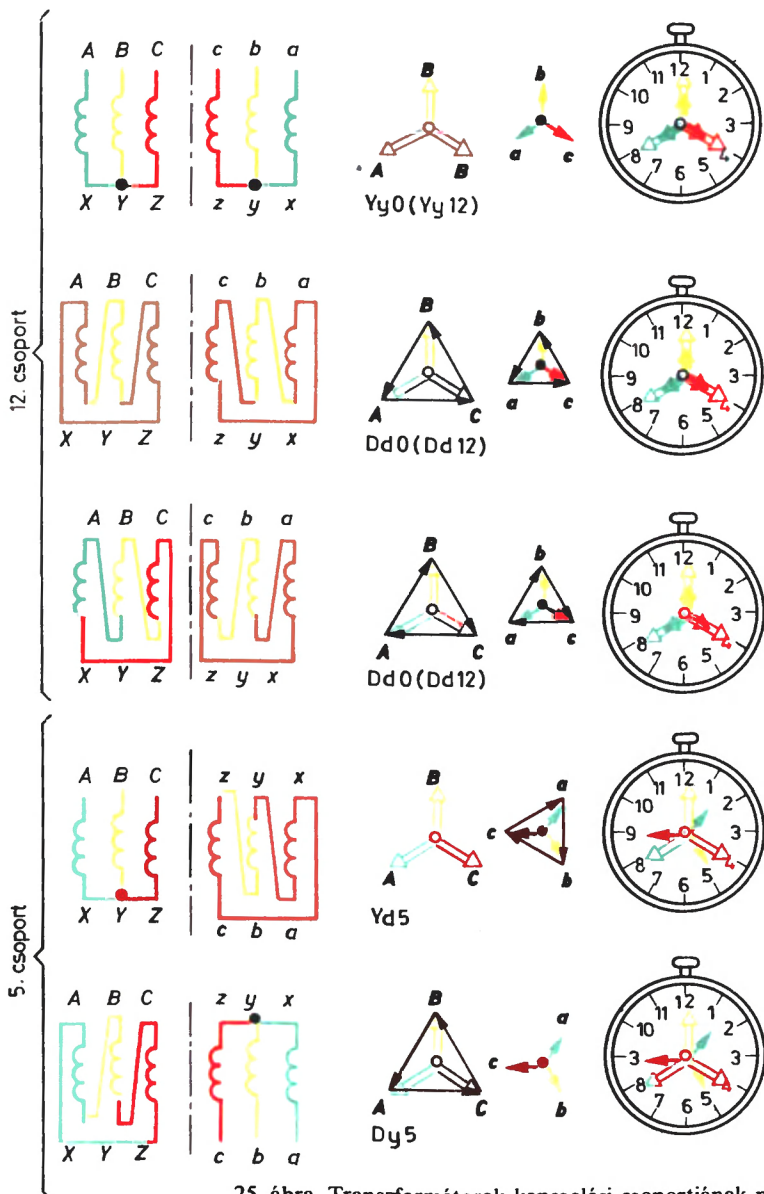
– *A fázisforgatás azonossága.* Ha a transzformátorok fázisforgató hatásai különbözők, akkor a párhuzamosan kapcsolt transzformátorok szekunder feszültségeinek megfelelő vektorai között fáziseltolódás képződik, ami feszültségkülönbséget eredményez. Mivel egy és ugyanazon pontban egyidejűleg nem létezhetnek különböző feszültségek, kiegyenlítésükre a transzformátorok között kiegyenlítőáram lép fel. Még a legkisebb ( $30^\circ$ -os) szögeltérés esetén is (különböző kapcsolási csoportoknál) a kiegyenlítő áram ötször, a legnagyobb szögeltérés ( $180^\circ$ ) esetén pedig 20-szor nagyobb a transzformátor névleges áramánál.

A 25. ábra tíz transzformátort ábrázol. A transzformátorok tekercseinek kapcsolása különböző. Egyelőre hagyjuk figyelmen kívül, hogy miben is van a különbség, fordítsunk figyelmet a vázlatok mellett elhelyezett vektorábrákra: balról a primer tekercs feszültségeinek, középen a szekunder tekercs, jobbról a két tekercs feszültségeinek összevont vektorábrája látható egy óra számlapján levő óramutatók formájában. A vektorok „súlypontjai” az óralapok középpontjában helyezkednek el. Az órák percmutatója megegyezik a primer tekercs egyik feszültségvektorának irányával (a 25. ábrán **B** vektor). Az óramutató (kismutató) megegyezik az azonos megnevezésű fázis szekunder tekercsének feszültségvektorával, azaz a **b** vektorral.

Az adott esetben a primer és szekunder csillagkapcsolás vektorainak elhelyezkedését hasonlítjuk össze. Ezért, ha a tekercset háromszögbe kapcsolják, a kapcsolási csoport meghatározása előtt a háromszögbe egy csillagot kell képzelni. Ezt követően a csillag alapúlvételével a nyilakat a csillagok vektorai mentén a **B** és **b** (**A** és **a**, **C** és **c**) csúcsokba irányítjuk.

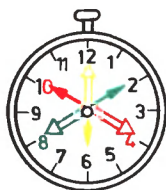
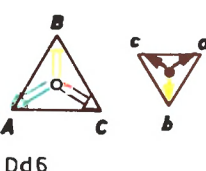
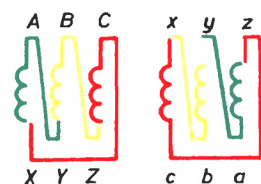
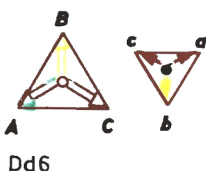
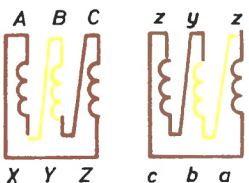
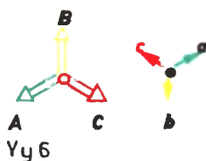
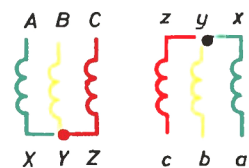
A 25. ábrán jól látható, hogy bár a tekercsek belső összekötési módjai (*kapcsolási mód*) eltérőek, az azonos jellegű feszültségek vektorszögei azonos értékűek, amit az azonos időpontot mutató óraállások is bizonyítanak. A szekunder feszültségvektorok azonos eltolódását eredményező tekercskötések képezik az egyes *kapcsolási csoportokat*. Más szóval, az azonos kapcsolási csoportba tartozó transzformátorok azonos jelű szekunder feszültségei fázisban egybeesnek, ezért azok párhuzamosan összekapcsolhatók kiegyenlítőáram keletkezésének veszélye nélkül.

Tizenkét alaps csoport lehet (1 óra, 2 óra...12 óra) a számlapon elhelyezkedő órajelöléseknek megfelelően. Ez azzal magyarázható, hogy a primer és szekunder feszültségek vektorai a tekercsek kapcsol-

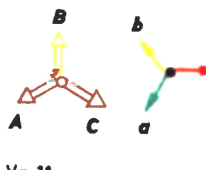
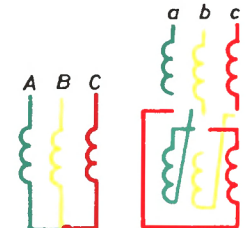
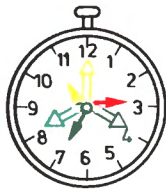
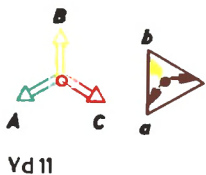
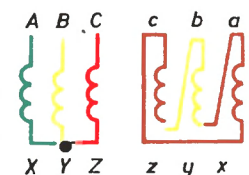


25. ábra. Transzformátorok kapcsolási csoportjának példái  
A primer tekercsek kezdeteit A, B, C, végeit X, Y, Z betűkkel,

6. csoport



11. csoport



a szekunder tekercsek kezdeteit  $a, b, c$ , végeit  $x, y, z$  betűkkel jelölük

lásának és az egyes oszlopokon történő elhelyezkedésének függvényében a  $30^\circ$ -os szög többszöröseit kitevő eltéréseik lehetnek. Így tehát az 1 órának a  $30^\circ$ -os, a 2 órának a  $60^\circ$ -os, a 4 órának a  $120^\circ$ -os stb. szögeltérés felel meg.  $360^\circ$ -os eltérése vagy  $0^\circ$ -os eltérése a 12, ill. a 0 órának megfelelő csoportnak van (ugyanis a  $360^\circ$  és a  $0^\circ$  azonos értéket jelent). A 6 órának megfelelő eltérés esetén a primer és szekunder tekercsek azonos fázisainak feszültségvektorai egymással éppen ellentétes irányúak (az általuk bezárt szög  $180^\circ$ ).

*Páros csoportokról* (2, 4, 6, 8, 10) akkor beszélünk, ha mindkét nagyobb feszültségű tekercs és a kisebb feszültségű tekercs azonos kapcsolású, azaz mindkettő vagy csillagba (Yy), vagy háromszögbe (Dd) van kapcsolva. Az egyik tekercs zegzug–csillag kapcsolása és a másik tekercs háromszögkapcsolása (Dz) is páros csoportot ad (Yy, Dd, Dz).

*Páratlan csoportok* (1, 3, 5, 7, 9, 11) akkor jönnek létre, ha az egyik tekercs kapcsolása csillag, a másiké háromszög (Yd vagy Dy), valamint akkor, ha az egyik tekercs csillagba, a másik pedig zegzugba van kapcsolva (Yz).

A gyakorlatban a háromfázisú transzformátorok nagyobb és kisebb feszültségű oldalán mérhető vonali feszültségek szöge Yy, Dd és Dz kapcsolásban,  $0^\circ$ , vagy a  $30^\circ$  páros számú többszöröse: 2-, 4-, 6-, 8- és 10-szerese, Yd, Dy és Yz kapcsolásban  $30^\circ$ , vagy ennek páratlan számú többszöröse: 1-, 3-, 5-, 7-, 9- és 11-szerese; ezért az Yy, a Dd és a Dz kapcsolás 0, 2, 4, 6, 8 és 10 jelölőszámú, az Yd, a Dy és az Yz kapcsolás 1, 3, 5, 7, 9 vagy 11 jelölőszámú lehet.

A *kapcsolási mód jelölésében* betűkkel jelölik a tekercs kapcsolását, számokkal pedig a szögeltérésre utaló értékeket (pl. Yd5).

Hazánkban általában az Yd5, Yd11, a Dy5, Dy11, az Yy0, Yy6, Dd0, Yz5 és Yz11 kapcsolási csoportú transzformátorokat gyártják.

A gyakorlatban azonban találkozhatunk mind a 12 csoporttal, sőt még olyan kapcsolásokkal is, amikor a nagyobb és a kisebb feszültségű vektorok forgási iránya nem azonos. Az ilyen transzformátoroknak nincs csoportjuk az órajelölésben.

## A kapcsolási csoportok megváltoztatása

A páratlan jelölőszámú Yd, Dy és Yz kapcsolási csoportot bármilyen más páratlan jelölőszámúvá átalakíthatjuk a külső vezetéksatlakozások felcserélésével (2. táblázat).

**2. táblázat. A kapcsolási csoport megváltoztatása  
a külső vezetéksatlakozások felcserélésével**

A transzformátorkapcsok és vezetéksatlakozások jelölése		Az Yd, Dy és Yz kapcsolási csoport jelzőszáma					
<i>A B C</i> <i>U V W</i>	<i>a b c</i> <i>u v w</i>	1	3	5	7	9	11
<i>A C B</i> <i>C B A</i> <i>B A C</i>	<i>c b a</i> <i>b a c</i> <i>a c b</i>	3	1	11	9	7	5
<i>A B C</i> <i>C A B</i> <i>B C A</i>	<i>c a b</i> <i>b c a</i> <i>a b c</i>	5	7	9	11	1	3
<i>A C B</i> <i>C B A</i> <i>B A C</i>	<i>b a c</i> <i>a c b</i> <i>c b a</i>	7	5	3	1	11	9
<i>A B C</i> <i>C A B</i> <i>B C A</i>	<i>b c a</i> <i>a b c</i> <i>c a b</i>	9	11	1	3	5	7
<i>A C B</i> <i>C B A</i> <i>B A C</i>	<i>a c b</i> <i>c b a</i> <i>b a c</i>	11	9	7	5	3	1

A páros jelölőszámú Yy, Dd és Yz kapcsolási csoportban a külső vezetéksatlakozások felcserélésével, ill. ha valamelyik oldalon minden tekercsvég ki van vezetve, akkor a tekercsvégek felcserélésével bármilyen páros jelölőszámú kapcsolási csoport megvalósítható (3. táblázat).

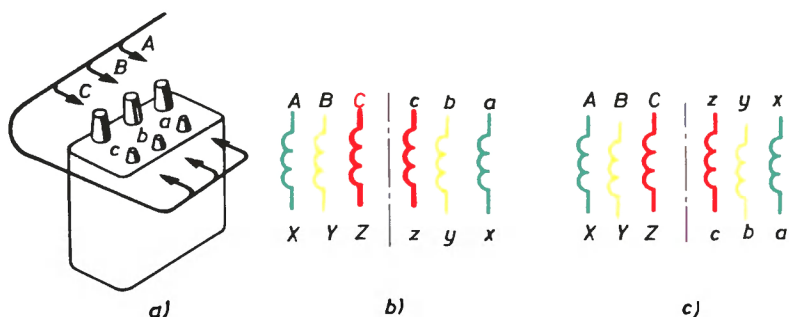
**3. táblázat. A kapcsolási csoport megváltoztatása  
a tekercsvégek és a vezetéksatlakozások felcserélésével**

A transzformátorkapcsok és vezetéksatlakozások jelölése			Az Yy, Dd és Dz kapcsolási csoport jelölőszáma					
<i>U V W</i> <i>A B C</i>	<i>u v w</i> <i>a b c</i>	<i>x y z</i>	0	2	4	6	8	10
<i>A B C</i> <i>C A B</i> <i>B C A</i>		<i>b c a</i> <i>a b c</i> <i>c a b</i>	2	4	6	8	10	0
<i>A B C</i> <i>C A B</i> <i>B C A</i>	<i>c a b</i> <i>b c a</i> <i>a b c</i>		4	6	8	10	0	2
<i>A B C</i> <i>C A B</i> <i>B C A</i>		<i>a b c</i> <i>c a b</i> <i>b c a</i>	6	8	10	0	2	4
<i>A B C</i> <i>C A B</i> <i>B C A</i>	<i>b c a</i> <i>a b c</i> <i>c a b</i>		8	10	0	2	4	6
<i>A B C</i> <i>C A B</i> <i>B C A</i>		<i>c a b</i> <i>b c a</i> <i>a b c</i>	10	0	2	4	6	8

**Vektorábra szerkesztése a kapcsolási mód  
meghatározásához**

A kapcsolási rajzokon a tekercseket a transzformátorkimenethez kapcsolódásuk sorrendjében tüntetik fel. Ha tehát a számlálást a nagyobb feszültségű tekercs *A* kimenetén kezdjük és a transzformátort körbejárjuk a nyíl irányában (26a ábra), a kivezetéseket a következő sorrendben találjuk: *A, B, C, c, b, a*. Pontosan így helyezik el ezeket a kapcsolási rajzokon is.

A nagyobb feszültségű tekercsek kezdetét *A, B, C* betűkkel, végét *X, Y, Z* betűkkel, a kisebb feszültségű tekercsek kezdeteit *a, b, c*, vé-



26. ábra. Tekercsjelölési rendszer a kapcsolási csoportok meghatározásához

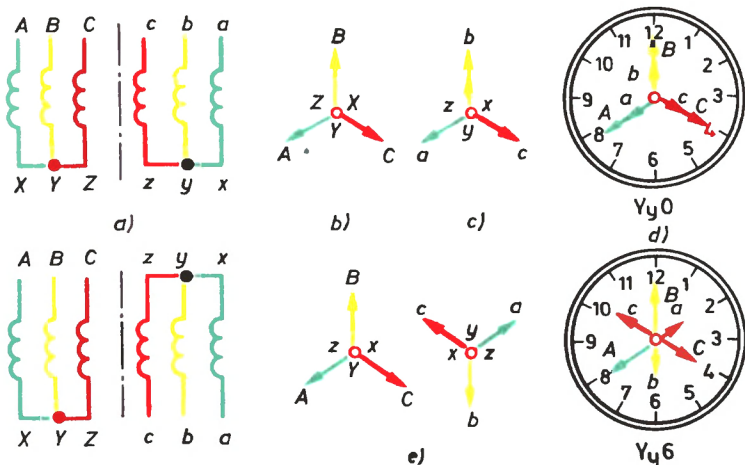
geit  $x, y, z$  betűkkel jelölik. Állapodjunk meg, hogy az azonosan gombolyított tekercsek kezdeteit fent, végeit lent helyezzük el (26b ábra). A különböző tekercselési irányú tekercsek kezdeteit különböző oldalakon fogjuk elhelyezni (41c ábra).

Az azonos fázishoz tartozó (azaz a tekercsek egy oszlopon vannak) feszültségvektorok párhuzamosak. A vektordiagramokat annak az időpillanatnak a figyelembevételével készítik, amikor az  $A, a$  ( $B, b$ ;  $C, c$ ) potenciálok nagyobbak, mint az  $X, x$  ( $Y, y$ ;  $Z, z$ ) potenciálok.

A primer tekercs fázisainak megnevezéseit és azok feszültségvektorainak elhelyezkedését a primer hálózat határozza meg, ezért ezek minden kapcsolásra nézve egyformák.

Nézzünk néhány példát!

1. példa. Meg kell határozni a 27a ábrán látható elrendezés kapcsolási módját! Első lépés: megszerkesztjük a nagyobb feszültségű tekercs vektorábráját (27b ábra). Második lépés: megszerkesztjük a kisebb feszültségű tekercs vektorábráját (42c ábra). Az előzőekben közölt feltételek alapján, az  $AX, BY, CZ$  és  $ax, by, cz$  vektorok értelem-szerűen párhuzamosak és azonos irányúak, mivel a tekercsek feszültségeinek is azonos az iránya (a tekercskezdekdek jelölése a 27a ábra felső részén látható). Harmadik lépés: a nagyobb feszültségű tekercs vektorábrájának súlypontját az óra középpontjába helyezzük, és az egyik fázis, pl. a  $BY$  fázisvektort 12 órára forgatjuk. Negyedik lépés: a kisebb feszültségű tekercs vektorábrájának súlypontját az óra középpontjába helyezzük, és megnézzük, hogy ugyanazon fázis, esetünkben a  $by$  fázisvektor, hány órát mutat. Ez az óra határozza meg a kapcsolási módot, az adott példában 0 vagy 12 (27d ábra).



27. ábra. Kapcsolási csoportok meghatározási példái, ha mindkét tekercs csillagkapcsolású

2. példa. A 27e ábra szerint a tekercsek gombolyítási iránya különböző. A kapcsolási csoport az előző példához hasonlóan határozható meg. Magyarázat nélkül is belátható, hogy  $Yy6$  kapcsolási csoportot kapunk.

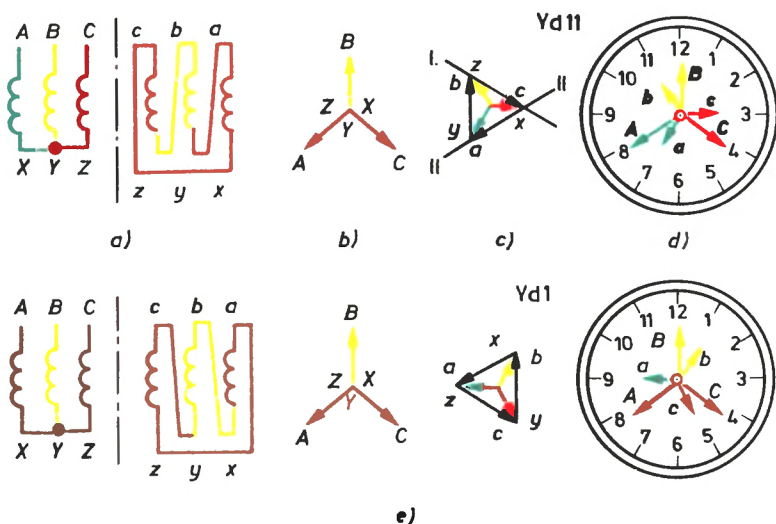
3. példa. Szerkesszük meg a vektorábrát a 28a ábra szerint arra az esetre, amikor a gombolyítás iránya azonos és a kisebb feszültségű tekercs náromszögkapcsolású! A nagyobb feszültségű tekercs vektorábrája (28b ábra) megegyezik a 27b ábrán láthatóval. Ez természetes, hiszen ezt is a primer hálózat határozza meg. A  $BY$  vektorral párhuzamosan – vele megegyező iránnyal – megszerkesztjük a  $by$  vektort (27c ábra). Ezt követően, mivel a kapcsolás szerint a  $b$  kimenet össze van kapcsolva a  $z$  kimenettel, a vektorábrán a  $b$  betű mellé tesszük a  $z$  betűt. Mivel azonban a  $z$  pont a  $cz$  vektorhoz tartozik, a  $z$  ponton keresztül a  $CZ$  vektorral párhuzamos  $I-I$  vonalat húzunk. Ezt követően, tekintettel arra, hogy az  $y$  kivezetés össze van kötve az  $a$  kivezetéssel, a vektorábrán az  $y$  betű mellé tesszük az  $a$  betűt és ezen keresztül meghúzzuk az  $AX$  vektorral párhuzamos  $II-II$  vonalat. Az  $I-I$  és  $II-II$  vonalak metszéspontja képezi a  $c$  és  $x$  kivezetések közötti kapcsolásnak megfelelő háromszögcsúcsot. Most már csak a  $cz$  és  $ax$  vektorok irányait kell jelölni.



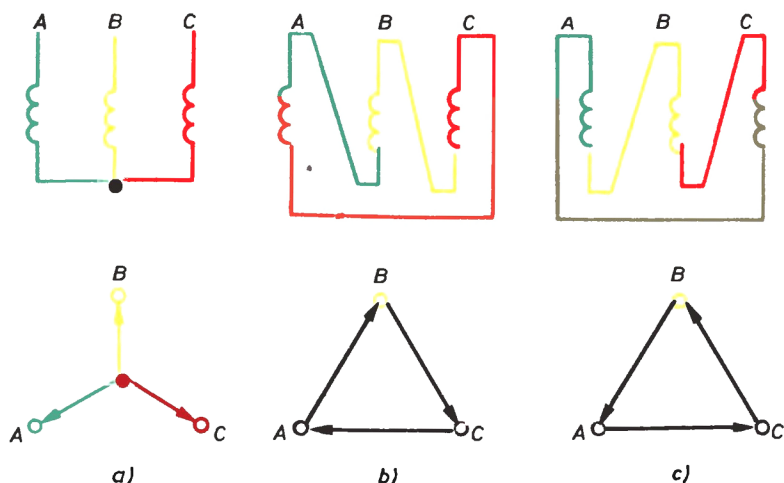
Most pedig össze kell hozni a nagyobb és a kisebb feszültségű tekercsek vektorábráinak súlypontjait úgy, hogy behelyezzük azokat az órák központjába, és meg kell határozni a kapcsolási csoportot. Adott esetben a transzformátor a 11-es kapcsolási módhoz tartozik, ugyanis a **b** vektor 11 órát mutat. Esetünkben a kapcsolási módot nem az **a** és **c** vektorok, hanem a **b** vektor határozza meg, mivel a 12 órára nem az **A** és **C** vektorok, hanem a **B** vektor irányul.

A súlypont meghatározása némi magyarázatot igényel. A csillagkapcsolású, nagyobb feszültségű tekercs súlypontja a csillagpont. A háromszögbe kapcsolt, kisebb feszültségű tekercs súlypontja szerkesztéssel határozható meg: a háromszög minden oldalát megfeleztik, és az oldalak felezőpontját összekötik a szemben levő csúccsal. A három vonal metszésponja adja a súlypontot.

A 28e ábrán levő tekercsek is azonos gombolyításúak és szintén csillag-, ill. háromszögkapcsolásúak, de nem 11-es csoportot, hanem 1-es csoportot nyertünk. Ez azzal magyarázható, hogy a kisebb feszültségű tekercsek kapcsolásakor ez alkalommal másként járunk el, mint a 28a ábrán. Az első esetben a *by* tekercs végét összekapcsoltuk az *ax* tekercs kezdetével, a másodikban a *by* tekercs végét a *cz* te-



28. ábra. Kapcsolási csoportok meghatározási példái, ha a kisebb feszültségű tekercsek háromszögkapcsolásúak



29. ábra. Feszültségvektorok nagyobb feszültségű tekercsek háromszöghkapcsolásakor

keres kezdetével. A másfajta körüljárási irány eredményeként a háromszög megfordult.

A kisebb feszültségű tekercsek háromszöghkapcsolásakor a nagyobb feszültségű tekercs vektorait vettük figyelembe, mivel ezek ábrázolták a táphálózat feszültségeit. Más szóval az  $A$ ,  $B$ ,  $C$  vektorháromszög csúcsai voltak adottak.

A nagyobb feszültségű tekercsek háromszöghkapcsolásakor ezeket a feltételeket ugyancsak be kell tartani, innen következik, hogy a nagyobb feszültségű tekercsek bármilyen, tehát akár csillag- (29a ábra), akár háromszög- (29b, c ábrák) kapcsolásakor a vektorábrákon az  $A$ ,  $B$ ,  $C$  pontok egyformán helyezkednek el, mivel ez a hálózat. Háromszöghkapcsolásban azonban a vektorok iránya különböző lehet, ezt a kapcsolási sorrend határozza meg.

Valóban, a 29b ábrán látható, hogy a  $B$  tekercs a  $C$  tekercshez, az pedig az  $A$  tekercshez kapcsolódik, aminek a vektorábrán a nyíl-irányok is megfelelnek.

A 29c ábrán a kapcsolást más sorrendben alakították ki: a  $B$  tekercstől az  $A$  tekercshez és onnan a  $C$  tekercshez, ezért a vektorábrán a nyílak iránya ellenkezőjére fordult.

## 4. A TEKERCSEK KIVEZETÉSEK MEGHATÁROZÁSA

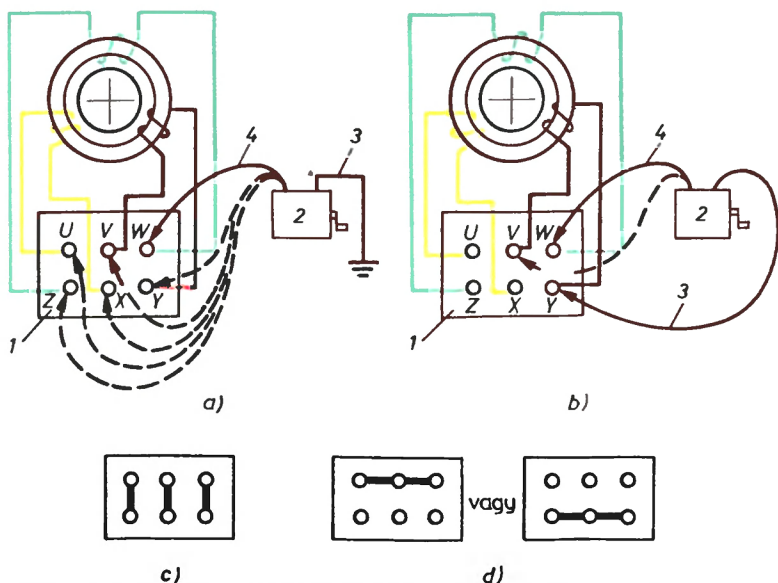
Mielőtt létrehoznánk csillag-, háromszög- vagy zezzugkapcsolást, mindig két feladatot kell megoldani: egyrészt meg kell határozni, hogy milyen kivezetések tartoznak az egyes tekercsekhez; másrészt meg kell határozni, hogy melyek közülük a tekercsek kezdetei és végei.

### **Motortekercsek hovatartozásának meghatározása**

A 30a ábrán egy háromfázisú villamos motor tekercseinek, az *I* kapocstáblára kivezetett végeit ábrázoltuk. A kapocstábláról hiányozhatnak a kapocsjelek, pl. *U*, *V*, *W*, ill. *X*, *Y*, *Z* betűk, de ha vannak is feliratok, akkor is hasznos meggyőződni helyességükről.

Először ellenőrizni kell valamennyi kivezetés szigetelését a földhöz képest (30a ábra) egy szigetelésvizsgáló (megohmmérő) készülékkel, amelyet meggernek is neveznek (2). A megohmmérő egyik vezetőjét (3) földelik, a másikat (4) egymás után hozzákapcsolják a kapocstábla hat kapcsának mindegyikéhez és a megohmmérő karjának forgatásával meggyőződnek a szigetelés épségéről.

Ezt követően a 3 vezetőt a kapocstábla egyik kivezetéséhez, pl. az *Y*-hoz (30b ábra) kötik, és a megohmmérő karját forgatva egymás után hozzáérintik a 4 vezetőt a többi öt kivezetéshez. Példánkban a megohmmérő az *U*, *W*, *X* és *Z* kapcsokon „szigetelést” mutat és csak egy esetben, nevezetesen a *V* kapocs érintésekor jelez „zárlatot”. Innen következik, hogy az *Y* és *V* kapcsok azonos tekercshez tartoznak. Így kell ellenőrizni valamennyi kivezetést a többihez képest, és



30. ábra. Háromfázisú motor tekercskivezetéseinek meghatározása

ezzel végeredményben meghatározható a megfelelő tekercsekhez tartozó három kapocspár.

Ha a tekercsek kezdeteit és végeit függőleges áthidalásokkal kötik össze (30c ábra), háromszögmegkötés keletkezik. Vízszintesen elhelyezett áthidalások esetén (30d ábra), a villamos motor csillagba van kapcsolva.

Ha a tekercsek ellenállása kicsi, az ellenőrzés telepről vagy hálózatról működtetett lámpával, csengővel stb. is elvégezhető. A vizsgálat során figyelemmel kell lenni a következőkre:

a) a villamos gépek tekercseinek induktivitása nagy, ezért a tekercsek lekapcsolásakor még szárazelemről végrehajtott vizsgálat esetén is jelentős feszültségimpulzusok léphetnek fel;

b) a tekercseknek közös vasmagjuk van, azaz egyetlen sajátos transzformátort alkotnak, tehát egyik tekercsen végzett mérés esetén nincs kizárva a feszültség megjelenése a többi tekercskivezetésen. Egyenárammal történő vizsgálatkor ez a be- és kikapcsoláskor fellépő impulzus formájában jelenik meg, váltakozóárammal történő

vizsgálat során pedig váltakozófeszültség fellépésével kell számolni. A kapcsok érintésekor a vezetéket szigetelésénél fogva kell tartani!

## **Transzformátorkivezetések meghatározása**

A transzformátortekercs-kivezetések hovatartozása megohmmérő vagy más, egyenáramú áramforrás segítségével határozható meg. Váltakozóáramot e célra veszélyes használni, mivel a transzformátorok primer és szekunder tekercsei különböző menetszámúak, s a vizsgálat folyamán a transzformátorkivezetéseken (kapcsokon) veszélyes feszültségek keletkezhetnek. Vegyük pl. azt, hogy egy 6600/220 V-os transzformátort vizsgálunk, amelynek áttétele 30 ( $6600 : 220 = 30$ ). Tételezzük fel, hogy a szekunder tekercsre lámpán keresztül 40 V-ot vezetünk. A primer tekercs kivezetésein ilyenkor  $40 \cdot 30 = 1200$  V keletkezik.

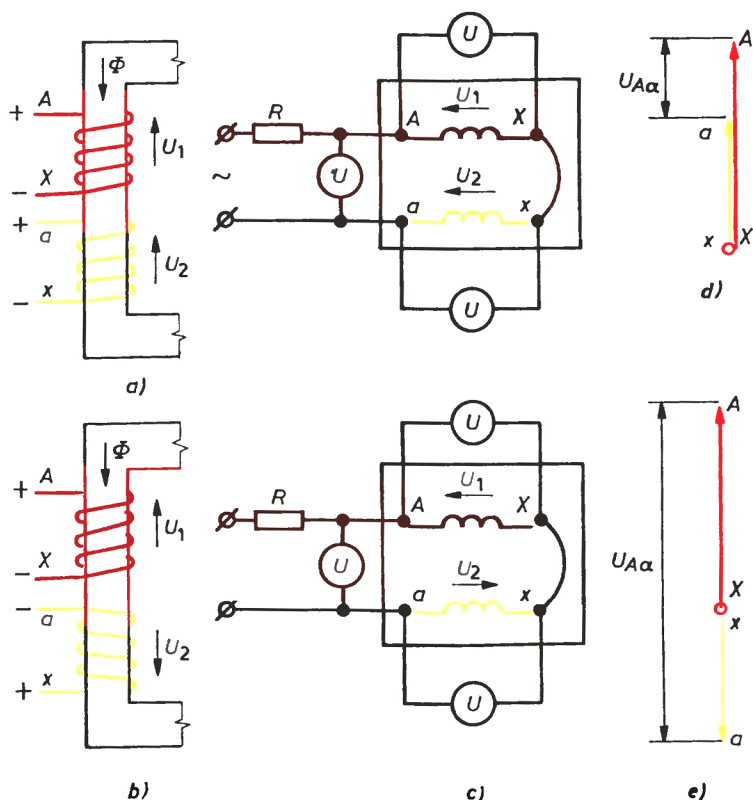
## **A tekercsek kezdetei és végei**

A tekercsek két irányban gombolyíthatók: az óramutató járásával megegyezően, ill. ellentétesen. Hogy valójában miként vannak gombolyítva, az nem látható, de egy egyszerű próbával könnyen megállapítható a tekercs kezdete, ill. vége (31a ábra).

A  $\Phi$  váltakozó mágneses fluxus a tekercsekben  $U_1$  és  $U_2$  feszültségeket indukál, amelynek nagysága arányos a menetek számával. Mivel a tekercsek iránya azonos, úgy tekinthető (és ez könnyen belátható), hogy az egyik tekercs mintegy folytatása a másiknak, és bennük a feszültségek iránya bármelyik pillanatban megegyezik. Ez azt jelenti, hogy azok felső kivezetései ( $A$  és  $a$ ) vagy az alsó kivezetései ( $X$  és  $x$ ) feszültségelőjele megegyező (pozitív vagy negatív), amit a 31a ábrán  $+$  és  $-$  jellel jelöltünk.

Világos, hogy különböző gombolyítási irányok esetén (31b ábra) az  $U_1$  és  $U_2$  feszültségek iránya ellentétes, azaz  $180^\circ$ -os szöggel tér el egymástól.

Ebből levonható egy gyakorlati következtetés. Ahhoz, hogy két tekercs egymáshoz viszonyított gombolyítási iránya meghatározható legyen, a tekercseket össze kell kötni egymással a 31c ábrán látható módon, s a szabad végeken keresztül váltakozófeszültségre kötni.



31. ábra. Egy oszlopon elhelyezett két tekercs gombolyítási irányainak meghatározása

A túl nagy áram elkerülésére a kapcsolás  $R$  kiegészítő ellenállást tartalmaz. Megméri az  $A$  és  $a$  közötti  $U_{Aa}$  feszültséget, az egyik tekercs  $U_{Ax}$  és a másik tekercs  $U_{ax}$  feszültségét, és a mért értékeket összehasonlítják.

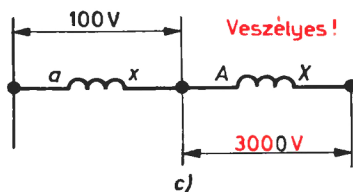
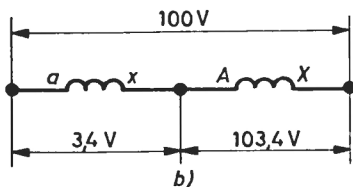
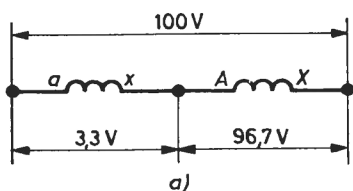
Ha az  $U_{Aa}$  egyenlő az  $U_{Ax}$  és az  $U_{ax}$  különbségével, akkor a tekercsek gombolyítási iránya megegyezik, s a feszültségek a 31d ábrán látható vektordiagrammal ábrázolhatók, pl. ilyen értékek mellett:  $U_{Aa}=40\text{ V}$ ,  $U_{Ax}=100\text{ V}$ ;  $U_{ax}=60\text{ V}$ .

Ha az  $U_{Aa}$  egyenlő az  $U_{AX}$  és  $U_{ax}$  összegével, akkor a tekercselés iránya különböző, pl.  $U_{AX} = 100\text{ V}$ ;  $U_{ax} = 60\text{ V}$ ;  $U_{Aa} = 160\text{ V}$ . A vektordiagram a 31e ábrán látható.

Ügyelni kell arra, hogy mindkét tekercs szabad végein legyen feszültség. ( $A$  és  $a$ , ha  $X$  és  $x$  össze van kapcsolva;  $X$  és  $x$ , ha  $A$  és  $a$  össze van kapcsolva;  $A$  és  $X$ , ha  $a$  és  $x$  össze van kapcsolva;  $a$  és  $x$ , ha  $A$  és  $X$  össze van kapcsolva stb.).

Megengedhetetlen csak az egyik tekercs feszültség alá helyezése, mert ha csak egy tekercsre kapcsolunk feszültséget, fennáll az a veszély, hogy a többi tekercsen nagy értékű feszültség keletkezik. Nézzük meg ezt egy példán! A 32. ábra a feszültségek megoszlását mutatja a transzformátorok tekercsirányainak meghatározásakor. A kisebb feszültségű tekercs 50 menetből, a nagyobb feszültségű 1500 menetből áll.

Ha  $100\text{ V}$  feszültséget vezetünk az egy irányban gombolyított tekercsek szabad kivezetéseire (32a ábra), akkor a fellépő feszültségek hozzávetőlegesen  $3,3$ ;  $96,7$  és  $100\text{ V}$ -tal egyenlők. Ha a gombolyítás



32. ábra. Biztonsági intézkedések a kapcsok kijelölésekor



ellentétes irányú, akkor a feszültségek hozzávetőlegesen 3,4; 103,4 és 100 V értékűek lesznek (32b ábra).

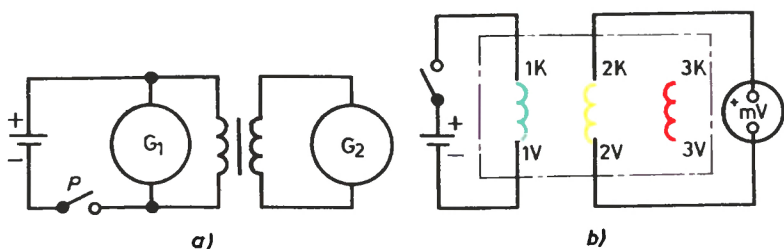
Ha viszont ugyancsak 100 V feszültséget vezetünk a kisebb feszültségű tekercshez (32c ábra), akkor a nagyobb feszültségű tekercs kimenetei között 3000 V-ot kapunk, ami már rendkívül veszélyes.

A 33a ábrán a gombolyítás egymáshoz viszonyított irányának egyenáramú módszerrel való meghatározására alkalmas kapcsolás látható. A nagyobb menetszámú tekercshez (biztonsági okokból) 2...12 V közötti feszültséget vezetnek telepről. A *P* megszakító bekapcsolásakor megfigyelik a *G1* és *G2* galvanométer kimozdulását. Ha a mutatók ugyanazon irányban mozdulnak ki, akkor a tekercsmenetek azonos irányúak. A különböző irányú kimozdulás az eltérő gombolyítási irányra utal.

A villamos motorok tekercskivezetéseinek meghatározására az egyenáramú módszer jól alkalmazható. Első lépésként meg kell határozni, hogy melyik kivezetés melyik tekercshez tartozik. Ezt követően az egyik tekercs kivezetéseit feltételesén *1K*-val (kezdete) és *1V*-vel (vég) jelölik és a *P* kapcsolóval a 2 V feszültséget áramforrással kapcsolják össze, mint azt a 33b ábra mutatja. A másik tekercs kivezetéseire millivoltmérőt (mV) kapcsolnak.

Ha az *1K*-ra feltételezett kezdethez az áramforrás pozitív sarkát kapcsolják, és ha a millivoltmérő mutatója a kapcsoló kikapcsolásakor jobbra lendül ki, akkor az a tekercskivezetés, amelyhez a millivoltmérő „+” kapcsa van kapcsolva, a tekercs kezdete és ez *2K*-val jelölendő.

Há az *1K*-ra feltételezett kezdetre az áramforrás pozitív sarka van kapcsolva, de a galvanométer mutatója a kapcsoló kikapcsolásakor balra lendül ki, akkor az a tekercskivezetés, amelyhez a millivolt-



33. ábra. A tekercselés gombolyítási irányának meghatározása egyenárammal



mérő „+” kapcsa van kapcsolva, a tekercs vége lesz és  $2V$ -vel jelölendő. Ez a 33b ábrán már nem látható.

A második tekercs  $2K$  kezdetének és  $2V$  végének meghatározását követően ugyanezzel a módszerrel határozzák meg a harmadik tekercs  $3K$  kezdetét és  $3V$  végét.

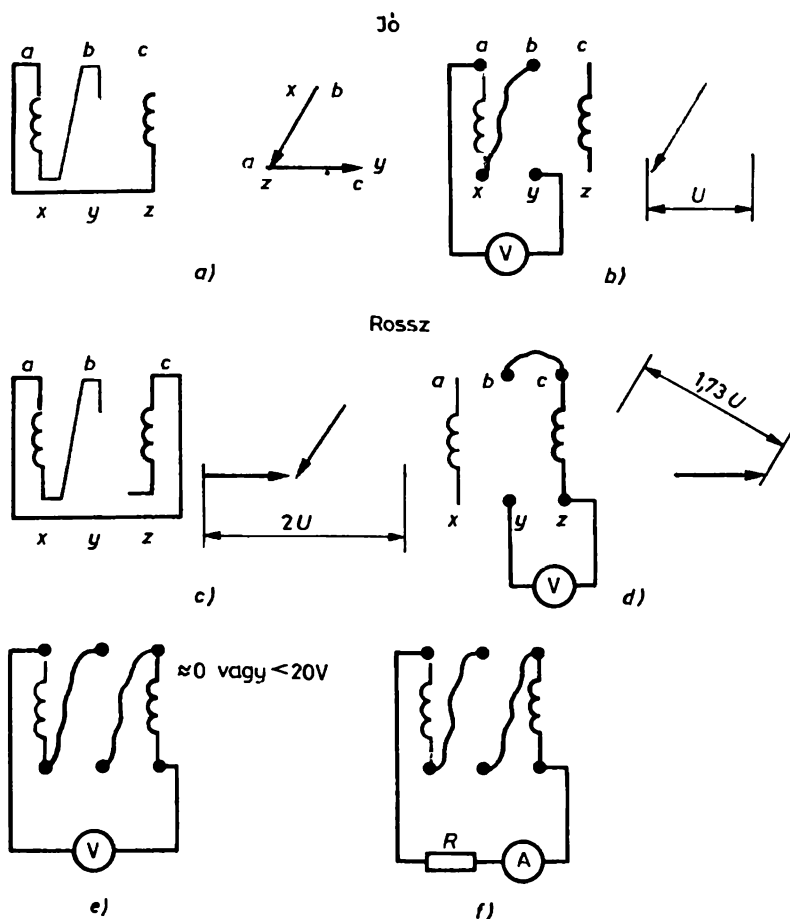
## Kötési hibák

A kapcsolásokban elkövetett kötési hibák (elkötések) miatt háromszöghatározás helyett (34a ábra) más kapcsolást (34c ábra) kapnak. Ennek oka a tekercsek valamelyikének más gombolyítási iránya, vagy egyszerűbben a tekercskezdetek és -végek hibás megállapítása. Addig, amíg a háromszög nyitott, azaz míg az  $y$  és  $z$  pontok nincsenek összekapcsolva, közöttük kétszeres fázisfeszültség,  $2U$  keletkezik. Ha ezeket a pontokat összekapcsoljuk, rövidzárlat keletkezik.

E hiba elkerülése érdekében a különböző tekercsek valamelyik két végét összekötik és megméri a feszültséget a szabad végek között, megtéve a szükséges óvintézkedéseket, pl. a próbát egészen kis feszültséggel végzik. Ha a végeket helyesen választották ki, akkor a voltmérő az  $U$  fázisfeszültséget mutatja (34b ábra). Ha a feszültség 1,73-szor nagyobb a fázisfeszültségnél ( $1,73U$ ) (34d ábra), akkor az egyik tekercs végét fel kell cserélni. Ezt követően a szabad végek egyikehez hozzákötik a harmadik tekercs egyik végét és újból lemérik a szabad végek közötti feszültséget (34e ábra). A helyes érték nulla. Azonban, ha a harmadik tekercs „ki van fordítva” (34c ábra), a voltmérő kétszeres fázisfeszültséget ( $2U$ ) mutat. Ilyenkor meg kell cserélni a harmadik tekercs végét.

Megjegyezzük, hogy a harmadik harmonikusok jelenléte esetén a feszültségmérő más feszültséget (kisebbit, mint a kétszeres fázisfeszültség) is mutathat. Ebben az esetben a tekercsvégeket  $R$  ellenálláson és  $A$  ampermérőn keresztül kell összekötni (34f ábra). Ha a voltmérő által mutatott feszültség a harmadik harmonikusoktól származik, akkor az ampermérő mutatójának kilendülése jelentéktelen. Ez azzal magyarázható, hogy a háromszoros frekvenciájú áramokkal szemben a tekercsek nagy ellenállást képeznek. Ha fel vannak cserélve a tekercsvégek, az ampermérő jelentős kiegyenlítőáramot mutat.

Csillagkapcsolás esetén az egyik tekercs végeinek felcserélése csillag helyett (35a ábra) „legyezőt” („fenyőfát”) hoz létre. Erre példa

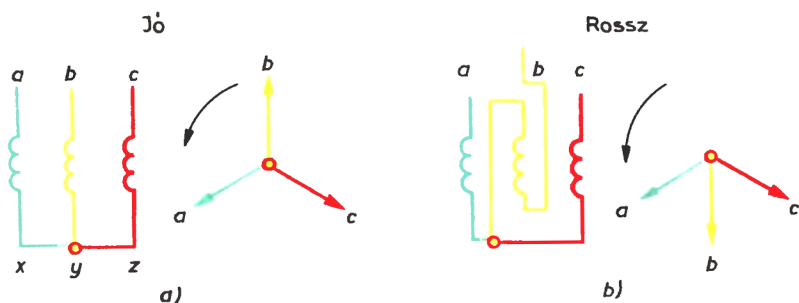


34. ábra. Háromszökapcsolású transzformátortekercsek kötési hibái

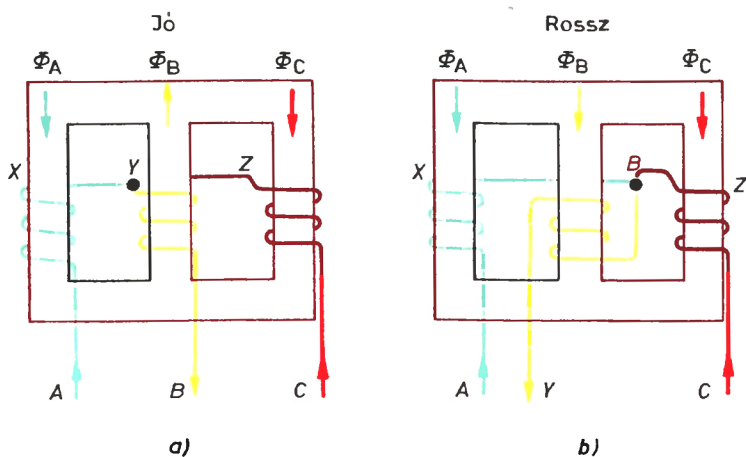
a 35b ábrán látható. Ilyenkor nincs rövidzárlat, de a névlegeshez közeli feszültség csak az  $a$  és  $c$  fázis között marad meg. Az  $a$  és  $b$ , a  $b$  és  $c$  fázisok közötti feszültség jelentősen csökken és hozzávetőlegesen a fázisfeszültséggel lesz egyenlő. A világítási hálózatokban az ilyen kapcsolás azt okozza, hogy az izzók nem kellő fénnel világítanak.

Az ilyen hibás bekötés hatása jóval kedvezőtlenebb a villamos motorokat tápláló hálózatokon, nemcsak az indítónyomaték csök-

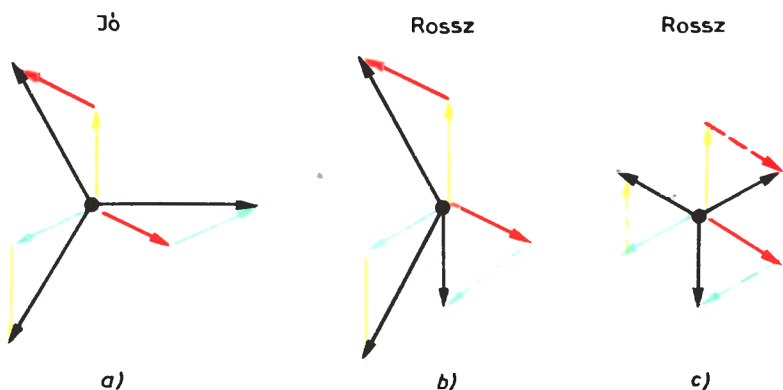
ken (ami a motorok leállításához és leégéséhez vezethet), de megváltozik a forgásirány is. Ennek az az oka, hogy ha a tekercsek helyes bekötésekor a forgó mágneses mező  $a, b, c$  irányú volt (l. a nyilakat a 35a ábrán), akkor „legyezőkapcsolás” esetén a mágneses mező is, és a villamos motor forgórésze is, ellenkező forgásirányú (azaz az  $a, c, b$  fázissorrendű), és a szimmetria megbomlása miatt jelentősen csökken a forgatónyomaték is.



35. ábra. Szekunder oldalon csillagkapcsolású transzformátorok tekercseinek kötési hibái



36. ábra. Háromfázisú oszlop típusú transzformátor primer tekercseinek helyes (a) és helytelen (b) csillagkapcsolása



37. ábra. Helyes (a) és helytelen (b és c) zezzugkapcsolás

A háromfázisú magtranszformátorokban fontos a primer tekercsek helyes bekötése, azaz olyan összekapcsolása, hogy minden időpillanatban az egyik oszlopban a fluxus felfelé, a másik kettőben lefelé irányuljon (36a ábra). Amennyiben az egyik fázist „kifordítják” (helytelenül határozzák meg kezdeteiket és végeiket, vagy a gombolyítás fordított irányú), akkor a  $\Phi_A$ ,  $\Phi_B$  és  $\Phi_C$  fluxusok minden oszlopban azonos irányúak lesznek (36b ábra). Más szóval, ha az egyik fázis fluxusa a többi fázis fluxusaival ellentétes irányú lesz, ezen oszlopok lemágnesezését fogja segíteni, ami a mágnesezőáram növekedéséhez vezet.

A csillagkapcsolásról elmondottak fokozottabban érvényesek a zezzug–csillag kapcsolásra, ugyanis jóval több kimenetet kell összekapcsolni. A tekercsek egyike kezdetének és végének helytelen meghatározásából eredő következményeket szemlélteti a 37b ábra szaggatott vonallal bejelölt része (összevetve a 37a ábra vektordiagramjával). A 37c ábra azt mutatja, hogy a három tekercs kezdeteinek és végeinek helytelen megállapítása miatt  $\sqrt{3}$ -szor kisebb a feszültség értéke a névlegesnél. Ezenkívül a vektorábra  $90^\circ$ -kal el is fordult.

## 5. HATFÁZISÚ CSILLAG- ÉS KETTŐS ZEGZUGKAPCSOLÁS

Annak ellenére, hogy a háromfázisú áramot széles körben alkalmaz-  
zák, a műszaki élet számos fontos területén nélkülözhetetlen az  
egyenáram. Ez vonatkozik pl. a fémkohászati üzemek elektrolízis-be-  
rendezéseire és a villamos vontatásra.

Még viszonylag nem is olyan régen az egyenáramot motorgene-  
rátorokkal állították elő. Az egyenáram előállításának korszerű  
módja a váltakozóáram közvetlen egyenirányítása higanykatódos  
(ezeket mind ritkábban alkalmazzák) vagy félvezetős (szelén, germá-  
nium, szilícium) egyenirányítók segítségével.

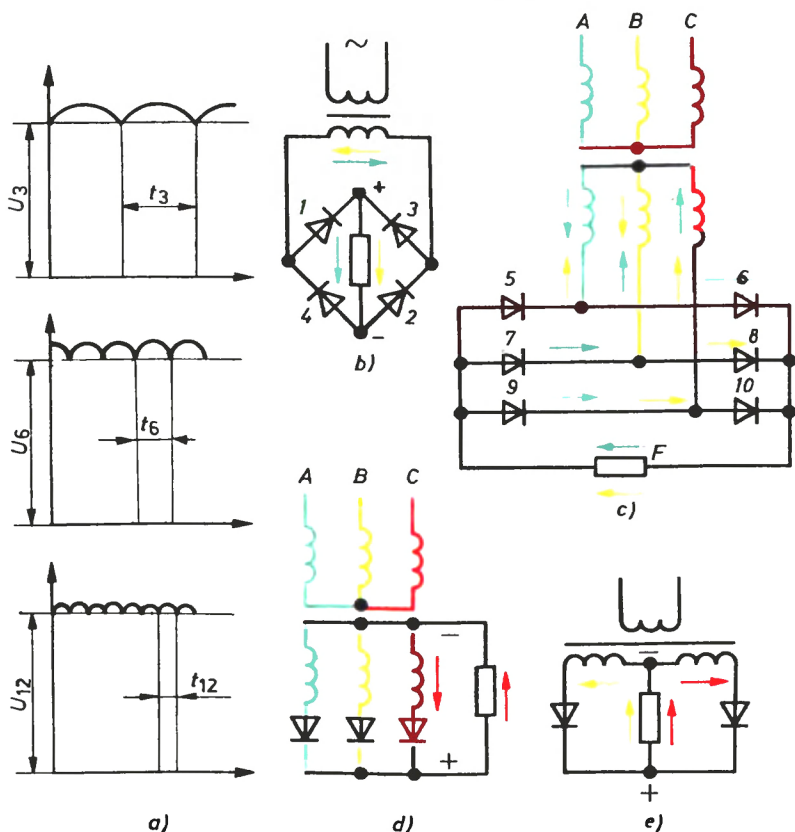
A motorgenerátorokról a közvetlen egyenirányításra való átté-  
résnek a konstrukciós különbségeken kívül (a forgógépet álló készü-  
léekkel cserélték fel) fontos sajátossága van. Ez abban áll, hogy a  
motorgenerátoroknál a váltakozó- és egyenáram áramkörei villamo-  
san szigeteltek egymástól, közvetlen egyenirányításnál pedig kapcsola-  
latban vannak, mivel az egyenirányítót képező „szelepek” és a transz-  
formátor szekunder tekercsei közvetlenül össze vannak kötve. Tel-  
jesen világos, hogy az egyenirányított áram nem szinuszos jellegű;  
ez az áram nemcsak váltakozó, hanem állandó összetevőt is tartal-  
maz, ami egyes egyenirányító-kapcsolásokban nagyon kedvezőtlen  
a transzformátor üzemére.

### Egyenirányító rendszerek

A háromfázisú váltakozóáramot egyenárammá átalakító egyenirá-  
nyító berendezéseket háromfázisú egyenirányítóknak nevezzük, füg-

getlenül a szekunder tekercs fázisszámától. A háromfázisú egyenirányítót tápláló transzformátor primer tekercsét csillagba, háromszögbe vagy zegzugba kapcsolják és háromfázisú hálózatról táplálják. A szekunder tekercs lehet három-, hat-, tizenkét fázisú, ami meghatározza az egyenirányítás rendszerét, amelyek három-, hat-, tizenkettő stb. ütemű rendszerek lehetnek.

A 38a ábrán felülről lefelé ábrázoltuk az egyenirányított feszültségek görbéit háromütemű ( $U_3$ ), hatütemű ( $U_6$ ) és tizenkét ütemű ( $U_{12}$ ) egyenirányítás esetén. Ez az ábra csak a jelenség jellegét mutatja (nem a mennyiségi összefüggéseket), és a következőket szemlélteti:



38. ábra. Egyenirányítási rendszerek általános tulajdonságai

a) legkisebb, tehát a legkedvezőbb lüktetést (hullámosságot) a tizenkét ütemű egyenirányításnál kapjuk ;

b) az anódáram tartama háromütemű egyenirányításnál a leg-hosszabb ( $t_3 > t_6 > t_{12}$ ); ebből a szempontból a háromütemű egyenirányítás a jobb;

c) különböző egyenirányító-rendszereknél az egyenirányított feszültségek középértékei nem egyformák ( $U_{12} > U_6 > U_3$ ).

## Egyenirányítók kapcsolása

Bármelyik egyenirányítási rendszer többféleképpen alakítható ki. A legerjedtebbek a hídkapcsolások (38b és d ábrák) és a középpont-kapcsolások (38c és e ábrák). Összehasonlítva a 38b és e ábrákat, valamint a 38c és d ábrákat, észrevehető, hogy az egyenirányító elemek (szelepek) száma a hídkapcsolásban és a középpont-kapcsolásban nem azonos. A bennünket érdeklő elvi különbség a híd- és a középpont-kapcsolás között az, hogy az elsőnél a transzformátor primer és szekunder tekercsein tiszta váltakozóáram halad át, ami kedvező.

A 38b ábrán világosan látható, hogy egy félperiódus alatt az áram a zöld nyilak irányában folyik az 1 és 2 egyenirányítókön keresztül. A másik félperiódusban az áram iránya a 3 és 4 egyenirányítón keresztül piros nyíllal van jelölve. A háromfázisú kapcsolásban a 38c ábrán az A fázis pozitív félperiódusában az áram a 6, 7 és 9 egyenirányítókön keresztül halad át (zöld nyilak). Az A fázis negatív félperiódusában az áram irányát a sárga nyilak mutatják. Figyelmet érdemel a sárga és zöld nyilak ellentétes iránya a transzformátor szekunder tekercseiben. A többi fázisra is hasonló módon készíthető el a levezetés, ill. szerkesztés.

A középpont-kapcsolásokban a transzformátor szekunder tekercsein felváltva folyó áram egyenáramú előmágnesezést okoz. Ez kedvezőtlen, ugyanis erősen megnöveli az indukciót a transzformátor vasmagjában, egészen annak telítődéséig, ami megnöveli a mágnesezőáramot, megbontja a transzformátor mágneses egyensúlyát, és felharmonikusokat hoz létre. A háromfázisú kapcsolásokban a szekunder tekercselés helyes megválasztásával az előmágnesezés elkerülhető.

A transzformátor háromfázisú kapcsolásaira a következők jellemzők:

a) a primer tekercs háromszögkapcsolásakor és a szekunder tekercs csillagkapcsolásakor előmágnesezés lép fel;

b) a primer és szekunder tekercsek csillagkapcsolásakor szintén fellépő előmágnesezési fluxus egyirányú, de lüktető, ha a létrehozó áram időben változó;

c) ha a szekunder vagy a primer tekercs zegzugkapcsolású, akkor az előmágnesezés elkerülhető (l. a 23. és 24. ábrákhoz fűzött magyarázatokat).

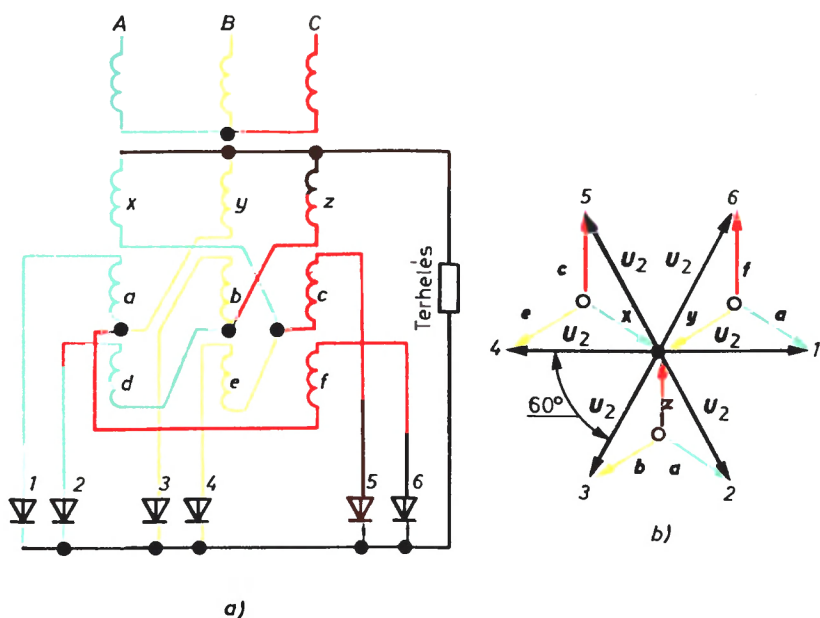
A primer tekercs csillagkapcsolásakor, a szekunder tekercs hatfázisú csillagkapcsolásakor a fluxus minden  $1/6$  periódusban változtatja irányát. A fluxus valamennyi oszlopban felfelé irányul (a levegőben pedig lefelé, ugyanis az egyirányú fluxusok nem tudnak a járomban záródni), és  $1/6$  periódusonként változtatja irányát, áthaladva minden oszlopon lefelé, a levegőben pedig felfelé. Az előmágnesezési fluxus a táphálózat frekvenciájának háromszorosa és ezt egyfázisú előmágnesezési fluxusnak nevezzük.

A hatütemű egyenirányítás a transzformátor szekunder tekercsének kettős zegzugkapcsolásakor azon alapszik, hogy zegzugkapcsoláskor előmágnesezési fluxus nem keletkezik. Az áram egyidejűleg a szekunder tekercs két különböző oszlopon elhelyezett, két tekercsrészen keresztülhalad. Ezek az áramok ellentétes gerjesztésűek. Ennek következtében a mágneses tér minden oszlopban kiegyenlített.

A transzformátor minden oszlopán megtalálható a primer tekercs  $A$  ( $B$ ,  $C$ ), és a különböző fázisokhoz tartozó szekunder tekercsek három tekercsrésze  $x$ ,  $a$ ,  $d$  ( $y$ ,  $b$ ,  $e$ ;  $z$ ,  $c$ ,  $f$ ). Az  $x$ ,  $y$ ,  $z$  tekercsek képezik a belső csillagot, amelynek kivezetése az egyenirányító negatív pólusa. A belső csillag szabad végeihez kapcsolják az  $a$ ,  $b$ ,  $c$ ,  $d$ ,  $e$ ,  $f$  tekercsrészeket, amelyek kivezetései az  $1...6$  egyenirányítókat táplálják. Az egyenirányítók csatlakozásának közös pontja az egyenirányító pozitív pólusa.

A 39a ábrán levő kapcsoláshoz a szekunder tekercsek feszültségeinek vektordiagramja a 39b ábrán látható, amelyből kitűnik az  $1, 2, \dots, 6$  egyenirányítók működési sorrendje, a szekunder tekercs  $U_2$  feszültségének értéke (a különböző fázisokhoz tartozó tekercsrészek feszültségeinek geometriai különbsége), továbbá, hogy minden egyenirányító működési időtartama  $60^\circ$ .





39. ábra. Hatfázisú egyenirányító csillag–kettős zezugkapcsolású transzformátorral

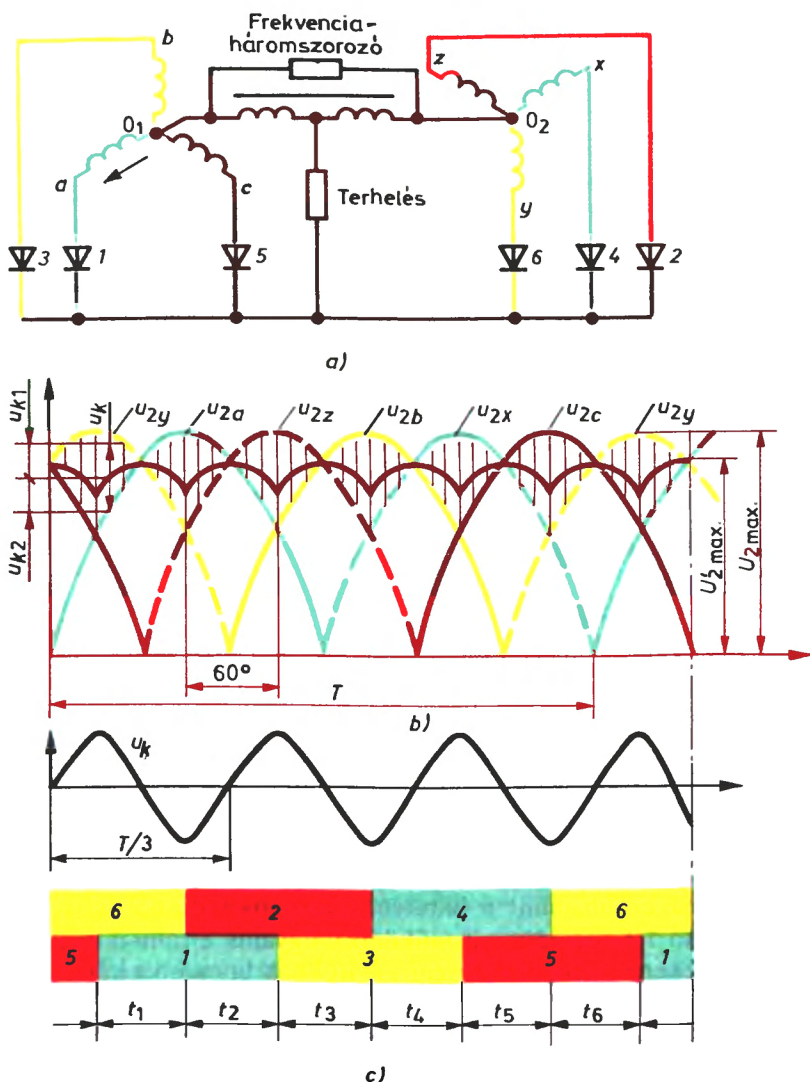
A szívó-fojtótekerceses hatütemű egyenirányítós kapcsolás széles körben elterjedt, a következő pozitív tulajdonságai miatt:

1. Az egyenirányított feszültség lüktetése a hatütemű egyenirányításnak felel meg. Ez jóval kedvezőbb, mint a háromütemű egyenirányításnál, ugyanis a hullámossága kisebb, mint a 38a ábrán látható.

2. Az egyenirányítók működési időtartama  $1/3$  periódus. (Az itt megadott  $[1/3, 1/6$  periódus stb.] értékek idealizált képnek felelnek meg.) Ez kedvezőbb, mint a hatütemű egyenirányításnál (ahol az egyenirányító  $1/6$  periódusnyit működik), ugyanis a transzformátor szekunder tekercseinek és az egyenirányítóknak így jobb a kihasználása.

3. A szívó-fojtótekerceses hatütemű egyenirányítós kapcsolásban a transzformátor egyes szekunder tekercsein, valamint az egyenirányítókön mindössze 50%-a folyik annak az áramnak, ami a csillag-,

kettős zezugkapcsolásban (39. ábra) tapasztalható. Ugyanis a szívó-fojtótekerces kialakítás esetén (40. ábra) egymással párhuzamosan két egyenirányító működik, s nem egy.



40. ábra. Hatfázisú egyenirányítás

4. Nem lép fel egyfázisú előmágnesezési áram, mivel az egyenirányított áram a különböző csoportokba tartozó szekunder tekercsek két fázisán folyik. Az ábrán látható, hogy az egyik tekercscsoport kezdetei, és a másik tekercscsoport végei vannak csillagba kapcsolva. Ezt az eredményezi, hogy az ugyanazon fázishoz tartozó szekunder tekercsekben folyó áramok ellenkező irányúak.

A transzformátor és az egyenirányítók kapcsolását a 40a ábra mutatja. A 40a ábrán nem látható primer tekercsek csillagba (háromszögbe) vannak kapcsolva. A hat szekunder tekercs – oszloponként párosával – két csoportot képez. Közülük az egyik csoportnál az  $O_1$  csillagpontban kapcsolják össze a végeket, az  $a$ ,  $b$  és  $c$  kezdeteket pedig kivezetik az 1, 3 és 5 egyenirányítók csatlakoztatásához. A másik csoportban az  $O_2$  csillagpontban kapcsolják össze a kezdeteket és az  $x$ ,  $y$  és  $z$  végekhez csatlakoztatják a 2, 4 és 6 egyenirányítókat. Az  $O_1$  és  $O_2$  csillagpontok közé kapcsolják az  $SF$  kiegyenlítő fojtót, amelynek középpontja az egyenirányító negatív pólusa. A szívó-fojtó két részét szembekapcsolják, és kétoszlopos vasmagon helyezik el. Az egyenirányító berendezés pozitív pólusa az a közös pont, amelyhez az 1, 3 és 5 (páratlan csoport) és a 2, 4 és 6 (páros csoport) egyenirányítókat kapcsolják.

A 40b ábrán folyamatos vonallal jelöltük a szekunder tekercsek páratlan csillagának  $U_{2a}$ ,  $U_{2b}$  és  $U_{2c}$  fázisfeszültségeit; a szaggatott vonal a páros csillag  $U_{2x}$ ,  $U_{2y}$  és  $U_{2z}$  fázisfeszültségeit jelöli. Az egyenirányított feszültség görbéje vastag vonallal van kiemelve. Ez hatperiódusonkénti ismétlődésű szinuszgörbe-szakaszokból (felső részeiből) áll, és a 40d ábrán látható üzemmódnak felel meg. Ebből látható, hogy a folyamat vizsgálatának kezdetén párhuzamosan működik az 5 és 6 egyenirányító. Ezt követően a  $t_1$  idő alatt párhuzamosan működik a 6 és 1 egyenirányító. A  $t_2$  idő alatt az 1 egyenirányító folytatja működését, de a 6 helyett belép a 2 egyenirányító. Ezt követően működik a 2 és 3 ( $t_3$ ), majd a 3 és 4 ( $t_4$ ) és végül a 4 és 5 ( $t_5$ ). Ezután minden ugyanabban a sorrendben ismétlődik. Egyszerűen minden pillanatban egymással párhuzamosan két egyenirányító működik, ehhez pedig nemcsak megfelelő kapcsolásuk szükséges, hanem az is, hogy a pillanatnyi feszültségek a párhuzamosan működő egyenirányítók körében kiegyenlítődjenek. Ezt szolgálja a szívó-fojtótekercs. Vizsgáljuk meg működését!

Tételezzük fel, hogy párhuzamosan működik a 6 és 1 egyenirányító. Az  $U_{2y}$  és  $U_{2a}$  fázisfeszültségek pillanatnyi értékkülönbségét a

fügőleges  $U_k$  vonalakkal (ordinátákkal) határozzuk meg (40b ábra) az  $SF$  szívó-fojtótekercs két sorbakapcsolt részében.

A szívó-fojtótekercs egyes részei egyformák. Ezért az  $U_{k1} = U_{k2} = 1/2 U_k$  feszültségek abszolút értéke egyenlő, de a fojtó középső kivezetéséhez viszonyítva különböző előjelű. Következésképpen (példánkban) az  $U'_{k2}$  feszültséget hozzá kell adni az  $U_{2v}$  fázisfeszültséghez (1 egyenirányító), és ki kell vonni az  $U_{2y}$  fázisfeszültségből (6 egyenirányító). Végül is a feszültségek kiegyenlítődnek, ami biztosítja a két egyenirányító párhuzamos működését. A feszültségváltozás jellegét a szívó-fojtóban a 40c ábra mutatja. Összehasonlítva ezt a 40b ábrával, könnyen belátható, hogy a szívó-fojtó frekvenciája háromszorosa a táphálózat frekvenciájának (hasonlítsuk össze a  $T/3$  és  $T$  periódus időtartamát!).

A szívó-fojtótekercs működtetéséhez szükséges, hogy annak vasmagja mágnesezett állapotban legyen, ehhez pedig elegendő, hogy az egyik részen átfolyó áram elérje az egyik szekunder kör terhelési áramának mintegy 1%-át. A terhelőáram mindig átfolyik a szívó-fojtótekercsen, ami jól látható a 40a ábrából. Ha a terhelés kisebb 1%-nál, akkor a szívó-fojtó nem működik. Ebben az esetben az egyenirányító hatütemű egyenirányítóként működik, a feszültség pedig az  $U'_{2\max}$  helyett 13...15%-kal megnövekszik és eléri az  $U_{2\max}$  értéket.

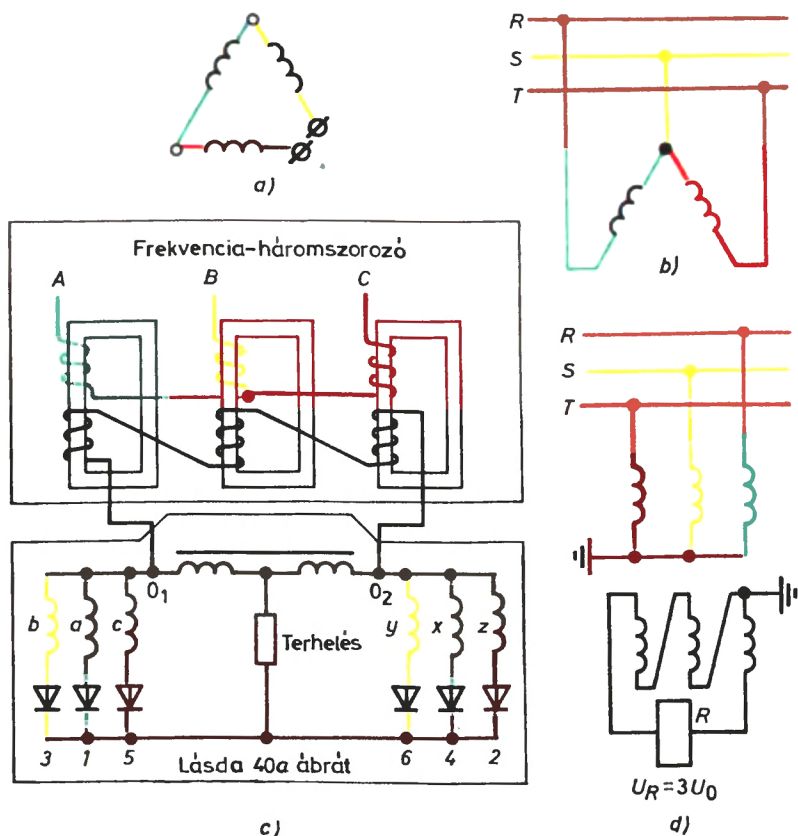
A feszültség ilyen megnövekedése korántsem mindig megengedett. Gondoljunk pl. arra, hogy éjszaka a villamos- és trolibuszvonalak nincsenek leterhelve, de a kocsik világítása működik, az izzólámpáknál a feszültségnövekedés jelentősen lecsökkenti azok élettartamát. Ezért vagy simító-fojtótekercset iktatnak a közös egyenáramú ágba (de az nem előnyös jelentős terheléseknél), vagy háromszoros frekvenciájú árammal mesterségesen felmágnesezik a szívó-fojtótekercset. Ilyen céllal a szívó-fojtóhoz kapcsolják a frekvencia-háromszorozó szekunder tekercsét.

## 6. NYITOTT HÁROMSZÖGKAPCSOLÁS. V-KAPCSOLÁS

Meg kell különböztetni a nyitott háromszögekapsolást (41a ábra) és a V-kapcsolást (41b ábra). Vizsgáljuk meg ezeket néhány tipikus alkalmazási példán!

A nyitott háromszögekapsolást pl. egyenirányító berendezésekben alkalmazzák háromszoros frekvenciájú áram előállítására a ki-egyenlítő fojtó felmágnesezéséhez (40a ábra). E célból frekvencia-háromszorozót használnak, amely három egyfázisú transzformátorból áll erősen telített mágneses vezetőkkel. A frekvencia-háromszorozó primer tekercsei szigetelt csillagpontú csillagba vannak kapcsolva, szekunder tekercsei pedig nyitott háromszögbe (41c ábra). A vasmagok erős telítődése, kis mágneses ellenállásuk, a primer tekercs csillagpontjának áthatolhatatlansága a harmadik harmonikusok számára együttesen azt eredményezik, hogy a szekunder tekercsekben háromszoros frekvenciájú feszültségek keletkeznek, amelyek időben minden fázisban egybeesnek. A frekvencia-háromszorozó szekunder tekercseit lezáró  $SF$  szívó-fojtótekercsen keresztül háromszoros frekvenciájú áram folyik, s adott esetben erre van szükség.

Vegyünk egy másik példát, de most más területről. A 41d ábra egy zérus sorrendű feszültséget kiszűrő kapcsolást mutat, amely a szigetelt csillagpontú hálózatokban földzárlat helyének meghatározására használható. A primer tekercsek csillagba vannak kapcsolva, a csillagpont földelése ez esetben kötelező. Ebben az esetben minden fázis primer tekercse fázisfeszültségre van kapcsolva a földhöz képest. A nyitott háromszögbe kapcsolt szekunder tekercsek a  $P$  relét táplálják.



41. ábra. Kapcsolási példák: nyitott háromszög (a) és V-kapcsolás (b) közötti frekvencia-háromszorozó (c), zérus sorrendű feszültségű szűrő (d).

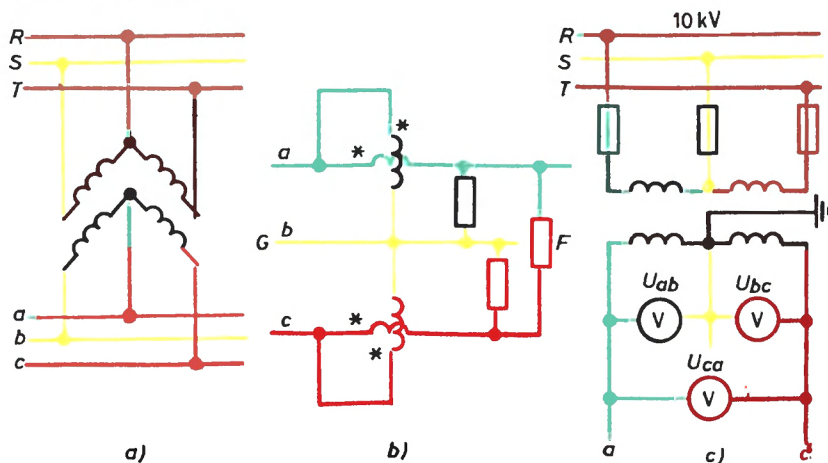
Normális körülmények között, valamint rövidzárlat esetén a fázisfeszültségek geometriai összege nullával egyenlő, tehát adott esetben a relé tekercsén feszültség nincs, és így a relé nyugalomban marad. Földzárlat esetén azonban a feszültségekben megjelenik a zérus sorrendű feszültségösszetevő ( $U_0$ ). A relé működésbe lép és elvégzi a megadott műveleteket (bekapcsolja a jelzést, lekapcsolja a földzárlatos szakaszt, bekapcsolja a tartalék üzemet stb.).

Ügyelni kell a következőkre. A primer tekercs csillagpontjának földelése (41d ábra) a működés elengedhetetlen feltétele. A szekunder tekercs földelése a biztonság érdekében szükséges (1. a 2. fejezetet). Harmadik harmonikus áramok a szekunder tekercsekben nem keletkeznek, mivel a feszültégváltók vasmagjai a kis indukció miatt meszsze vannak a telítődéstől.

A V-kapcsolást ritkán alkalmazzák az erősáramú villamos be- rendezésekben, de a mérő-, regisztráló- és a bonyolult védőrelés áramkörökben mégis gyakori.

A 42a ábrán V-kapcsolásba kötött két egyfázisú erőátviteli transzformátor látható. Ez ugyanolyan, mintha három egyfázisú csoportból egy transzformátort egyszerűen kikapcsolnának, de minden kivezetése mind a primer, mind a szekunder oldalon megmaradna. Az ilyen kapcsolás sajátosságai a következők:

1. Az *ab* és *ac* fázisokban olyan áramok vannak, amelyek hatásos terhelés esetén a megfelelő fázisfeszültségekhez viszonyítva 30°-kal el vannak tolva, tehát minden transzformátor hatásos terhelés esetén  $\cos \varphi = 0,866$  (nem pedig  $\cos \varphi = 1$ ) értéken üzemel. A V-kapcsolású transzformátor leadott teljesítménye nem 2/3-a, hanem csak 58%-a (a 86,6% 2/3-a) annak a teljesítménynek, amely zárt háromszöghkapcsolás esetén lenne.



42. ábra. Példák a V-kapcsolás alkalmazására.  
A csillagok a tekercsek kezdetét jelölik

2. A fázisok különböző rezisztenciái megbontják a terhelés alatti szimmetriát.

Egy másik példa (42b ábra) mutatja két háromfázisú fogyasztásmérő feszültségtekercseinek V-kapcsolását háromfázisú háromvezetős hálózatokhoz (Aron-kapcsolás). Az áramtekercseket az  $a$  és  $c$  fázisba kapcsolták. A feszültségtekercsekre az  $ab$  és  $bc$  fázisok közötti feszültségeket kapcsolják, a  $G$  és  $F$  betűk értelemszerűen a generátort és a fogyasztót jelentik. Csillaggal jelöltük a tekercsek kezdeteit.

A harmadik példán (42c ábra) két egyfázisú feszültségváltó V-kapcsolása látható. Ilyen kapcsolást alkalmaznak a nagyfeszültségű villamos berendezésekben, ha csak az  $U_{RS}$ ,  $U_{SF}$ ,  $U_{FR}$  vonali feszültségek ellenőrzése szükséges.  $U_{RS} = kU_{ab}$ ;  $U_{SF} = kU_{bc}$ ;  $U_{FR} = kU_{ca}$ , ahol  $k$ , a feszültségváltó áttétele, példánkban  $10\,000 : 100 = 100$ . A voltmérők skáláján az értékeket kV-ban tüntetik fel. A feszültségváltók szekunder tekercseit biztonsági okokból földelik.



## 7. PÉLDÁK

### MÉRŐTRANSZFORMÁTOROK KAPCSOLÁSÁRA

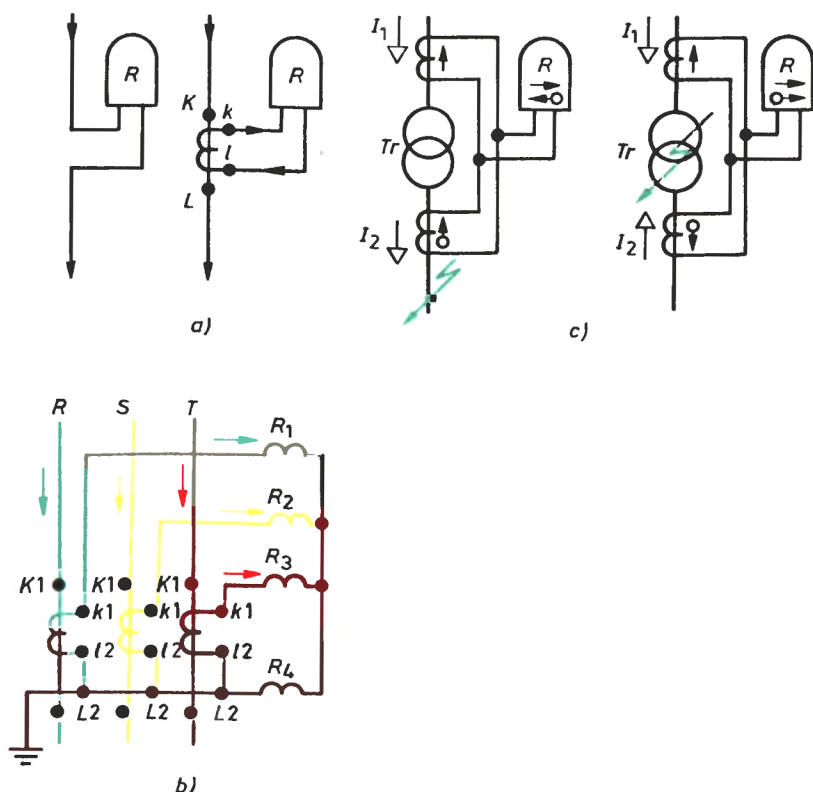
A villamos berendezésekben széles körben alkalmazzák az áram- és feszültségváltókat (mérőváltókat, mérőtranszformátorokat).

A nagyfeszültségű berendezésekben a mérőtranszformátoroknak kettős szerepük van. Elsősorban: ezek szigetelik el a relék, fogyasztásmérők és műszerek áramkörét a nagyfeszültségtől. A biztonság érdekében a szekunder tekercs egyik kivezetését földelik. Másodsorban az áramváltók az áramot, a feszültségváltók pedig a feszültséget csökkentik olyan értékig, amelyeken már egyszerű a műszerek használata és kapcsolása. Az áramváltók szekunder tekercsének névleges áramerőssége vagy 5, vagy 1 A. A feszültségváltók névleges szekunder feszültsége 100 V.

Az áramváltók kivezetéseinek jelölési rendszerét a 43a ábra magyarázza meg. Ezen bal oldalon az  $R$  relé közvetlen bekötése látható valamilyen időpillanatban. A nyíl az áram irányát mutatja. Jobb oldalon a relét az áramváltón át kötöttük be. Az áramváltó primer tekercsének (vonal) kivezetéseit  $K$  (kezdet) és  $L$  (vége) jelekkel jelölik. A szekunder tekercsek kivezetéseit  $k$  (kezdet) és  $l$  (vége) jelekkel jelöltük. Összehasonlítva az  $a$ ) ábra bal és jobb részét, könnyen észrevehető, hogy az áram iránya a relében mindkét esetben azonos.

#### A feszültségváltók kivezetéseinek jelölése

A tekercsek kezdeteit  $A, B, C, a, b, c$ , végeit pedig  $X, Y, Z, x, y, z$  betűkkel jelöljük, ugyanúgy, mint az erőátviteli transzformátorokét (4. táblázat).



43. ábra. Az áramváltók kapocsjelölései

A mérőtranszformátorok (mérőváltók) a körülményektől függően csillagba, V-kapcsolásba, háromszögbe, nyitott háromszögbe kapcsolhatók. A mérőtranszformátorokról táplált relék, fogyasztásmérők és mérőműszerek egymással és a mérőtranszformátorokkal különböző módon kapcsolhatók össze. Szükség esetén csillaggal jelölik meg a tekercsek kezdeteit (l. a 44. ábrán levő példát). A 43h ábrán a három áramváltó és az R1, R2 és R3 relék csillagba vannak kapcsolva. Az R4 relé a nullavezetőbe van kötve.

Normál üzemmódban, valamint háromfázisú rövidzárlat esetén áram csak az R1, R2, R3 reléken folyik, az R4 relében nem, ugyanis

az  $R_1$ ,  $R_2$ ,  $R_3$  reléken átfolyó áramok vektoriális összege nullával egyenlő.

Kétfázisú rövidzárlat esetén az áram a két hibás fázisban (pl.  $R$  és  $T$ ) folyik, és működésbe lép az  $R_1$  és  $R_3$  relé. Az  $R_4$  relében a két fázis áramainak összege folyik, amelyek adott esetben egyenlők, de ellentétes irányúak, ezért az  $R_4$  relé nem működik.

Egyfázisú rövidzárlat esetén (pl. az  $S$  fázis földzárlatakor) működésbe lép a hibás fázis  $R_2$  reléje és az  $R_4$  relé, így a csillag nullavezetője a zérus sorrendű áram szűrőjének tekinthető. A pozitív és negatív sorrendű áramok rajta keresztül nem haladnak, ugyanis összegük nullát ad.

A  $T$  transzformátor különbözteti védelmének működési elvét a 43c ábra magyarázza. Bal oldalon ábrázoltuk az áramirányt névleges

4. táblázat. A feszültségváltók kapcsoljelölése  
(az MSZ 1577/1–67 szerint)

Fázis- szám	Primer kivezetés szigetelése	Primer tekercs		Szekunder te- kercs		Földzárlat- jelző tekercs	
		eleje	vége	eleje	vége	eleje	vége
Egyfázisú	kétsarkúlag szigetelt	$A$	$B$	$a$	$b$		
	egysarkúlag szigetelt	$A$	$N$	$a$	$n$		
Háromfázi- sú	kivezetett pri- mer csillag- pont nélkül	$A, B, C$		$a, b, c$			
	csökkentett szigeteléssel, kivezetett pri- mer csillag- ponttal	$A, B, C$	$N$	$a, b, c$	$n$	$e$	$f$

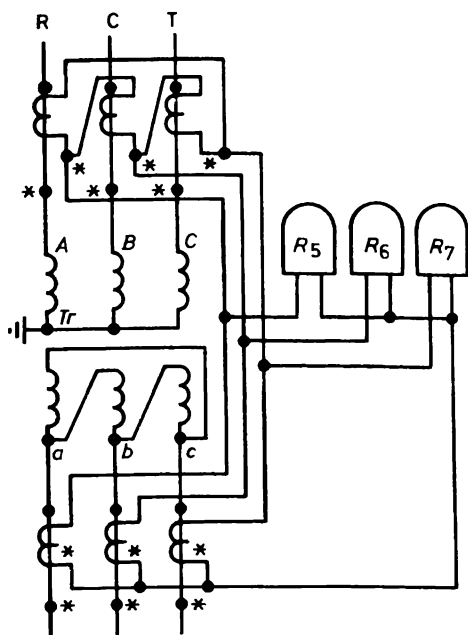
Megjegyzések:

- Ha a háromfázisú feszültségváltó mindhárom fázisának eleje és vége is ki van vezetve, akkor a tekercsvégeket  $X$ ,  $Y$ ,  $Z$ , ill.  $x$ ,  $y$ ,  $z$  jelzéssel kell ellátni.
- Az  $N$  jelű, földelendő kapcsol a földelés jelével is el kell látni.

terhelés és külső rövidzárlat esetén ( $I_1$  és  $I_2$  az erőátviteli kör áramai). Nem nehéz belátni, hogy az áram az  $R$  relében közel van a nullához, ugyanis az áramváltó szekunder áramai (l. a nyilat) a relén keresztül egymással szemben haladnak. Természetesen az áramváltók áttételét megfelelő értékre kell választani. Transzformátoron belüli rövidzárlat (43c ábra jobb oldala) vagy kapocszárlat esetén az áram iránya megváltozik, az áramok értéke a relében összegződik, majd a relé működésbe lép.

A 44. ábra pelda a csillag–háromszög kapcsolású transzformátor különbozeti vedelmének kialakítására, azaz amikor a primer és szekunder áramok egymáshoz viszonyítva  $30^\circ$ -kal eltolódtak.

Ilyen esetekben a primer és szekunder áramok abszolút értékében meglevő eltérések kiegyenlítésén kívül (az áramváltók áttételének megválasztása révén) még ki kell egyenlíteni a fáziseltolást is. A fáziseltolás úgy egyenlíthető ki, hogy az erőátviteli transzformátor csillagkapcsolási oldalán levő áramváltót háromszögbe kapcsolják, a háromszöghozkapcsolású oldalon levő áramváltót pedig csillagba.



44. ábra. Áramváltók kapcsoljelölése háromfázisú rendszerben

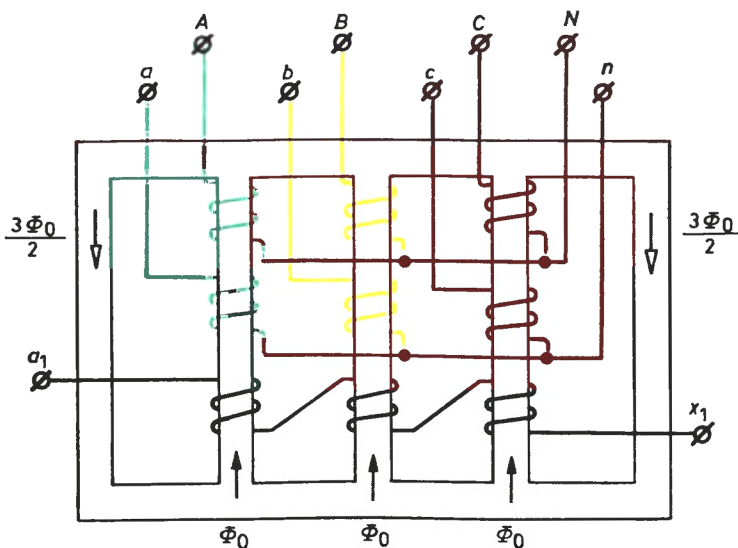
Ilyenkor fontos a következő szabályok betartása:

1. Az áramváltók kapcsolása pontosan feleljen meg az erőátviteli transzformátorok kapcsolási csoportjának.

2. Az áramváltókat és az  $R5$ ,  $R6$  és  $R7$  relét úgy kell egymással összekapcsolni, hogy külső rövidzárlat esetén a szekunder áramok iránya az összekötő vezetőkben azonos, a relékben pedig ellentétes legyen.

A feszültségváltókat csillagba szokták kapcsolni kivezetett csillagponttal, ami lehetővé teszi mind a vonali, mind a fázisfeszültségek mérését. A vonali feszültségek méréséhez a voltmérőket az  $R$  és  $S$ ,  $S$  és  $T$ ,  $T$  és  $R$  kapcsokra kapcsolják. A fázisfeszültségek méréséhez a voltmérőket a vonal (fázis-) és nullavezető közé kapcsolják ( $R-N$ ,  $S-N$ ,  $T-N$ ).

Ha csak az egyes vonali feszültségek mérése is elegendő, akkor a V-kapcsolást alkalmazzák (42c ábra). Szigetelt csillagpontú hálózatokban a földzárlat kimutatására a feszültségváltók szekunder tekercseit háromszögbe kapcsolják (41d ábra).



45. ábra. Ötoszlopos feszültségváltó

*Ötoszlopos feszültségváltó.* A háromfázisú feszültségváltókat (45. ábra) általában ötoszlopos kivitelben készítik. A szélső (tekercs nélküli) oszlopok célja, hogy rajtuk keresztül záródjanak a zérus sorrendű mágneses fluxusok. Ezek a  $\Phi_0$  fluxusok a középső oszlopokban azonos irányúak és összegük  $3\Phi_0$ .

A transzformátornak három tekercscsoportja van. A primer tekercsek kimenetei  $A, B, C$  és  $N$ . A szekunder tekercseké  $a, b, c, n$ , céljuk a fázis- és vonali feszültségek mérése. A járulékos tekercsekett nyitott háromszögbe kapcsolják. Ezek  $a_1$  és  $x_1$  kimenetein feszültség csak földzárlat esetén keletkezik (l. a 41d ábra magyarázatát).

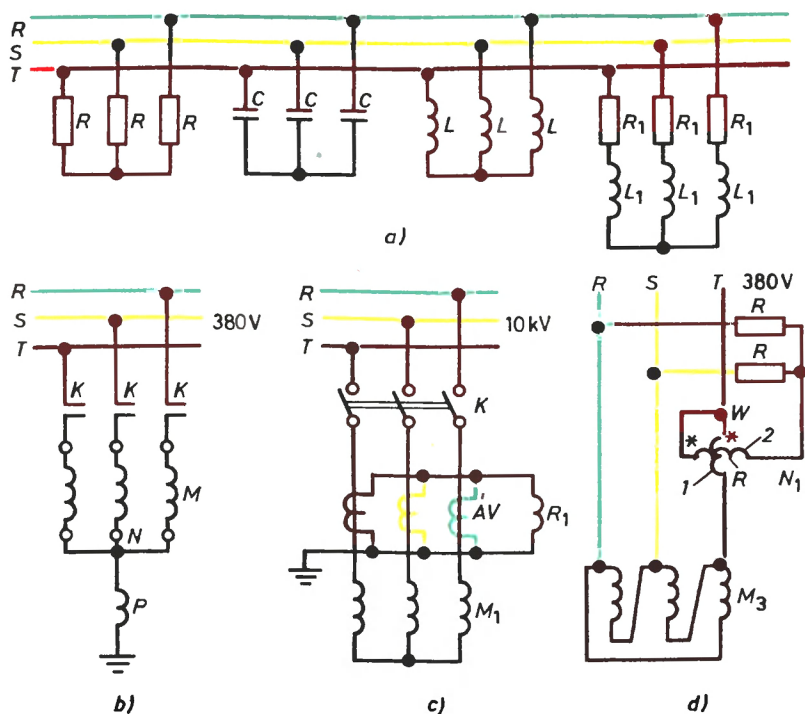
## 8. MESTERSÉGES NULLAPONT

A háromvezetős háromfázisú hálózatokban nincs nullavezető, ezért gyakran szükséges mesterséges nullapont létrehozása, amely három azonos impedancia csillagkapcsolásával alakítható ki. Ez lehet: három hatásos ellenállás ( $R$ ), pl. három azonos teljesítményű izzólámpa, vagy lehet kondenzátor ( $C$ ), vagy induktív reaktancia ( $L$ ) (46a ábra) stb. Vizsgáljunk meg néhány tipikus esetet!

A 46b ábrán levő  $M$  villamos motor tekercseinek hat kivezetése van, ezért csillagkapcsolás esetén könnyen nyerhetünk csillagpontot ( $N$ ). A csillagpont és a föld közé az  $R$  relé van kapcsolva. Addig, amíg minden fázis üzemben van, a relé tekercsén a feszültség közel nulla, ugyanis a föld és az  $N$  pont potenciálja gyakorlatilag azonosak. Ha egy vagy két fázis áramköre megsérül, akkor az  $R$  relé működésbe lép és kikapcsolja a  $K$  érintkezőt.

A 46b ábrán látható kapcsolás nem alkalmazható a nagyfeszültségű villamos motorokhoz. Ilyen esetekben használják a mérőtranszformátorok szekunder tekercseiben létrehozott mesterséges nullapontot. Így pl. a 46c ábrán az  $R1$  relét három  $TT$  áramváltó csillagpontjába kapcsolták. Az  $M1$  motor egy vagy két fázisának megsérülésekor az  $R1$  relé működik és kikapcsolja a  $K$  kapcsolót.

A 46d ábra a háromszögbe kapcsolt  $M3$  háromfázisú motor teljesítménymérését ábrázolja. Az egyfázisú  $W$  wattmérő  $I$  áramtekercsét az (általa mutatott értékét 3-mal meg kell szorozni, ugyanis csak egy fázis teljesítményét méri) a  $T$  fázisba kapcsolták. A 2 feszültségtekercs kezdetét ugyanehhez a fázishoz kapcsolták, a végét pedig az  $N_1$  mesterséges nullaponthoz; ezt a pontot a 2 tekercs és a két vele egyenértékű  $R$  ellenállás alkotja.



46. ábra. Mesterséges csillagpont a mérő- és védőáramkörökben

Adott esetben ellenállások azért alkalmazhatók, mivel a wattmérő (nem számláló!) tekercsének induktív reaktanciája nem számottevő és vele sorosan egy egészen jelentős rezisztenciájú ellenállás van kapcsolva. A számláló nagy induktivitású tekercsét teljes hálózati feszültségre kapcsolják, tehát a számláló bekapcsolásakor nem lehet hatásos ellenállást használni a nullapont képzéséhez, a 17. és 18. ábrák tárgyalásakor már említett okok miatt.



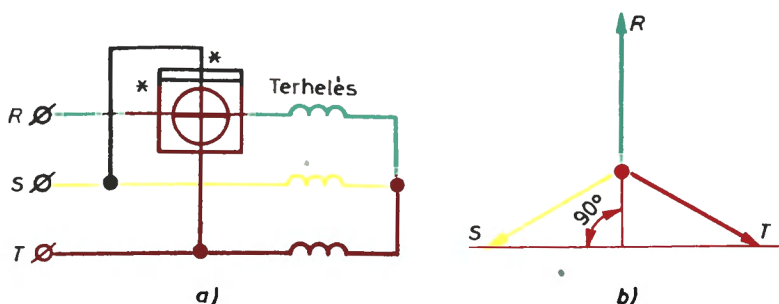
## 9. A FÁZISHELYZET MEGVÁLTOZTATÁSA A TEKERCSEKBEN

Egy sor gyakorlati feladat megoldásához meghatározott fáziseltolás előállítására van szükség, amelynek nemcsak értéke, de esetleg az iránya is adott. Ilyen példákkal már találkoztunk a transzformátorok kapcsolási csoportjainak meghatározásakor.

*30° és 60° eltolás.* A tekercsek csillag- és háromszöghelyeskapcsolása-kor 30° többszörösét kitevő eltolásokat nyerünk. Attól függően, hogy a tekercseket a végükkel vagy a kezdetükkel, valamint hogy milyen irányban (*R* fázistól *S* fázisig vagy fordítva) kötjük össze, az eltolás iránya is megváltozik.

Zegzug–csillag helyeskapcsolásban az egyik szakasz végét összekapcsolják a másik szakasz végével és a szög 30°-kal megváltozik. Ha viszont a véget nem a véggel kapcsolják össze, hanem a véget a kezdettel, akkor a vektorok 60°-os szöggel fordulnak el (l. a 37. ábrát). Más szóval a tekercsek átkötésével könnyen nyerhetünk 30° és 60° szögű eltolódást.

Ilyenkor figyelemmel kell lenni a következőkre. Először: a tekercsek átkötésekor nemcsak a szög változhat (amire szükség van), de a feszültség is (l. a 37c ábrát). Másodszor: a tekercsek szembekapcsolása (mint határeset) vagy a köztük levő szög megváltozása csökkentheti az induktív reaktanciát, ez pedig az áram növekedését idézi elő. Az áram növekedése veszélyes a tekercsekre, ezenkívül maga után vonhatja a vasmag telítődését. A dolog jóval komolyabb, mint ahogy az első pillantásra tűnik, ezért addig, amíg nem győződünk meg arról, hogy az áram nem lépi túl a megadott értéket, nem szabad elvégezni az átkapcsolást.



47. ábra. 90 -os fáziseltolódás előállítása

**90°-os eltolás.** Vizsgáljuk meg a 90°-os eltolás előállításának egy elterjedt példáját. A 47a ábra mutatja a meddőfogyasztás-mérő bekötését. Ügyelni kell arra, hogy az áramtekercs (vastag vonal) az R fázisba, a feszültségtekercs pedig az S és T fázisok közé legyen kapcsolva. A 47b ábrán látható vektordiagram szerint könnyen belátható, hogy a 90°-os eltolás ilyen egyszerű módszerrel is elérhető.

*Tetszőleges szögű eltolást 0°...90°-ig könnyen nyerhetünk fázisszabályozóval, azaz forgatható háromfázisú transzformátorral. Ez úgy tekinthető, mint egy fékezett forgórészű aszinkron gép. Ha a forgórész állórészhez viszonyított helyzetét elforgatással finoman megváltoztatják, megváltozik a forgórész feszültségeinek fázisa, ugyanakkor értéke (nagysága) változatlan marad.*

Meg kell különböztetni a fázisszabályozót az indukciós szabályozótól. A fázisszabályozóban csak a fázisszög változik; a potenciálszabályozóban megváltozik a fázisszög és a feszültség értéke is. Ezenkívül a fázisszabályozó primer és szekunder tekercsei egymástól kölcsönösen elszigeteltek, a potenciálszabályozó tekercsei között fémes kapcsolat van. Befejezésül megjegyezzük, hogy ellenállás és induktív, valamint kapacitív reaktanciák összekapcsolásával bármilyen fáziseltolódás elérhető. Az ilyen statikus átalakítókat széles körben alkalmazzák.

## 10. A FÁZISHELYZET MEGHATÁROZÁSÁNAK ESZKÖZEI

A háromfázisú villamos berendezések (elsősorban transzformátorok, motorok, vezetékek és vezetékrendszerek) fázishelyzetét, ill. helyes fázissorrendjét hálózatra kapcsolásuk előtt, valamint olyan javításuk után kell meghatározni, amelyeknél a fázisok egymáshoz viszonyított sorrendje vagy helyzete megváltozhatott.

A fázishelyzet többnyire két művelettel határozható meg. Az első művelet az összekapcsolni kívánt fázisok egyneműségének (jel- és színegyeztetés) ellenőrzése. E művelet során az adott berendezés valamennyi eleménél ellenőrzik összekapcsolásuk, azaz az áramvezetők bekötésének helyességét.

A második művelet során az azonos nemű feszültségek fázisszögét ellenőrzik, tehát azt vizsgálják, hogy van-e közöttük szögeltolódás vagy nincs. A fázishelyzet meghatározására különböző módszereket alkalmaznak. Az egyes módszereket az adott berendezés (transzformátor, motor, távvezeték) rendeltetése, a tekercsek kapcsolása (kapcsolási csoportja), valamint a fázishelyzet (fázissorrend) meghatározására alkalmazott műszerek és eszközök figyelembevételével alkalmazzák.

A fázishelyzet meghatározásához feszültségmérőket (gyakran kombinált mérőműszereket), fázissorrendjelzőket, feszültségjelzőket, kombinált készülékeket alkalmaznak. Ezek egy része az általánosan, tehát más célra is használatos készülékek csoportjába sorolható, ezekről csak röviden szólunk. Vannak azonban olyan készülékek és eszközök, amelyeket viszont csak erre a célra használnak, így részletesebb leírásuk szükséges.

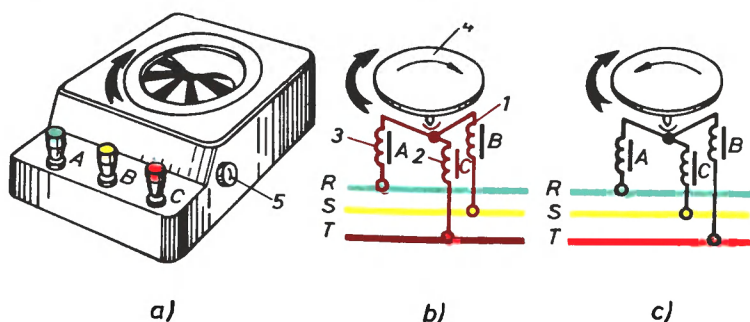
## Feszültségmérők

A villamos berendezések fázishelyzetének meghatározására változó-feszültség mérésére alkalmas, általában lágyvasas, vagy egyenirányító voltmérőt alkalmaznak. A feszültségmérő műszerekkel szemben nagy pontossági igény nincsen, követelmény, hogy a műszer méréshatára legalább a mérési helyen fellépő feszültség kétszerese legyen. (Ilyenek pl. a GANZUNIV-1, GANZUNIV-3, GANZUNIV-4, az NDK gyártmányú UNI-7 és UNI-10 stb.)

Az 1000 V-nál nagyobb feszültségű berendezéseken (sín, generátor stb.) a berendezés feszültségváltójához (mérőtranszformátorához) kapcsolják a feszültségmérő műszert, és a műszer méréshatárát a feszültségváltó szekunder oldali feszültségéhez kell megválasztani.

## Fázisázissorrendjelző (forgásirányjelző)

Fázissorrendjelzőt szemléltet a 48a ábra. A készülék ferromágnes vasmagokon elhelyezett 1, 2, 3 tekercsből, valamint egy tengelyre rögzített 4 könnyű alumínium tárcsából áll. A műszer működése megegyezik a rövidrezárt aszinkron motoréval. Ha a három tekercset a háromfázisú rendszerhez kapcsoljuk, akkor a forgó mágneses tér hatására a tárcsa a mágneses tér forgásirányával megegyezően forog. A mágneses mező és a tárcsa forgási irányát kizárólag a tekercsekben folyó áramok iránya határozza meg.



48. ábra. Fázissorrendjelző műszer (a), a tárcsa forgási iránya azonos (b) és ellentétes (c) fázissorrend esetén

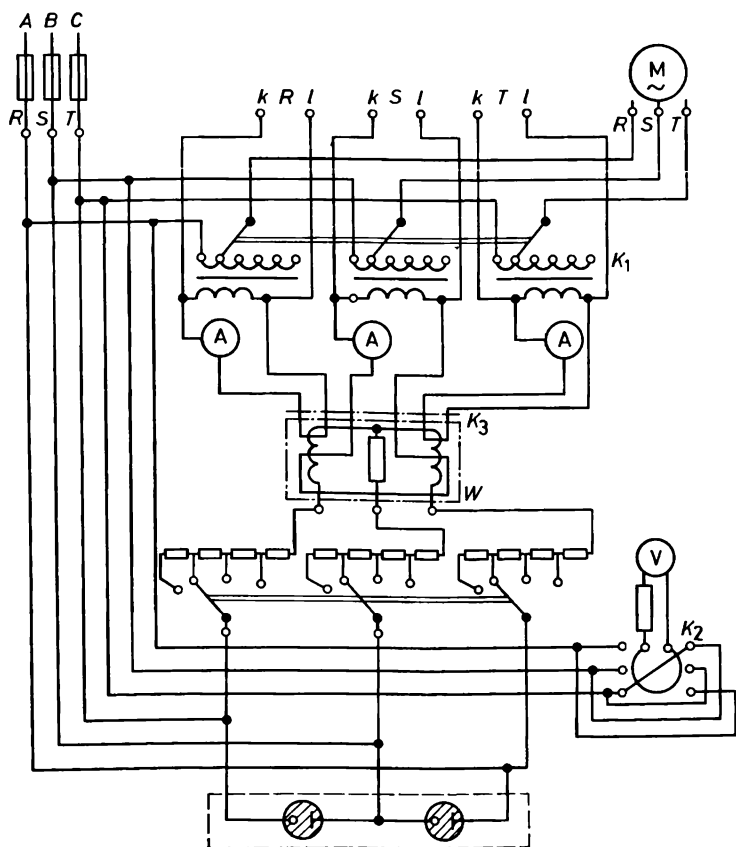
A *fázissorrend* a következőképpen határozható meg: A fázissorrendjelzőt az ellenőrizendő berendezéssel összekapcsolják. Ha a vizsgált fázisok megegyeznek a műszer belső kapcsolásának megfelelő fázissorrenddel, akkor a tárcsa az 5 gomb benyomása után a nyíllal jelzett irányba fordul el. Ez az irány, ill. tárcsaforgás felel meg az *RST* (esetleg más jelölésekkel *ABC*) fázissorrendnek. Ellenkező esetben a *fázissorrend* nem megfelelő. A megfelelő fázissorrend előállításához elegendő bármelyik két fázis felcserélése.

Ez a műszer az 50...500 V feszültségű hálózatra legfeljebb 5 s időtartamra kapcsolható.

### **Egyetemes (univerzális) műszerek, ill. mérőkészülékek**

A fázissorrend helyességének megállapításán kívül az üzemi szakembereknek gyakran egyéb feladatokat is el kell látniuk. Ilyen feladatok közé tartozik pl. a villamos fogyasztók felvett teljesítményének, áramának és feszültségének mérése. Ezek az adatok hasznosak lehetnek nemcsak a hatásfok, hanem a fázistényező kiszámítására is. Az ilyen mérések általában sok mérőműszert, áram- és feszültségváltót, előtellenállást stb. igényelnek. Összekapcsolásuk időrabló és meglehetősen bonyolult. Célszerű tehát a mérésekhez szükséges eszközöket egymással előre összekapcsolni és készre szerelve – hordozható mérőbőröndbe – összefoglalni. Ilyen berendezés pl. a hazai „MULTIMES LILIPUT” mérőbőrönd, amely alkalmas egyfázisú és szimmetrikusan vagy aszimmetrikusan terhelt háromfázisú, három-, ill. négyvezetős rendszerek fogyasztói adatainak mérésére, továbbá a hálózat helyes fázissorrendjének ellenőrzésére is.

A mérőbőrönd elvi kapcsolási vázlatát a 49. ábra tünteti fel. A mérőbőrönd a kapcsolási vázlatnak megfelelően a hálózatról fázisonként egy-egy áramváltó primer tekercsén keresztül csatlakozik a mérendő fogyasztóhoz. Az áramváltó primer tekercselése öt megcsapolással: 100, 50, 25, 10 és 5 A primer áramra méretezve készül; a szekunder áramerősség 5 A. Ennek megfelelően tehát az áramváltók áttétele 1: 20, 1: 10, 1: 5, 1: 2 és 1: 1. Az áramváltók vasmagja különleges kis hiszterézisveszteségű Permalloy C szalagból készül. E jó minőségű vasmag és annak megfelelő kialakítása, valamint a szekunder tekercsek különleges korrekciója révén sikerült elérni, hogy a kis súlyú áramváltó áttételi és szöghibája a szabványban megadott terhelési határok között megfelel a H 0,2% osztálypontosságnak.



49. ábra. A MULTIMES-Liliput mérőbőrönd elvi kapcsolása

Az áramváltók szekunder kapcsaira mindhárom fázisban egy-egy 0,5 osztálpontossággal lágyvasas rendszerű ampermérő csatlakozik. A skálabeosztás 6 A-ig terjed, amelyen leolvasott érték az áramváltó áttételétől függően a műszeren feltüntetett szorzótényezővel szorozva adja a valódi értéket. Az ampermérők fogyasztása 1 VA, a skála hosszúsága 90 mm, a pontos leolvasást késélmutató és tűrőskála könnyíti meg.

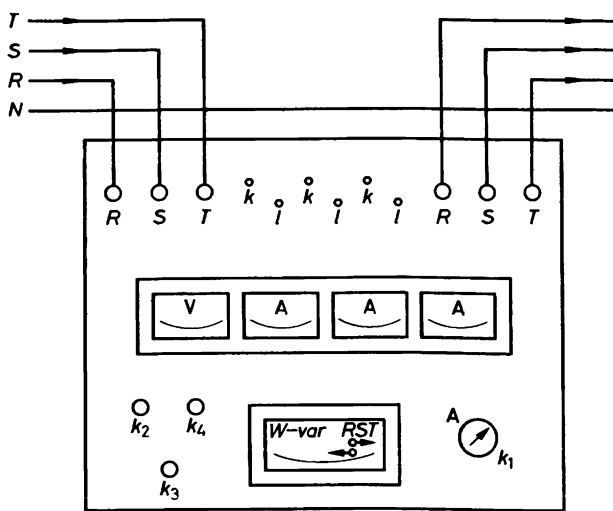
Az áramváltók szekunder körébe az ampermérők tekercseivel sorba vannak kapcsolva a kétmérőrendszeres, háromfázisú, vaszáró-

dású, elektrodinamikus wattmérő áramtekercsei. A wattmérő skálabeosztása  $100^\circ$ , a skála hossza kb. 120 mm. Az ampermérőkhöz hasonlóan a wattmérő is késélmutatóval és tükörskálával készül. A műszert 50 Hz frekvenciájú szinuszos alakú váltakozóárammal hitelesítik, mind a feszültség-, mind az áramtekercsek 20%-kal tartósan túlterhelhetők. A műszer fogyasztása névleges feszültség és áramértékeknél 2 VA. A tényleges teljesítmény értékét a műszer által mutatott értékeknek az áram- és feszültségmérőnek a határkapcsoló állásától függő, és a műszer skálalapján levő táblázatban feltüntetett szorzótényezővel való szorzata adja.

A bőrröndbe be van építve egy lágyvasas voltmérő is. Skálabeosztása  $100^\circ$ , egyik méréshatára 300, a másik 600 V. A voltmérő is késélmutatóval és tükörskálával készül, fogyasztása 1 VA.

A bőrröndbe épített műszerek alap osztálypontossága 0,5%, az áramváltók, előtétel 0,2% pontosak, így a mérőbőrönd eredő osztálypontossága: 1%.

A helyes fázissorrend ellenőrzésére fázissorrend-mutató van a bőrröndbe építve, amely a  $W$  mérőben elhelyezett két glimmlámpa segítségével mutatja a helyes fázissorrendet. A műszer két V-kapcsolású tekercse a wattmérő előtét-ellenállásával van sorbakapcsolva.



50. ábra. A mérőbőrönd műszerlapja és bekötése háromfázisú fogyasztás esetén

Az áramváltók áttételét beépített háromfázisú  $K_1$  átkapcsolóval változtatjuk (50. ábra), amely kapcsoló a primer áramkör megszakítása nélkül iktatja be az áramváltók megfelelő primer tekercseit. Az átkapcsoló hat állású. Első fokozatával lehetővé teszi, hogy a fogyasztói készüléket az áramváltó kiiktatásával közvetlenül kapcsolják a hálózatra. Ezáltal a nagy áramlökéssel induló fogyasztók (pl. rövidrezárt forgórészű aszinkron motorok) mérésekor az áramváltók és műszerek a bekapcsolási áramlökések ellen védve vannak. A tényleges mérésnél – a terhelésnek megfelelően – a kapcsoló a 100, 50, 25, 10 és 5 A áramerősségre méretezett primer áramtekercset iktatja be a közölt sorrendben a mérőkörbe.

A  $K_2$  négyállású kamrás kapcsoló segítségével a voltmérő különböző vonali feszültségre kapcsolható. Az átkapcsoló nulla állásban kiiktatja a voltmérőt, majd a többi három állásban azt az  $R-S$ ,  $S-T$  és  $T-R$  vonalfeszültségekre kapcsolja.

A  $K_3$  kamráskapcsoló a beépített wattmérő feszültségtekercseit kapcsolja oly módon, hogy az a kapcsoló különböző állásainak megfelelően fogyasztói és generátoros wattos, ill. induktív és kapacitív meddő teljesítményt mér.

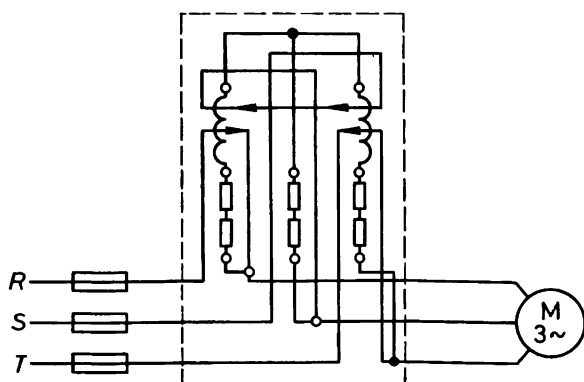
A  $K_4$  a kamráskapcsoló a wattmérő feszültségtekercseinek és a voltmérő előtétfokozatait kapcsolja a mérendő hálózat feszültségétől függően 110, 200, 380 és 550 V, ill. 300 és 600 V méréshatárra.

### **A mérőbőrönd alkalmazási területe**

Mint már az előzőekben említettük, a MULTIMES LILIPUT típusú mérőbőrönd egyfázisú, valamint szimmetrikus és aszimmetrikusan terhelt három-, ill. négyvezetős háromfázisú rendszer fogyasztóinál teljesítmény-, áram- és feszültségmérésre, valamint a fázissorrend megállapítására alkalmas.

A mérőbőrönd bekötését háromfázisú fogyasztók esetében az 50. ábra tünteti fel. Az ábrának megfelelően a hálózatot a bőrönd bal oldali három bevezetéséhez kell kötni, a jobb oldali kivezetésekhez pedig a mérendő fogyasztó csatlakozik. A bőrönd bekötése előtt a  $K_4$  kapcsolóval a megfelelő feszültség-méréshatár állítandó be, majd – a fogyasztó üzembe helyezése után – a  $K_1$  kapcsoló segítségével az áramváltók megfelelő áttételét kell kiválasztani. Így a fázisonként beépített ampermérőnek az egyes fázisáramokat, a voltmérő pedig a  $K_2$  kapcsoló által kiválasztott vonali feszültséget méri.





51. ábra. A mérőbőrönd felhasználása teljesítmény mérésére

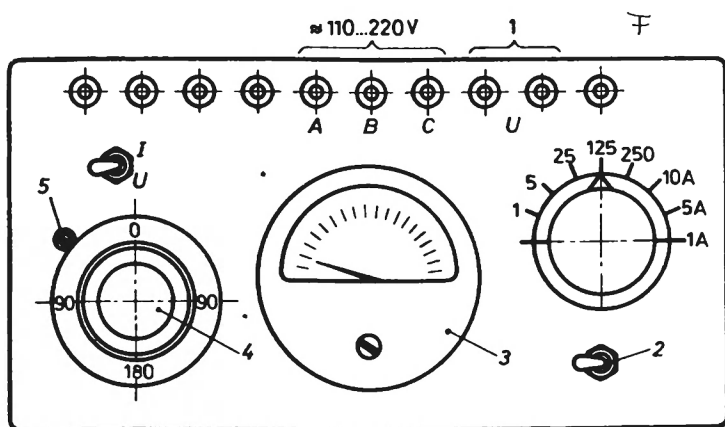
A teljesítményt kétmérőrendszeres, különleges kapcsolású wattmérő méri. E wattmérő kapcsolását és áramkörét a háromfázisú felvett wattos teljesítmény mérésénél az 51. ábra mutatja.

Az előzőekben ismertetett mérőberendezés  $580 \times 375 \times 180$  mm méretű, kalapácsolakozott fémdobozba van beépítve. A bőrönd fedele a könnyebb mérés érdekében a békazárak nyitása után leemelhető.

A beépített mérőműszerek, kapcsolók, áramváltók, előtét-ellenállások a dobozhoz erősített 8 mm vastag szigetelő szerelőlapra vannak szerelve. E szerelőlapot hézagmentesen 2 mm-es alumínium fedőlemez borítja, amelynek szürke felületén a jelzések fekete színűek.

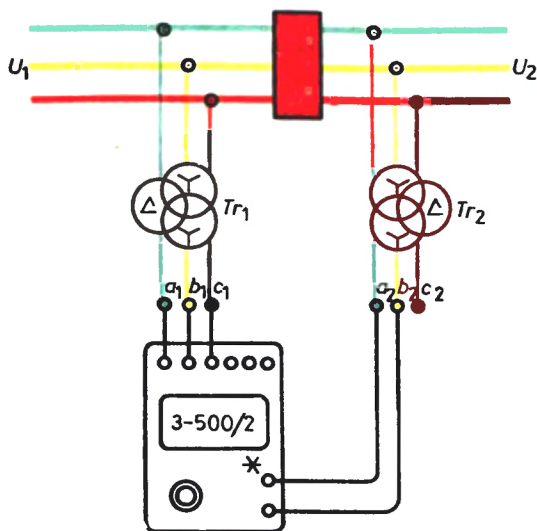
A hálózat a bal oldali, befelé mutató nyilakkal jelölt *R*, *S*, *T* jelű kivezetésekhez, a mérendő fogyasztó pedig a jobb oldalon elhelyezett, kifelé mutató nyilakkal megjelölt kivezetésekhez csatlakozik. Külső áramváltók használata esetén az áramváltók szekunder kivezetéseit a bőrönd felső éle mentén sorban elhelyezett (egyértelműen megjelölt) kapcsolókhoz kell kötni. Az esetleges külső feszültségváltók szekunder kivezetéseit mint hálózatot kell a bőrönd kapcsaihoz csatlakoztatni.

A fedőlemezen feltüntették a különböző kapcsolók rendeltetését, a megfelelő kapcsolóállásokat és méréshatárokat, valamint a mérés helyes elvégzéséhez szükséges egyéb jelöléseket. A műszereknek a különböző méréshatárokhöz tartozó állandói – táblázatba foglalva – a műszerek skálalapján találhatók.



52. ábra. VAF-85 típusjelű műszer

1 voltmérő-csatlakozás; 2 átkapcsoló; 3 mérőműszer; 4 fázissorrendjelző; 5 átkapcsoló



53. ábra. Fázishelyzet azonosságának megállapítása E-500/2 típusú műszerrel

Az egyetemes mérőműszerek egy másik példája látható az 52. ábrán. A VAF-85 típusjelű, szovjet gyártmányú műszer volt- és ampermérőt és egyetemes fázissorrendjelzőt tartalmaz. Segítségével a feszültségen kívül a két feszültség közötti szögeltolódás és a fázissorrend határozható meg. Háromfázisú szimmetrikus rendszerekben a feszültségvektorok közötti fázisszög, a fázissorrend és a transzformátortekercsek kapcsolási csoportjának meghatározására szolgál az E-500 típusú, szintén szovjet gyártmányú egyetemes mérőműszer. Az 53. ábrán a készülék bekötése látható arra az esetre, amikor a két feszültség közötti fázisszögöt kívánják meghatározni.

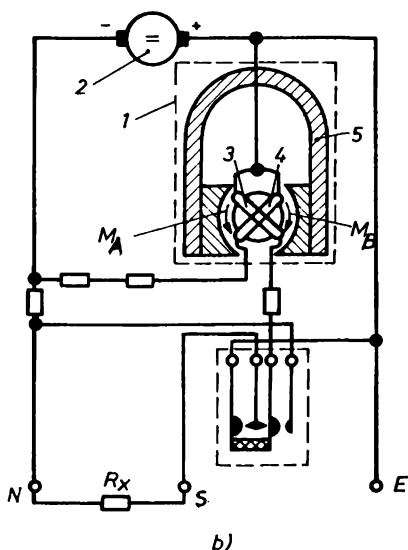
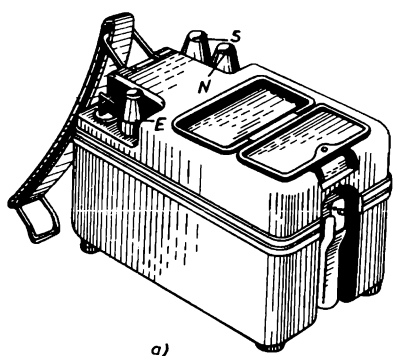
## Megohmmérő

Hordozható műszer, amelynek általános rendeltetése a szigetelési ellenállás mérése igen széles mérési tartományban (gyakorlatilag  $0 \dots \infty \Omega$ -ig). A műszer sajátossága lehetővé teszi felhasználását a fázisegyeztetés műveleteiben is.

Az 54. ábra bemutatja az M-1101 típusú megohmmérő (megger) elvi kapcsolási vázlatát és külső képét. A műszer egy érzékelőelemből (1) és egy saját tápforrásból – kis méretű kézi meghajtású egyenáramú generátorból (2) – áll. A mérendő  $R_x$  ellenállást az  $L$  és  $Z$  kapcsok között a generátorral sorba kapcsolják. A generátor forgórészén hajtókar található. Ha a hajtókart kb. 120 fordulat/min gyakorisággal elforgatjuk, az állórész kapcsain névleges feszültség lép fel, s az érzékelőelem 3 és 4 keretein a megfelelő ellenállások által korlátozott áram folyik. Az áram hatására az 5 állandómágnes mágneses mezejével átjárt keretekben, a mérőszerv tengelyén olyan forgatónyomaték keletkezik, amely a mutatót a skála meghatározott pontjára lendíti.

Az érzékelőelem két könnyű keretét (tekercsét) mereven egy tengelyre rögzítik és a mágnes pólusai közti hézagba helyezik. A pólusok olyan kialakításúak, hogy a köztük levő mágneses mező ne legyen egyenletes.

A kereten az áram áthaladásakor olyan forgatónyomaték keletkezik, amely arányos a keretben folyó áram és a keret pillanatnyi helyzetében levő indukció szorzatával. Az érzékelőelem kereteiben az  $M_A$  és  $M_B$  nyomatékok ellentétes irányúak, tehát az érzékelőelem mozgórendszere csak akkor van nyugalomban, ha a forgatónyomatékok egyenlők. Ez az egyenlőség megbomlik, ha a keretekben az ára-



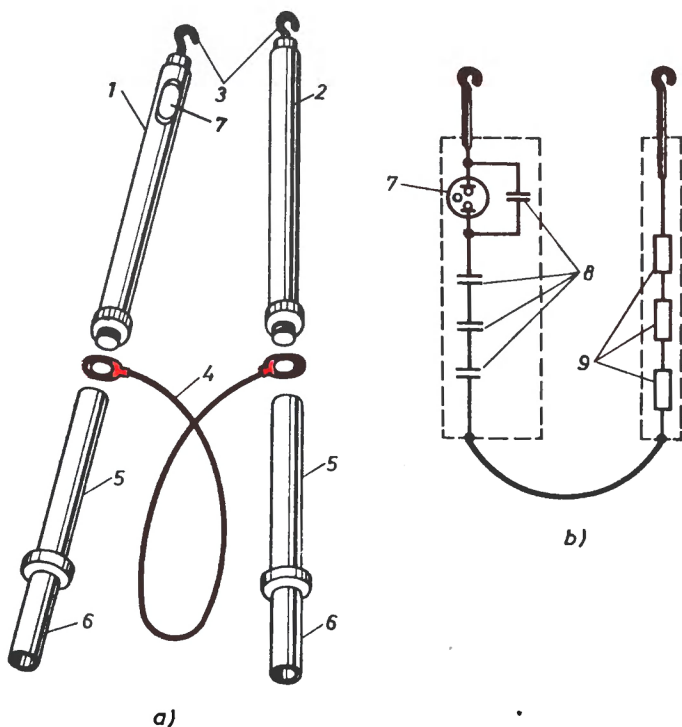
54. ábra. Az M-1101 típusú megohmmérő (a) és kapcsolása (b)

mok egymáshoz viszonyított értéke megváltozik, ebben az esetben ugyanis a mozgórendszer az inhomogén térben elfordul. (Inhomogénnek az olyan erőteret nevezik, amelyben a télerősség a tér különböző pontjaiban nem azonos nagyságú és irányú.) Az elfordulás mindaddig tart, amíg a nyomatékok újabb egyenlősége létre nem jön. Az áramarányok viszonyának változására a keretekben kizárólag az  $R_x$  ellenállás értéke hat.

A megohmmérő mérőszervének sajátossága, hogy hiányzik a műszermutatót a skála nullapontjára állító rugó, ezért álló (nem gerjesztett) generátor esetén a műszer mutatója a skála bármelyik helyén állhat. A mérés megkezdése előtt minden alkalommal ellenőrizni kell a megohmmérő üzemképességét. Ennek érdekében rövidrezárják az  $L$  és  $Z$  kapcsokat és névleges (tehát mintegy 120/min) fordulatszámmal forgatják a generátor hajtókarját. Ilyenkor a műszer mutatójának a nulla jelre kell beállnia. Ha a mutató nem állna a 0 skálaosztásra, a műszer mágneses söntjének mozgatásával állítjuk rá. A mágneses söntöt a műszer homloklapján levő forgatógombbal lehet elmozgatni. Az  $L$  és  $Z$  kapcsok nyitása után a mutató a skála  $\infty$  jeléhez áll be. Szokásos mérőfeszültségek: 500, 1000, 2500, 5000 V.

## Feszültségvizsgálók (feszültségjelzők)

1000 V-nál nagyobb feszültségű berendezésekben a fázisazonosság kétpólusú feszültségjelzővel is meghatározható. A jelző készletébe rendszerint maga a feszültségjelző rúd, a kiegészítő ellenállást tartalmazó tapintórúd és az azokat összekapcsoló vezeték tartozik. Az 55. ábra bemutatja a Moszenergo CVL által kidolgozott UVNF típusú, kétpólusú feszültségvizsgáló képét és villamos kapcsolási vázlatát. A készülék 10 kV feszültségig alkalmas a berendezések fázisegyeztetésére. Az 1 feszültségjelző tartalmazza (a rúd szigetelőanyagból készül) TNUV típusú 7 jelzőlámpát és a sönt-, valamint a három kiegészítő POV-15 típusú 8 polisztirol kondenzátort, egyenként 15 kV üzemi feszültségre. A 2 tapintórúdban 10 db hőálló, MLT-2 típusú ellenállás van: összellenállásuk 8...10 M $\Omega$ .



55. ábra. Kétpólusú feszültségvizsgáló (a) és kapcsolása (b)

A két rúd csúcsán levő 3 fémérrintkező (tapintóvég) egymással PVL–1 típusú, 20 kV-os 4 vezetékkel van sorbakötve. Az 5 rudak alsó részein körgallérral ellátott 6 fogórészek találhatók. Természetesen az 5 és 6 rúdrész szigetelőanyagból készül.

A fázisazonosításkor (fázisegyeztetéskor) a kikapcsolt készülékre (szakaszoló, megszakító) mindkét oldalról rákapcsolják azt a feszültséget, amelynek fázishelyzetét meg kívánják állapítani. A feszültségvizsgáló tapintóvégeit ráhelyezik a készülék áramvezető részeire, és megfigyelik, hogy kigyullad-e a jelzőlámpa. Ilyenkor a feszültségvizsgáló kapcsolásának két esete lehetséges: ellenkapcsolás amikor is különböző fázisokat érintenek meg – ekkor a lámpa fényesen világít, jelezve a fázisok különbözőségét; a másik eset az azonos fázisra történő kapcsolás. Ilyen esetben a lámpa nem világít. A lámpa világításának hiánya mutatja a fázisok közvetlen összekapcsolási, ill. a készülék bekapcsolási lehetőségét.

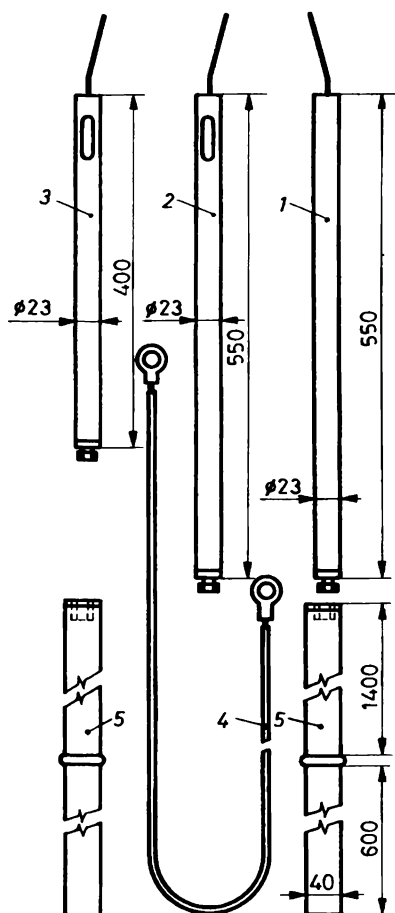
A villamos berendezésekben alkalmazott védőeszközök használati és vizsgálati szabályai előírják a feszültségvizsgáló jelzőlámpájának ún. kigyulladás küszöbét ellen- vagy azonos fázisra kapcsolás esetén. Kigyulladás küszöb alatt a tapintókra jutó minimális feszültséget értjük, amelynél a jelzőlámpa tartósan látható fénnel világít. Kigyulladás küszöbértékek a következők:

– Vizsgált fázisfeszültség	6 kV	10 kV.
– Maximális kigyulladás feszültség különböző fázisokra kapcsolás esetén	1500 V	2750 V.
– Minimális kigyulladás feszültség azonos fázisra való kapcsolás esetén	7600 V	12 700 V.

Bár az első pillanatban ellentmondásosnak tűnik, hogy a lámpa a tapogató mindkét érintkezőjének azonos fázishoz való érintésekor világít, valójában nem az. A jelenség a feszültségvizsgáló különböző elemeinek a földelt szerkezetekhez viszonyított villamos kapacitásával, ill. annak hatásával magyarázható: a kapacitásokon átfolyó áram hatására világítanak a lámpák. Annak érdekében, hogy a fázissorrend meghatározásakor elkerüljük a hibákat, a feszültségvizsgáló gyűjtőfeszültségének fázisazonosság esetén nagyobbnak kell lennie, mint annak az üzemi feszültségnek, amelyen a fázissorrend meghatározása történik.

Különböző fázisra történő kapcsolás esetén a gyulladási küszöb jellemzi a feszültségvizsgáló érzékenységet. Minél kisebb a lámpa

gyújtófeszültsége, annál érzékenyebb a készülék. A nagy érzékenysé-  
gű feszültségvizsgálók nem alkalmasak a fázissorrend meghatározá-  
sára, ugyanis az azonos nemű fázisok közötti feszültségkülönbség  
elérheti az üzemi feszültség értékének 8...10%-át is. Következéské-  
ppen ellenkapcsolásban a gyújtófeszültségnek kissé nagyobbnak kell  
lennie az említett feszültségtől. Gyakorlatilag ez 1000...1500 V.



56. ábra. Feszültségvizsgáló a 35...110 kV feszültségen üzemelő berendezések  
fázissorrendjének meghatározására

Az UVNF típusú feszültségvizsgáló teljes hossza összeszerelt állapotban 715 mm, vizsgálórészének hossza 350 mm. A tapasztalat bizonyítja, hogy az ilyen feszültségvizsgáló vizsgálórészének mérete a 6...10 kV feszültségű szabadvezeték fázissorrendjének meghatározásához történő alkalmazásakor nem biztosítja a veszélytelen munkafeltételeket. A feszültségvizsgáló munkarészének hossza gyakorlatilag megegyezik a szakaszoló földelt alapkerete feletti áramvezető rész hosszával, ezért a rudak acélszerkezetéhez való közelítésekor földzárlat keletkezhet. Ezért az oszlopkapcsolóknál végzendő fázisegyeztetéshez olyan feszültségvizsgálót dolgoztak ki, amelynek munkahossza, valamint a kiegészítő ellenállást is magába foglaló cső hossza 700 mm, a feszültségvizsgáló teljes hossza pedig 14 400 mm.

35 és 40 kV feszültségen történő fázishelyzet meghatározásához a Moszenergo kidolgozta az UVNF-35-110 típusú feszültségvizsgálót. Ennek szerkezete hasonló az UVNF vizsgálószerkezetéhez.

A készülék szerkezeti sajátossága a POV-15 típusjelző polisztirol kondenzátorok alkalmazása. Ezekkel helyettesítik az ellenállásokat. A kondenzátorok paramétereit úgy választották meg, hogy a vizsgáló azonos fázisra kapcsolás esetén ne legyen érzékeny a földhöz viszonyított fázisfeszültségre. Ez a megoldás azt eredményezte, hogy a feszültségvizsgáló biztosan megkülönbözteti az azonos, ill. a különböző fázisokat.

A kétpólusú feszültségvizsgáló készlet (56. ábra) egy ún. „közös” / tapintórúdból és két (2 és 3), azonos szerkezeti felépítésű, de különböző hosszúságú feszültségvizsgálóból áll. A feszültségvizsgáló és a tapintórúd menetesen csatlakozik az 5 fogantyúhoz. A készletben levő közös tapogatórudat a (2) házzal kiegészített fogantyúval együtt a 110 kV feszültségű, a (3) házzal együtt a 35 kV feszültségű berendezések fázishelyzetének meghatározására használják.

A (4) összekötő vezeték szigetelése meg van erősítve. Az (5) fogantyút úgy méretezték, hogy alkalmasak legyenek a munkavégzésre 110 kV-ig.



## 11. ELŐZETES FÁZISAZONOSÍTÁS (A FÁZISSORREND ELLENŐRZÉSE)

Gyakran a fázissorrend vagy -helyzet meghatározására már a berendezés szerelése vagy javítása előtt szükség van, de új vagy javításból kikerült berendezések első bekapcsolásakor – amennyiben a javításkor a fázisok helyei felcserélődhetnek – a fázisegyeztetés nem mellőzhető. Így, ha sérült kábel javításakor az áramvezető ereket tetszőlegesen kötik össze, akkor ez megzavarhatja a fázissorrendet, és ez arra vezethet, hogy végelzáróknál az ereket fel kell cserélni vagy a sínrendszert át kell alakítani. Világos, hogy mindkét művelet nemcsak hogy nem kívánatos, de gyakran nem is kivitelezhető, ezért az erek összekötése előtt ellenőrizni kell a fázisok azonosságát. Az előzetes fázisegyeztetést feszültségmentes berendezésen végzik el. A berendezések alapvető fajtáinál a fázisazonosítást szemrevételezéssel, csengetéssel vagy szigetelésvizsgáló (megger) segítségével végzik el.

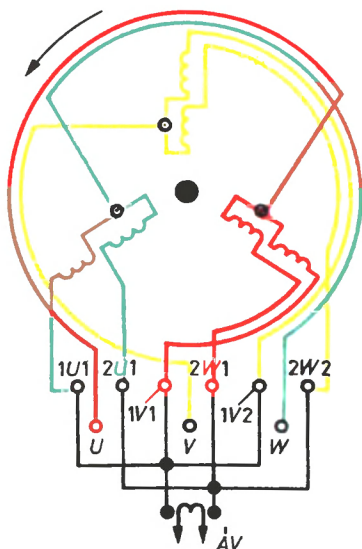
Az üzembe helyezés előtti fázisazonosítást kizárólag villamos módszerekkel végzik. A módszer kiválasztása a berendezés fajtájától (transzformátor, motor, vonal) és az üzemi feszültség nagyságától függ. Közvetlennek az olyan vizsgálati módszereket nevezik, amelyeknél a fázisazonosítás a berendezés (készülék) bemeneti kapcsain közvetlen üzemi feszültségen történik. Ezek a módszerek igen szemléletesek (áttekinthetők) és széles körben alkalmazzák 110 kV-ig.

*Közvetettnek* azokat az azonosítási módszereket nevezik, amelyeknél az azonosítás nem a berendezés üzemi feszültségén, hanem a mérőtranszformátorok szekunder feszültségén történik. A közvetett módszer kevésbé szemléletes, de alkalmazhatósága független a berendezés üzemi feszültségétől.

## A generátor fázissorrendjének ellenőrzése

A váltakozóáramú villamos gépek tekercseit fázisonként egy tekercscsel (egyágúként) vagy osztott tekercsekkel (fázisonként két párhuzamosan kapcsolt tekercscsel) alakítják ki. A tekercsek kivezetését az MSZ 152 szerint jelölik. Az állórész egyszerű tekercseinek elejét  $U1$ ,  $V1$ ,  $W1$  betűkkel, végeit pedig értelemszerűen  $U2$ ,  $V2$ ,  $W2$  betűkkel jelölik. Az osztott tekercsek kivezetéseit ugyanazokkal a betűkkel jelölik, mint az egyszerű tekercsek kivezetéseit, de a betűk elé helyezik a számokat. Így pl., amennyiben az állórész fázisonként két tekercsből áll, akkor az első tekercs kivezetéseinek jelölése:  $1U1-1U2$ ,  $1V1-1V2$ ,  $1W1-1W2$ , a második tekercsrész kivezetéseinek jelölése pedig:  $2U1-2U2$ ,  $2V1-2V2$ ,  $2W1-2W2$ .

A hálózatra kapcsolt kivezetéseket vonali kivezetéseknek, az egymással csillagba kapcsolt kivezetéseket pedig nullakivezetéseknek nevezik. A fázisonként egy tekercscsel épített generátorok vonalkapcsait  $U1$ ,  $V1$ ,  $W1$ -gyel jelölik, a nagyteljesítményű, fázisonként párhuzamosan kapcsolt tekercsek kivezetéseinek jele:  $1U2$ ,  $1V2$ ,  $1W2$ .



57. ábra. TVF-100 2 típusú turbógenerátoros állórész tekercselésének kapcsolása a gerjesztő felőli oldalról nézve

Ebben az esetben az  $1U1$ ,  $1V1$ ,  $1W1$  és  $2U1$ ,  $2V1$ ,  $2W1$  kapcsokat közösítik és kivezetik (N-kapocs). Az 57. ábrán látható a TVF-100-2 típusú turbógenerátor állórésztekercsének vázlata. A tekercselésnek kilenc kivezetése van – három vonali és hat nulla kivezetése. Az  $1U1$ ,  $1V1$ ,  $1W2$  és a  $2U1$ ,  $2V1$ ,  $2W1$  tekercsvégeket szintén a kapocstáblára vezetik ki. Ezeket a kivezetéseket sínézéssel kötik össze. Az így kapott két újabb kivezetésre áramváltót kapcsolnak. Az áramváltóhoz csatlakoztatják a keresztirányú különbözeti védelmet, amelynek feladata az állórésztekercs fázisainak menetzárlati védelme. A csillagpontokat áthidaló sín köti össze a rajta elhelyezett áramváltóval, amelynek rendeltetése az állórész fázistekercsei egyikében a menetek közötti esetleges rövidzárlat elleni differenciált áramvédelem. A generátor fázishelyzetének meghatározásához ismerni kell a vonali kivezetéseket.

A generátor fázissorrendje a forgórész forgásirányától és az állórész tekercselésének térbeli elrendezésétől függ. A forgórész forgásirányát a turbinalapátok elhelyezése határozza meg, a fázisok elrendezését viszont szemrevételezéssel lehet megállapítani, amikor a szerelés alatt álló generátor állórésze már az alapon van. E célból az állórész

5. táblázat

A generátortekercsek kivezetési sorrendje	A generátorkivezetések és a hálózat összekapcsolási lehetőségei, ha a hálózat fázissorrendje: $R-S-T$		
	1	2	3
$U1-V1-W1$	$U1-R$ $V1-S$ $W1-T$	$U1-S$ $V1-T$ $W1-R$	$U1-T$ $V1-R$ $W1-S$
$U1-W1-V1$	$U1-R$ $V1-T$ $W1-S$	$U1-T$ $V1-S$ $W1-R$	$V1-S$ $V1-R$ $W1-T$
$U2-V2-W2$	$U2-R$ $V2-S$ $W2-T$	$U2-S$ $V2-T$ $W2-R$	$U2-T$ $V2-R$ $W2-S$
$U2-W2-V2$	$U2-R$ $V2-T$ $W2-S$	$U2-T$ $V2-S$ $W2-R$	$U2-S$ $V2-R$ $W2-T$

három tekercsének a hornyokra való belépési helyeit végigkövetve meghatározzák a vonali kivézetéseket. Ha tehát a forgórész forgási irányában történik a követés, az állórész kerületén levő tekercssorrend határozza meg a tekercsek tényleges fázissorrendjét.

Az összekötősinék generátorhoz való csatlakoztatását és színezésüket a generátor és a hálózat meghatározott fázissorrendjének függvényében végzik el. Ebben az esetben a szerelés alatt álló generátor lehetséges bekötési változatait az 5. táblázat tartalmazza.

Megjegyezzük, hogy a generátor valamennyi bekötési módja egyenértékű, és az egyes változatok kiválasztását kizárólag az erőművi gyűjtősinrendszerhez való csatlakozás egyszerűsége dönti el. Ha a hálózat fázissorrendje nem a megszokott ( $R, S, T$ ), hanem attól eltérő (pl.  $R, T, S$ ), akkor az 5. táblázatban az  $S$  és  $T$  betűk helyeit meg kell cserélni.

### A szinkron kompenzátor fázissorrendjének ellenőrzése

Az ellenőrzést az állórész szerelése közben, levett fedéllemezek mellett végzik, a generátor fázissorrendjének meghatározására fentebb leírt módszerhez hasonlóan. Az ellenőrzés arra irányul, hogy a fázisok cserélődése az állórész vezetéseinek megfelel-e a forgórész megadott forgásirányának. Ez fontos a csapágyakban levő olaj normális áramlásának biztosításához. A szinkron kompenzátor kivezetéseinek a hálózati fázisokhoz való bekötésekor a generátoroknál leírt elveket kell alkalmazni.

### Erőátviteli transzformátorok

Az MSZ 9230 előírásainak megfelelően a háromfázisú transzformátor kapcsainak sorrendje (balról jobbra) a nagyobb feszültségű oldalról nézve:

$$N-A-B-C,$$

$$n-a-b-c;$$

az egyfázisú transzformátoroknál pedig:

$$E-F,$$

$$e-f.$$

Annak nyomon követése, hogy helyesen csatlakoznak-e a tekercsvégek a jelzett kapcsolókra, a transzformátor megbontása nélkül lehetetlennek tűnik. Ezért a transzformátorok kapcsoljelölésének helyességét csak a kapcsolási csoportok vizsgálatánál állapítják meg, amelyet a transzformátorok gyártásakor vagy felújításakor, részleges vagy teljes tekercscsere alkalmával.

## Vezetékek

Új villamos erőátviteli *szabadvezeték*et olyan tervdokumentáció alapján létesítenek, amely többek között tartalmazza a hálózat háromvonalas kapcsolását (annak teljes hosszúságában), a vezetékek fáziscseréjének helyét és az előzetesen meghatározott fázisszíneket. Ezen a terven a vezetékek elhelyezkedését a kapu alakú portáloszlopokon olyan sorrendben írják elő, amely biztosítja a vonali fázisok és a transzformátorállomás berendezéseinek megfelelő fázisainak egybeesését. Különös jelentősége van ennek a meglevő állomások közötti új hálózat kialakításakor. A vezetők fáziscseréjét ebben az esetben a berendezés tényleges elhelyezését és a hálózat mindkét végén levő portáloszlop fáziscserélődési sorrendjét figyelembe véve kell kialakítani.

A *kábelvégeken* az áramvezető erek sorrendjét legegyszerűbben telefonkagylók segítségével állapítják meg (pl. az állomások és állomások különböző helyiségei között fektetendő erőátviteli kábelek ellenőrzésekor).

A telefonhallgatóknak a vizsgált kábelszakaszra való rákapcsolását az 58. ábra szemlélteti. A kapcsolatteremtéshez egyik (közös) vezetőként földelt szerkezeti elemet (pl. a kábel földelt fémburkolatát) használják. A kábel egyik oldalán a telepről jövő vezetékét rákötik az egyik áramvezető ére (pl. a  $T$  fázisra). A kábel másik oldalán a hallgató szabad vezetékével sorra megérintik az áramvezető ereket minden egyes esetben hangjelzést hallatva. Megtalálva azt az eret, amelyen megkapják az ellenőrző választát, azt megjelölik (jelen esetben mint  $T$  fázist), majd ugyanilyen módon folytatják a többi ér azonosítását. Ezt követően az információt vevő személy visszajelzi a kapott jeleket. A telefonkagylók helyett az utóbbi időkben olyan berendezést használnak, amelyek nem kötik le az ellenőrzést végző kezét a munka közben.



58. ábra Kábelérazonosítás telefon segítségével

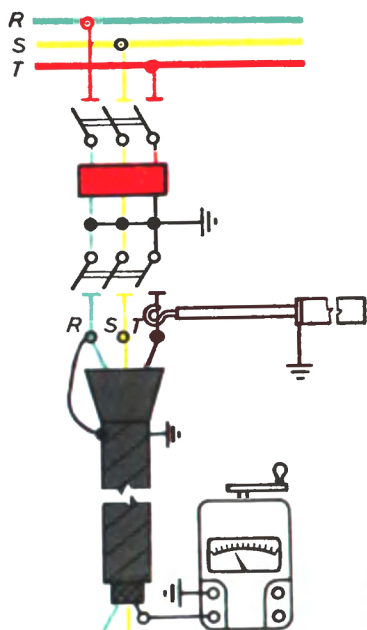


59. ábra Kábelérazonosítás megohmmérő segítségével

A fázis azonosításakor eléggé széles körben használják a megohmmérőt, amelynek csatlakoztatási vázlatát az 59. ábra szemlélteti. A fázishelyzet meghatározásához egymás után leföldelik az ereket a kábel elején, a végén pedig mérik az erek szigetelési rezisztenciáját a földhöz képest.

A földelt eret a megohmmérő állásából állapítják meg, ugyanis annak földhöz viszonyított szigetelési rezisztenciája nullával lesz egyenlő, a másik kettő pedig több tíz, sőt több száz  $M\Omega$ -mal.

Ilyen ellenőrzési módnál háromszor helyezik el, ill. veszik le a földelést. Ezenkívül a kábelvégeken levő személyzetnek egymással valamilyen módon (pl. távbeszélőn) összeköttetésben kell lennie, hogy tevékenységüket koordinálhassák. Tökéletesebb a 60. ábrán bemutatott vázlat szerinti mérési módszer. A három kábelér egyikét (jelen esetben az  $R$  fázist) mereven összekapcsolják a földelt páncélozással, a másik, a  $T$  fázist  $8 \dots 10 M\Omega$  rezisztenciájú ellenálláson keresztül földelik. Általában ellenállásként az UVNF feszültségvizsgáló kap-



60. ábra. Kábelérazonosítás megohmmérővel a kiegészítő ellenállás alkalmazása esetén

csolórúdját használják. A harmadik eret ( $S$  fázist) nem földelik le, az szabadon marad. Ezt követően a kábel másik végén lemérik az erek földhöz viszonyított rezisztenciáját. Teljesen világos, hogy az  $R$  fázis annak az érnek fog megfelelni, amelynek rezisztenciája a földhöz képest nulla, a  $T$  fázis annak az érnek, amelynek  $8 \dots 10 \text{ M}\Omega$  és az  $S$  fázis pedig annak az érnek, amelyé végtelenül nagy.

*Balesetelhárítási feltételek a kábelek fázishelyzetének meghatározásakor.* A fázisegyeztetést az előbbieken leírt módon csak feszültségmentes kábelvonalon szabad végezni. Ilyenkor meg kell tenni a szükséges intézkedéseket, hogy a kábelre üzemi feszültség ne kerülhessen. A szigetelésvizsgáló segítségével történő fázisegyeztetésnél a kábel közelében tartózkodó egész személyzet figyelmét fel kell hívni, hogy ne érintsék a kábel ereit.

Az áramvezető erekhez csak azután csatlakoztathatók, ha a kábelt már kisütötték. A maradék töltés eltávolítására a kábelt 2–3 percre leföldelik.

*Az erőátviteli kábelek egyes ereit az azonosítás megkönnyítésére már a gyártási folyamatban színekkel is jelölik. Az impregnált papírszigetelésű erőátviteli kábelek ereinek egyike vörös, a másik kék, a harmadik a kábelpapír természetes színe. Négyerű impregnált papírszigetelésű, 0,6/1 kV feszültségű kábeleknél a negyedik ér színe: zöld/természetes színű papír. Az MSZ 146/3 szerint gyártott PVC-szigetelésű, 0,6/1 kV-os kábel ereinek színei: a PVC természetes színe, vörös (vagy zöld/sárga), kék, fekete. A 3,6/6 kV-os és ennél nagyobb feszültségű és ennél nagyobb névleges feszültségű, valamint az erenként árnyékolt kábeleken (pl. a SzAQKvKVM-) színjeleket nem használnak. Színnel jelölt kábelerek esetében a fázishelyzet biztosítása általában egyszerű, ha az a karmantyúnál szükséges. Mindössze abból áll, hogy a hat érből kiválasztják az azonos színű párokat. Ezeket az ereket megjelölik és összekötésre előkészítik. Szerelési okokból sokszor célszerűbb a karmantyúkat „vakon” összekötni és a fázishelyzetet a végelzárok szerelésekor azonosítani.*



## 12. A FÁZISHELYZET MEGHATÁROZÁSÁNAK KÖZVETLEN MÓDSZEREI

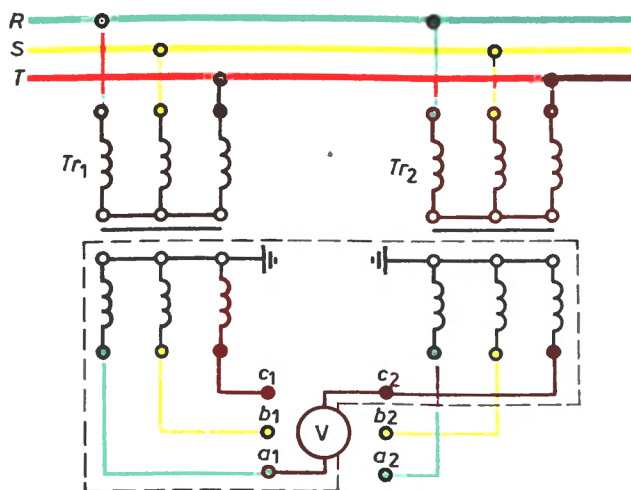
### Transzformátorok

Ezzel a módszerrel (61. ábra) azonosítják az  $Yy_0$  kapcsolású erőátviteli transzformátorok fázishelyzetét. Ugyanezt a módszert alkalmazzák olyan feszültségváltók esetén, amelyeknek szekunder tekercsének csillagpontja le van földelve. A fázisegyeztetést a kisebb feszültségű tekercs oldaláról voltmérő segítségével végzik. A voltmérő méréshatára legalább kétszeres fázisfeszültségű legyen, ugyanis ilyen feszültség megjelenése a transzformátorok kapcsai között nincs kizárva.

A vizsgálat megkezdése előtt a szekunder tekercsek csillagpontjait leföldelik vagy összekötik a közös nullavezetővel. A csillagpontok egyesítésére szükség van a két transzformátor közötti villamos kapcsolat megteremtéséhez.

Mielőtt elkezdenénk a fázishelyzet meghatározását, ellenőrizni kell a transzformátorok feszültségének szimmetrikusságát. A transzformátor primer oldalára  $U_1$  feszültséget kapcsolunk, amelynek értéke nem lehet nagyobb, mint a névleges szekunder feszültség (400 V). A voltmérőt egymás után hozzákapcsolják az  $a_1-b_1$ ;  $b_1-c_1$ ;  $c_1-a_1$ ;  $a_2-b_2$ ;  $b_2-c_2$ ;  $c_2-a_2$  kapcsokhoz. Ha a mért feszültségértékek lényegesen különböznek egymástól, ellenőrzik mindkét transzformátor megcsapolását, ill. az átkapcsoló helyzetét. A fázisazonosítás akkor folytatható tovább, ha a feszültségkülönbség nem haladja meg a 10%-ot. Definíció szerint ez nem közvetlen módszer, mivel nem a névleges feszültségen végzik.

A felsorolt műveletek elvégzése után kezdődik meg a tulajdonképpeni fázisazonosítás. A vizsgálat lényegében arra irányul, hogy megkeressük azokat a kapcsokat, amelyek között a feszültségkülönbség nulla. Ennek érdekében a voltmérő vezetékeit hozzácsatlakoztat-



61. ábra. Földelt szekunder csillagpontú transzformátorok fázisforgatásának ellenőrzése  
(a szaggatott vonal a műszeren átfolyó áram irányát mutatja)

ják az egyik transzformátor tetszés szerint kiválasztott kapcsához, a másik vezetővel pedig sorra megérintik a másik transzformátor három kapcsát (pl. megméri a feszültséget az  $a_1-a_2$ ;  $a_1-b_2$ ;  $a_1-c_2$  kiemenetek között). A fázisazonosítás további menete a kapott eredményektől függ. Ha az egyik mérés során (mondjuk az  $a_1-a_2$  kapcsok között) a voltmérő állása nulla, akkor ezeket a kapcsokat megjelölik, a voltmérőt pedig hozzákapcsolják az első transzformátor másik szekunder kapcsához és megméri a feszültséget a  $b_1-b_2$  és a  $b_1-c_2$  kapcsok között is. Amennyiben a voltmérő egyik mérése (pl. a  $b_1-b_2$  között) szintén nulla, akkor a fázishelyzet meghatározását befejezettnek lehet tekinteni. Különösebb szükség nincs arra, hogy a  $c_1-c_2$  kapcsok között feszültséget mérjenek, ugyanis a voltmérő két nulla állása esetén ( $a_1-a_2$  és  $b_1-b_2$ ) a harmadik fázispár közötti feszültségnek természetesen nullának kell lennie (62a ábra). Azonban a fázisok egybeesését bizonyító eredmények igazolásaként mégis elvégzik a  $c_1-c_2$  közötti feszültségmérést. Azokat a kapcsokat, amelyek között nem volt feszültségkülönbség, a transzformátorok párhuzamos üzemeltetése esetén összekapcsolják. A kapcsolókészüléknél az ilyen kapcsoknak közvetlenül egymással szemben kell lenniük.

Ha az  $(a_1-a_2; a_1-b_2; a_1-c_2; b_1-a_2; b_1-b_2; b_1-c_2)$  kivezetések ellenőrzése során különböző nagyságú feszültségek jelennek meg, akkor ez azt jelenti, hogy a transzformátorok különböző kapcsolási csoportokhoz tartoznak és azok párhuzamosan nem kapcsolhatók. Ilyenkor a fázishelyzet meghatározását abbahagyják. A mért értékekből vektordiagram szerkesztésével megállapítják a transzformátor fázisforgatási szögét és abból állapítják meg, hogy a transzformátorok párhuzamos üzeméhez milyen átkötéseket lehet, ill. kell elvégezni.

Két jellemző eset nagyon gyakori. Közülük az egyikben:

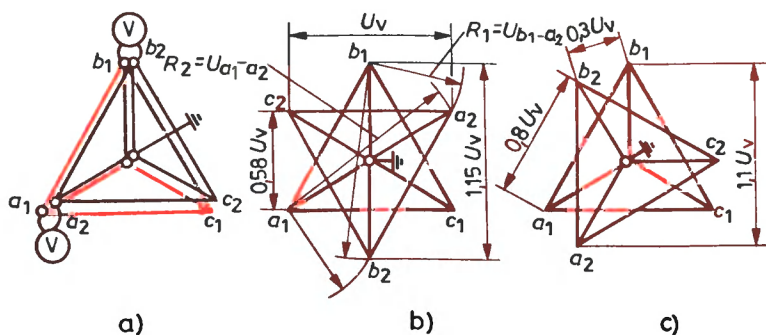
$$U_{a_1-a_2} = 1,15 U_1; \quad U_{a_1-b_2} = 0,58 U_1; \quad U_{a_1-c_2} = 0,58 U_1;$$

$$U_{b_1-a_2} = 0,58 U_1; \quad U_{b_1-b_2} = 1,15 U_1; \quad U_{b_1-c_2} = 0,58 U_1;$$

ahol  $U_1$  a vizsgálófeszültség.

Az erre az esetre tipikus vektordiagramot a 62b ábra mutatja be. Az ábrából látható, hogy a szekunder feszültségvektorai  $180^\circ$ -kal elfordultak, az  $a_1-a_2$  kapcsok közötti feszültség pedig a fázisfeszültség kétszeresével egyenlő:

$$U_{a_1-a_2} = 2U_f = \frac{2}{\sqrt{3}U_1} = 1,15 U_1.$$



62. ábra. A transzformátorok kisfeszültségű tekercseinek feszültségei fázisegyebees esetén (a);  $180^\circ$  eltolódás esetén:

pl. Dy 11 és Dy 5 kapcsolási csoportok (b);  $30^\circ$  eltolódás esetén pl. Yy 0 és Dy 11 kapcsolási csoportok (c)

Ha mindkét transzformátor kapcsolási csoportja páratlan, akkor párhuzamos üzemeltetésükhöz közülük az egyik nagy- és kisfeszültségű tekercs kapcsain a síneket át kell kapcsolni, azaz elvégezni a fázisok kettős átjelölését. A páros csoportú transzformátoroknál (valamint a páros 0 csoportúaknál) a tekercsek belső átkapcsolása szükséges.

A második esetben:

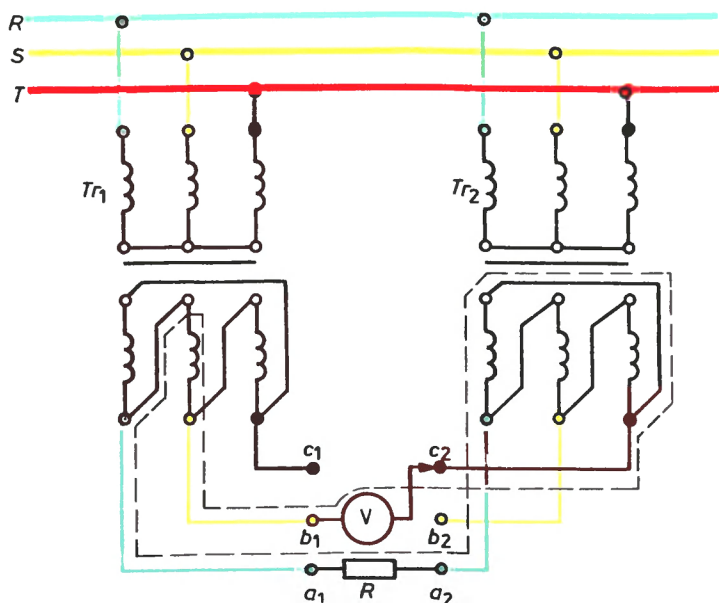
$$U_{a_1-a_2}=0,3U_1; \quad U_{a_1-b_2}=0,8U_1;$$

$$U_{a_1-c_2}=1,1U_1; \quad U_{b_1-a_2}=1,1U_1;$$

$$U_{b_1-b_2}=0,3U_1; \quad U_{b_1-c_2}=0,8U_1.$$

A tipikus vektordiagramon (62c ábra) a feszültségvektorok  $30^\circ$ -kal el vannak tolvá. Ilyen eltolódási szöge lehet a páros (vagy nulla) és páratlan kapcsolási csoportú transzformátoroknak. Az ilyen transzformátorok párhuzamos kapcsolása nem végezhető el semmilyen körülmények között. A vektordiagramok szerkesztési technikáját a 62b ábra szemlélteti. Az első transzformátor vonali feszültségeinek vektorháromszögét tetszőlegesen szerkesztik. A második háromszög csúcspontjait pedig az  $a_1-a_2$  és  $b_1-a_2$ ;  $a_1-b_2$  és  $b_1-b_2$  kapcsok közötti feszültségekkel számszerint egyenlő sugarak metszésével szerkesztik ki.

A 63. ábra szerinti módszert olyan Yd kapcsolású transzformátorok fázishelyzetének meghatározásánál alkalmazzák, amelyek szekunder tekercseinek csillagpontja nincs kivezetve, kisfeszültségű tekercse max. 400 V és a két szekunder kapcsot ellenállással áthidalják. A fázishelyzet meghatározását a kisfeszültségű oldalon végzik voltmérővel. A transzformátorok feszültség alá helyezése előtt szigetelésvizsgálóval ellenőrzik a szekunder tekercsek szigetelésének ellenállását a földhöz képest. A tekercseknek nem szabad semmilyen kapcsolatban lenniük a földdel, ugyanis a tekercskivezetések áthidalásakor a kettős földzárás rövidzárlathoz vezethet. Az ellenállásokat (lehetőleg 3...5 k $\Omega$  ellenállással) egy és ugyanazon transzformátor két tetszőleges kapcsa között helyezik el (63. ábra). Ennek jelenléte nem jelent semmilyen veszélyt a transzformátorokra, mivel ilyenkor nem jön létre a rövidzárlati áram áthaladásához szükséges zárt áramkör. Zárt áramkör a voltmérő bekapcsolásával jön létre, amelynek – mint ismeretes – néhány k $\Omega$  nagyságrendű ellenállása van, és a rajta átmenő áram jelentéktelenül kicsi.



63. ábra. Kapcsolás Yd transzformátorok fázisegyeztetéséhez

A fázishelyzet meghatározásához a transzformátorokat a nagyfeszültségű oldalról helyezik feszültség ( $U_1$ ) alá, majd ezt követően a transzformátorok kisfeszültségű kapcsain feszültségmérővel ellenőrzik a fázishelyzet meghatározásához odavezetett feszültségek szimmetriáját. Összesen hat mérést végeznek el.

A fázisegyeztetést két ütemben végzik. Először lemérik az első transzformátor szabad végeinek egyike és a másik transzformátor másik két kimenete közötti feszültséget, pl. a  $b_1-b_2$  és  $b_1-c_2$  kapcsok között. Ezután lemérik a feszültséget a második szabad kapocs és a második transzformátor ugyanazon kapcsai között ( $c_1-b_2$  és  $c_1-c_2$ ). A mérések adata attól függ, hogy melyik kapocspár közé van helyezve a híd. Az elhelyezésére három alternatíva lehetséges:  $a_1-a_2$ ;  $b_1-a_2$ ;  $c_1-a_2$ . Ezen alternatívák mindegyikéhez azonos transzformátorkapcsolási csoportok esetén a következő voltmérőállások tartoznak:

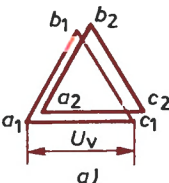
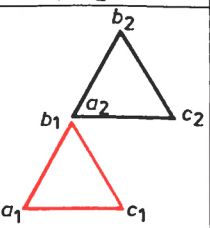
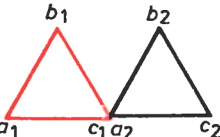
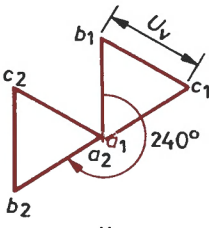
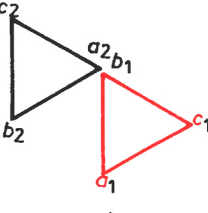
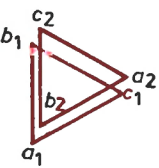
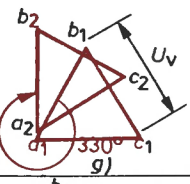
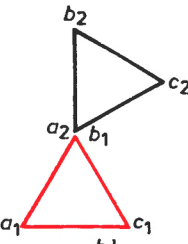
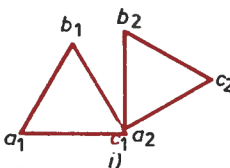
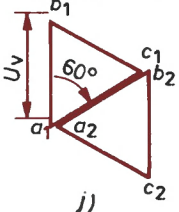
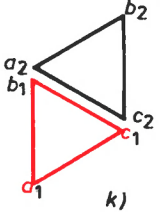
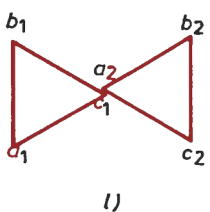
Össze- kapcsolandó kapcsok	$a_1 - a_2$	$b_1 - a_2$	$c_1 - a_2$
Kapcsok	$U_{b_1 - b_2} = 0$	$U_{a_1 - b_1} = 2U_1$	$U_{a_1 - b_2} = 1,73U_1$
közötti	$U_{b_1 - c_1} = U_1$	$U_{a_1 - c_1} = 1,73U_1$	$U_{a_1 - c_2} = 2U_1$
feszültség	$U_{c_1 - b_1} = U_1$	$U_{c_1 - b_2} = 1,73U_1$	$U_{b_1 - b_2} = U_1$
	$U_{c_1 - c_2} = 0$	$U_{c_1 - c_3} = U_1$	$U_{b_1 - c_2} = 1,73U_1$

Az ilyen adatok alapján szerkesztett kisebb feszültségű tekercsek feszültségdiagramját a 64. ábra mutatja be. A 64a ábrából közvetlenül következik, hogy a transzformátorok azonos kapcsolási csoportúak és azok párhuzamosan kapcsolhatók az  $a_1$  és  $a_2$ ;  $b_1$  és  $b_2$ ;  $c_1$  és  $c_2$  kapcsok egymás közötti kapcsolásakor. A két másik vektordiagramot (64b és c ábrák) ugyanezekre a transzformátorokra szerkesztették, így ezzel is lehetővé teszik az ilyen következtetés elvonását. A fázishelyzet meghatározását általában befejezik azzal, hogy megkapják a három mérési alternatíva egyikét és megszerkesztették a 64a, b, c ábrán láthatóhoz hasonló vektordiagramot.

Megjegyezzük, hogy a fázishelyzet meghatározásának ezen esetére (azonos nemű  $a_1 - a_2$  kivezetések kapcsolási alternatívája) jellemző a voltmérő két nulla állása minden mérési fogásnál. Azonban itt kell megállapodnunk, hogy két nulla értéket különböző kapcsolási csoportok esetén is kaphatunk, amikor a feszültségvektorok  $240^\circ$ -ra el vannak tolva. Azonban ilyenkor a híddal a  $c_1$  és  $a_2$  kapcsokat kell összekapcsolni:

64. ábra. A feszültségek lehetséges vektorhelyzete fázisegyeztetéskor

- $a)$ ,  $b)$ ,  $c)$  azonos kapcsolási csoportok esetén;  
 $d)$ ,  $e)$ ,  $f)$  a vektorok  $240^\circ$ -os eltolódásakor;  
 $g)$ ,  $h)$ ,  $i)$  ugyanaz  $330^\circ$  esetén;  
 $j)$ ,  $k)$ ,  $l)$  ugyanaz  $60^\circ$  esetén

Rövidrezárt kivezetések		
$a_1 - a_2$	$b_1 - a_2$	$c_1 - a_2$
 <p>a)</p>	 <p>b)</p>	 <p>c)</p>
 <p>d)</p>	 <p>e)</p>	 <p>f)</p>
 <p>g)</p>	 <p>h)</p>	 <p>i)</p>
 <p>j)</p>	 <p>k)</p>	 <p>l)</p>

Össze- kapcsolandó kapcsok	$a_1-a_2$	$b_1-a_2$	$c_1-a_2$
Kapcsok közötti feszültség	$U_{b_1-b_2}=1,73U_1$ $U_{b_1-c_2}=U_1$ $U_{c_1-b_2}=2U_1$ $U_{c_1-c_2}=1,73U_1$	$U_{a_1-b_2}=U_1$ $U_{a_1-c_2}=1,73U_1$ $U_{c_1-b_2}=1,73U_1$ $U_{c_1-c_2}=2U_1$	$U_{a_1-b_2}=0$ $U_{a_1-c_2}=U_1$ $U_{b_1-b_2}=U_1$ $U_{b_1-c_2}=0$

A 64d, e, f ábrán bemutatjuk a vektordiagramokat. Az ilyen transzformátorok párhuzamos kapcsolása csak a transzformátorhoz vezető sínek átkapcsolása után lehetséges, azaz a fázisok ciklikus átjelölése után.

A transzformátorok párhuzamos kapcsolásának lehetetlenségét bizonyítják a voltmérők olyan állásai, amikor a híd elhelyezésének mind a három alternatívájában nem jön létre egyetlenegy nulla helyzet sem, pl.:

Össze- kapcsolandó kapcsok	$a_1-a_2$	$b_1-a_2$	$c_1-a_2$
Kapcsok közötti feszültség	$U_{b_1-b_2}=0,5U_1$ $U_{b_1-c_2}=0,5U_1$ $U_{c_1-b_2}=1,4U_1$ $U_{c_1-c_2}=0,5U_1$	$U_{a_1-b_2}=1,9U_1$ $U_{a_1-c_2}=1,9U_1$ $U_{c_1-b_2}=1,9U_1$ $U_{c_1-c_2}=1,4U_1$	$U_{a_1-b_2}=1,4U_1$ $U_{a_1-c_2}=1,9U_1$ $U_{b_1-b_2}=0,5U_1$ $U_{b_1-c_2}=1,4U_1$

A 64g, h, i ábrán látható és ugyanerre az esetre szerkesztett vektordiagramokból kitűnik, hogy a vonalfeszültség-vektorok 30° szögben eltoltak. Ilyen szöget kapunk, ha a transzformátorok a páratlan és páros (vagy 0) kapcsolási csoporthoz tartoznak, pl. Yy 0 és Yd 11 csoportokhoz, ezek párhuzamos kapcsolása pedig lehetetlen.

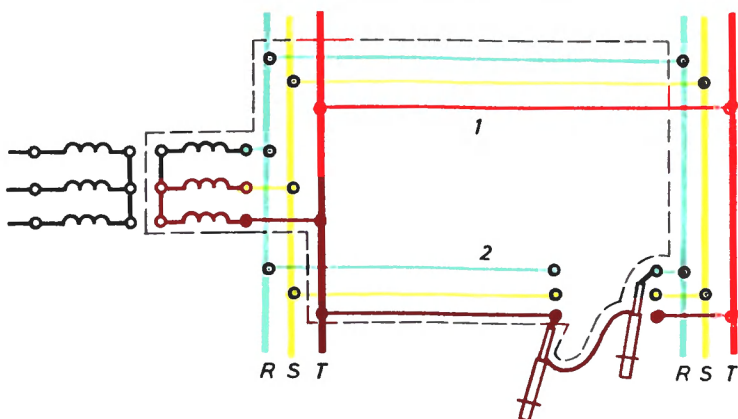
Ha a fázishelyzet meghatározásának folyamatában a híd elhelyezés három alternatívája közül kettőben egyenként nulla eredményt kapnak, akkor ez a párhuzamos kapcsolás lehetőségét jelenti, de csak a sémán végzett bizonyos változtatás után.



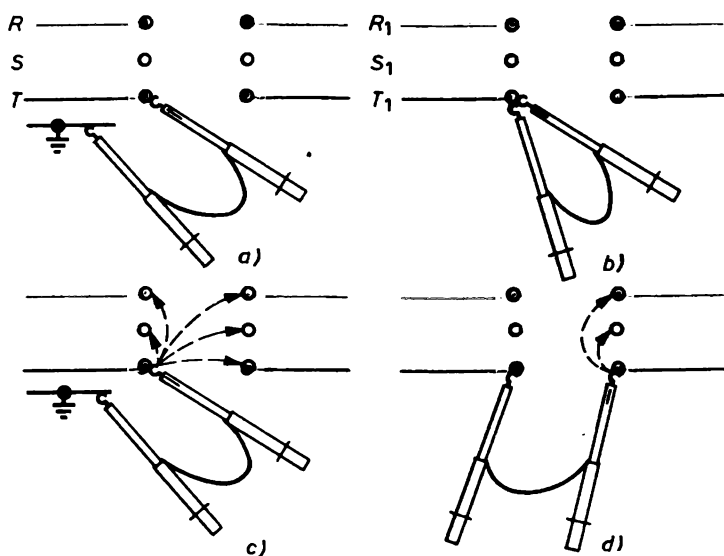
A páratlan csoportú transzformátoroknál, ahol a szekunder feszültség vektorának eltolódása  $60^\circ$  (64j, k, l ábra), el kell végezni a fázisok kettős átjelölését.

## Vezetékek

*A 6...10 kV-os kábelek és szabadvezetékek fázissorrendjének meghatározása.* A fázisazonosítás módszerét megvilágító elvi sémát a 65. ábra szemlélteti. Az azonosítás így módon az UVNF kétpólusú feszültségvizsgálóval (l. az 55. ábrát) végezhető. Először feszültség alá helyezik az összekapcsolandó két rendszert a megszakító- vagy szakaszoló nyitott helyzetében. Ekkor a készülék CK bemeneti és kimeneti kapcsain megjelenik a feszültség, amelynek fázissorrendjét azonosítani kell. Ellenőrzik a feszültségvizsgáló helyes működését. Ehhez a tapogatórúddal megérintik a földelést, a feszültségjelző rudat (amelyen a jelzőlámpa van) pedig néhány másodpercig hozzáérintik a feszültség alatt levő készülék egyik kapcsához (66a ábra). Ilyenkor a lámpának ki kell gyulladnia. Ezután a tapogató és a jelzőrúd érintkezőit az egyik áramvezető részhez (66b ábra) nyomják. A lámpának ilyenkor nem szabad égnie! A feszültség jelenlétét a kapcsolókészülék mind a hat kapcsán ellenőrzik a 66c ábra szerint. Az ellenőrzést annak érde-



65. ábra. Galvanikus (nem transzformátoron keresztül kapcsolódó) kapcsolatban levő hálózat fázishelyzetének meghatározása



66. ábra. 10 kV-os hálózat fázissorrendjének meghatározása UVNF típusú feszültségvizsgálóval

a) és b) vizsgáló üzemképességének ellenőrzése; c) a feszültség ellenőrzése; d) a fázissorrend meghatározása

kében végzik így, hogy kiküszöböljék a hibát, ami pl. abból adódhat, hogy az egyik fázisban az egyik biztosító kiolvadt.

A tulajdonképpeni fázissorrend-meghatározás csak ezután következik, és abból áll, hogy a készülék egyik rúdjaival megérintik a készülék valamelyik szélső csatlakozókapcsát, a  $T$  fázist, a másik rúd érintkezőjével pedig egymás után a másik vonal három csatlakozókapcsát (66d ábra). Ha a két vonal fázissorrendje az ábra szerinti, akkor az érintés két esetében ( $T-R_1$  és  $T-S_1$ ) a lámpa fényesen világít, a harmadik esetben pedig nem világít, ami a fázisok azonos nemét jelenti.

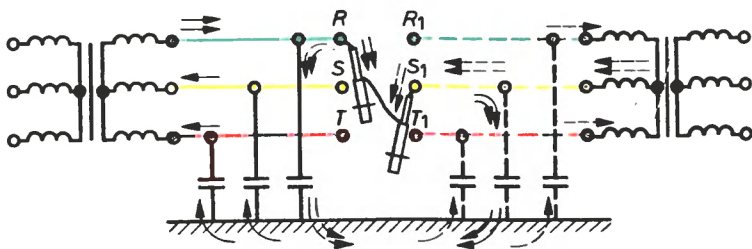
Az első azonos nemű kapocspár meghatározása után a vizsgáló-érintkezőkkel sorban megérintik a további kapocspárokat, az  $R-R_1$  és  $R-S_1$ -et. Az érintések egyikekor a lámpa izzásának elmaradása utal a következő azonos nemű kimenetpárookra.

A harmadik  $T-T_1$  kimenetpár fázisegyebeesését már nem szükséges ellenőrizni, a fázisoknak egybe kell esniük.

Az azonos fázisok párhuzamosan kapcsolhatók. Ha az azonos nemű fázisok a megszakítónál vagy a kapcsolónál nem esnének egymással szembe, akkor a készüléket feszültségmentesítik és a síneket abba a sorrendbe kötik át, amely a fázisok egyezéséhez szükséges.

*6...10 kV-os kábelek és szabadvezetékek fázissorrendjének meghatározása.* A következőkben ismertetett módszert olyan, különböző állomásoktól kiinduló vonalak fázishelyzetének meghatározásához használják, amelyeket szinkronban működő hálózat táplál. E módszer két transzformátor közötti hálózat (kábel, szabadvezeték) fázissorrendjének meghatározására alkalmazzák. Azonban a szekunder oldalon 400 V-os transzformátorok fázishelyzetének meghatározásától eltérően adott esetben nem szükséges sem a csillagpontok földelése, sem az ideiglenes áthidalások elhelyezése a szekunder kapcsok között, mivel a zárt kört, amely a készülék működéséhez szükséges, a hálózat villamos kapacitást tartalmazó elemei biztosítják. A két hálózat fázishelyzetének meghatározási vázlatát a 67. ábra mutatja be. A vázlatból látható, hogy a készüléken keresztül, ha azt különböző fázisokra kapcsolják, áram folyik. Az áram nagysága a kapacitív áramok geometriai különbségével egyenlő.

Ehhez a vizsgálathoz is az UVNF típusú feszültségvizsgálót lehet alkalmazni. A készülék jelzőlámpája különböző fázisokra történő kapcsolás esetén világít, míg azonos fázisok esetén nem. A fázishelyzet meghatározásának sorrendje és lépései nem különböznek azoktól, amelyeket már a közvetlenül összekapcsolt 6...10 kV-os kábel és szabadvezeték-hálózatok fázishelyzet-meghatározási módszerének tárgyalásakor leírtunk.



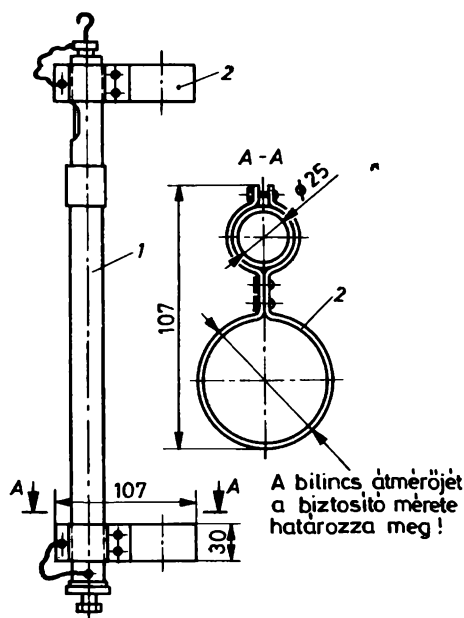
67. ábra. Áramutak az olyan hálózatok fázishelyzetének meghatározásakor, amelyek között galvanikus kapcsolat nincs

A hálózatok fázishelyzet-meghatározásán kívül ezt a módszert alkalmazzák az erőátviteli transzformátorok fázishelyzetének meghatározásához is.

*Olvadóbiztosítókkal védett, 6...10 kV-os hálózatok és transzformátorok fázissorrendjének meghatározása.* Elvileg a fázissorrend meghatározásához alkalmazhatók az UVN-80 és UVN-10 típusú egypólusú feszültségvizsgálók, amelyeket általában az áramvezető részekben a feszültség jelenlétének vagy éppen hiányának meghatározására használnak. Csak az a fontos, hogy alkalmazási feltételeink garantálják a gyújtóküszöböt az azonos fázisok és különböző fázisok fázissorrendjének vizsgálata esetén. Az UVNF keresőknél ezt az ellenállások megfelelő összeválogatásával és a jelzőlámpa kondenzátoros söntölésével érik el. Az egypólusú feszültségvizsgáló használata a fázissorrend meghatározásához rendszerint csak áramkorlátozó ellenállásokkal együtt ajánlatos. Ezek rendeltetése az, hogy a rövidzárlat lehetőséget kizárja, ha a személyzet hibát követne el a fázishelyzet-meghatározási folyamat során. Ugyanis előfordulhat, hogy a vizsgáló egyes részei hozzáérnek földelt szerkezetekhez, vagy éppen a vizsgálóeszköz kiesik a műveletet végző kezéből stb. A „Specielektromontazs” Tröszt Üzembehelyezési Igazgatósága az olvadó biztosítón keresztül bekapcsolandó 6...10 kV-os hálózatok fázishelyzetének meghatározásakor az UVN-80 típusú feszültségkereső munkarészét kiegészítő ellenállás nélkül alkalmazza. A vizsgálókészülékre sárgaréz gyűrűket helyeznek (68. ábra), amelyek segítségével azokat a három fázis kivett biztosítóbetétei helyére teszik. A vizsgálóeszközök behelyezését feszültségmentes állapotban végzik. Feszültség alatt a behelyezést szigetelt fogókkal kell végezni! Valamennyi fázisban ellenőrzik a feszültség jelenlétét. Ezután megfigyelik, hogy a fázissorrend meghatározásához használt vizsgálókészülék lámpája izzik-e. A fázisok egybeesésekor a lámpák nem világítanak.

A fázissorrend meghatározása során az erőátviteli transzformátorokat a kisfeszültségű oldalon helyezik feszültség alá.

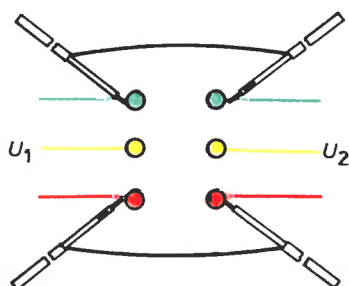
Az UVN-80 feszültségvizsgáló munkarészeit 20 kV-os próbafeszültségen ellenőrzik. Világos, hogy az ilyen próbafeszültség és a feszültségvizsgálat alkalmazási metodikája lehetővé teszi, hogy kiegészítő ellenállás nélkül is használható legyen a készülék 0 kV feszültségű berendezésekben a fázissorrend meghatározására.



68. ábra. Bilincs elhelyezése az UVN-80 típusú feszültségvizsgálón  
a 6...10 kV feszültségű berendezések fázissorrendjének meghatározásakor  
1 az UVN-80 típusú feszültségvizsgáló munkarésze; 2 sárgaréz bilincs

35...110 kV feszültségű kábel- és szabadvezeték-vonalak fázishelyzetének meghatározása. A fázishelyzet meghatározásához az UVNF-35-110 típusú feszültségvizsgálót alkalmazzák (56. ábra). A fázisazonosítást a megszakító (vagy szakaszoló) kikapcsolt helyzetében végzik. A csatlakozókapcsok feszültség alatt vannak: egyik oldalon a kapcsolóberendezés síneiről, a másik oldalon a hálózatról kapják a feszültséget. A hálózat fázissorrendjét egyébként a bekapcsolás előtt még egyszer meg kell határozni. Először a megszakító valamennyi fázisán (csatlakozókapcsán) ellenőrzik a feszültség jelenlétét úgy, hogy a vizsgálókészülék csúcsérintkezőit a fázisvezetőhöz, ill. a földelt szerkezethez érintik. Feszültség esetén a jelzőlámpa világít.

Ezt követően a megszakító szélső fázisain a nyitott pólusokon ellenőrzik a feszültségek fázis szerinti egybeesését (69. ábra). A középső fázison nem végeznek ellenőrzést. Ha a vizsgálókészülék lámpája a szélső fázisokon végzett azonosítás során nem gyullad ki, akkor az egyeztetést befejezettnek lehet tekinteni, mivel a fázisok egybeesnek. Ha viszont a lámpa mindkét szélső fázison vagy csak az egyikén is világítana, akkor a fázisazonosítást nem folytatják, mivel világos, hogy a fázisok nem esnek egybe.



69. ábra. A feszültségvizsgáló bekötése a megszakító kapcsaihoz  
35...110 kV feszültségű hálózat fázissorrendjének meghatározásakor

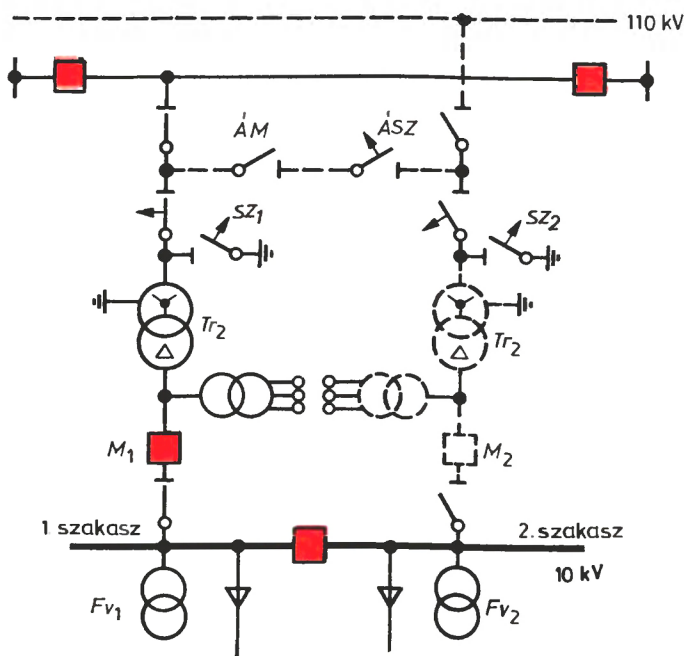
Az áramnak a vizsgálon keresztül való áthaladása attól függ, hogy milyen üzemmódban működik a berendezés. A földelt vagy kompenzált csillagpontú hálózatokban az áram a transzformátorok csillagpontjain, a szigetelt csillagpontú hálózatokban a berendezés áramvezető részeinek földhöz viszonyított kapacitásán keresztül folyik. A fázishelyzet akkor is meghatározható, ha hiányzik a hálózatban a földdel való érintkezés.

### Egyszerűsített kapcsolású állomások

A berendezés fázishelyzete meghatározható kétpólusú feszültségvizsgálóval valamennyi alállomáson, azonban alkalmazása legcélszerűbb az ún. egyszerűsített kapcsolású alállomásokban (70. ábra). Az ilyen alállomások nagyobb feszültségű oldalán – különösen az építés első szakaszában – rendszerint nemcsak a kapcsolók hiányoznak, hanem

a feszültségváltók is, ami kizárja a fázishelyzet meghatározásának közvetett alkalmazását a nagyobb feszültségű oldalon. Ezenkívül az új berendezés üzembe helyezését gyakran szakaszosan végzik: először üzembe helyeznek egy vonalat és egy transzformátort, azt követően pedig a terhelés növekedésével a másik transzformátort és a másik vonalat. Ilyen feltételek mellett a berendezés fázishelyzetének meghatározása közvetett módszerrel a kisfeszültségű oldalról ugyancsak nem végezhető el a fogyasztók lekapcsolása és a gyűjtősin szakaszos felszabadítása nélkül. Ha nincs lehetőség a fogyasztók lekapcsolására, a berendezés fázishelyzetének meghatározását a közbenső állomásokra helyezik át, felhasználva ehhez a szabadvezeték-vonalak kapcsolóállomásait is. Ez azonban bonyolult kapcsolásokat igényel, pl. tartalék sinrendszer kialakításával, közbenső állomásokon.

A közvetlen fázisazonosítási módszerek alkalmazhatóságát egy példán keresztül mutatjuk be. Tételezzük fel, hogy az állomáson (70.



70. ábra. 110 kV-os állomás vázlata

ábra) a  $Tr_2$  transzformátor és a 10 kV gyűjtősínek 1. és 2. szakaszáról táplált fogyasztók üzemelnek. Bekapcsolásra előkészítették a  $Tr_2$  transzformátort. Meg kell határozni a 110 kV sínrendszer és a  $Tr_2$  transzformátor fázishelyzetét. Ehhez a 110 kV gyűjtősínen először feszültség alá helyezik az  $SZ_2$  szakaszoló bekapcsolásával a  $Tr_2$  transzformátort. Ezt követően kikapcsolják az  $SZ_2$  szakaszolót, és rögzítik a szakaszoló hajtását. A  $Tr_2$  transzformátort a kisebb feszültségű oldalról feszültség alá helyezik. Ilyenkor előzetesen ellenőrizni kell az üzemelő  $Tr_1$  transzformátor, túláramvédelmi reléinek beállítási értékeit, nehogy a mágnesezőáram miatt az üzemi áram olyan értéket érjen el, hogy a védelem kioldjon. A gyűjtősín és a  $Tr_2$  transzformátor fázissorrendjét kétpólusú feszültségvizsgálóval ellenőrzik az  $SZ_2$  szakaszoló kapcsain. Ha a fázissorrend azonos, kikapcsolják az  $M_2$  megszakítót. Ezután a  $Tr_2$  transzformátor párhuzamos üzemre kapcsolása már a szokásos módon elvégezhető.

### **Balesetelhárítási követelmények a fázishelyzet feszültségvizsgálóval végzett meghatározásakor**

Mielőtt hozzáfognának a fázisazonosításhoz, meg kell győződni arról, hogy a munkahely előkészítése megfelel-e az általános biztonsági követelményeknek, valamint arról is, hogy a feszültségvizsgáló készülékkel a feszültség alatti berendezésen végzett munka speciális követelményei betarthatók-e.

Azokat a villamos berendezéseket, amelyek kapcsain a fázisazonosítást el kell végezni, még a feszültség alá helyezés előtt megbízhatóan kell reteszelni és óvintézkedéseket kell tenni bekapcsolásuk biztonságos megakadályozására.

A feszültségvizsgálókat a feszültség alatti munka megkezdése előtt gondos szemrevételezéssel ellenőrizni kell. Ennek során azt kell megvizsgálni, hogy a csövek lakk bevonata, a kapcsolóvezeték szigetelése és a feszültségjelző lámpa sérülés- és karcolásmentes legyen. A feszültségvizsgáló csak meghatározott időtartamon belül használható. A használhatóság lejáratí időpontját a feszültségvizsgáló felületén tüntetik fel. Nem szabad alkalmazni olyan feszültségvizsgálót, amelynek szavatossági határideje lejárt.

A feszültségvizsgáló használatakor kötelező a szigetelőkesztyű viselése. A munka során nem ajánlatos az összekötővezeték a föl-



delt részekhez közelíteni. Munka közben ügyelni kell arra, hogy a készülék munka- és szigetelőrészei olyan helyzetben legyenek, hogy felületük ne idézhessen elő fázis-, ill. földzárlatot.

A feszültségkeresővel nem szabad munkát végezni, esőben, hóesésben, ködben, ugyanis a szigetelőrészek átnedvesedhetnek, ami átütéshez vezethet.

### 13. A FÁZISHELYZET MEGHATÁROZÁSÁNAK KÖZVETETT MÓDSZEREI

Hazánkban az új elosztó- és kapcsolóberendezésekben alkalmazott gyűjtősinék színezése az MSZ-09,0238-79 sz. NIM ágazati szabványnak megfelelően történik. A feszültségváltók kapocsjelölésének ellenőrzését az üzembe helyező szervek végzik el gépkönyvek és tervdokumentáció alapján. Az elkészített színezés és jelölések helyességének végleges ellenőrzését általában úgy végzik el, hogy az elosztóberendezést feszültség alá helyezik. Ilyenkor a feszültséget fázisonként kapcsolják rá, azaz először az  $R$ , majd az  $S$  és végül a  $T$  fázisra. Közben ellenőrzik a kapcsolóberendezés és az energiarendszer fázisainak színazonosságát. Egyidejűleg ellenőrzik a feszültségváltó szekunder kapcsain megjelenő feszültség alapján az egyes fázisok jelöléseinek helyességét. A többi feszültségváltó szekunder tekercseinek fázisazonosítását a továbbiakban már az ismert (korábban ellenőrzött) kapocsjelölésű feszültségváltóval végzik. A fázisazonosítás módszerei megegyeznek a 400 V szekunder feszültségű erőátviteli transzformátorok fázisazonosítási módszereivel. Egy adott módszer kiválasztása a szekunder tekercs kapcsolásától függ, azaz attól, hogy földelt-e annak csillagpontja vagy a fázisok egyike. Az első esetben a fázisazonosításhoz olyan feszültségmérőt használnak, amelynek méréshatára legalább a fázisfeszültség kétszerese, a másodikban pedig a vonalfeszültség kétszerese, ugyanis a szekundertekercsek fázisainak földelésekor a feszültség elérheti  $2U$  értéket.

Az üzemi gyakorlatban az olyan feszültségváltó fázisazonosítását, amelynél nem a csillagpont, hanem minden kétséget kizáróan a szekunder tekercsek egyike (pl. az  $S$  fázis) van földelve, az FU-2 típusú fázissorrendjelzővel végzik el. Adott esetben az azért megengedett,

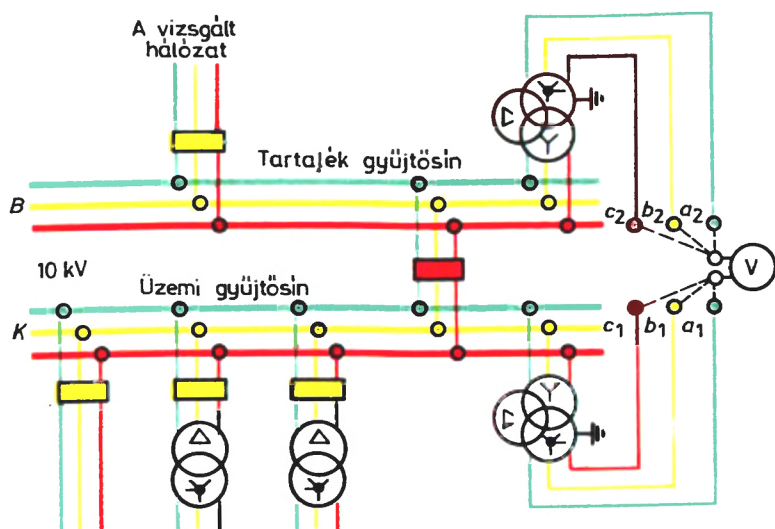
mert az  $S$  fázisok ( $S$  és  $S_1$ ) közvetlenül össze vannak kapcsolva, és csak az  $R$ , valamint a  $T$  fázis feszültségeinek azonosítását kell elvégezni (mint az a 9. ábrán is látható). Amennyiben ezek nem esnének egybe, a fázissorrendjelző tárcsáját az egyik feszültségváltóra kapcsolt feszültség az egyik irányba (pl. jobb), a másik feszültségváltó feszültsége pedig másik (pl. bal) irányba fogja forgatni. Egyéb esetekben ezt a módszert nem szabad alkalmazni, mivel még azonos fázissorrend esetén is az azonos nemű feszültségek fázisai között szögeltolódás lehetséges.

Az azonos feszültségű feszültségváltók fázissorrendjét azonos tápfeszültséggel kell meghatározni. Ha pl. két olyan feszültségváltó fázissorrendjét kell ellenőrizni, amelyeket a nagyfeszültségű oldalon különböző sínrendszerekre (vagy szakaszokra) kapcsolnak, akkor a síneket egymás közt sínbontó-szakaszolóval vagy sínáthidaló megszakítóval kötik össze és ezt követően végzik el a fázisazonosítást. Valamely villamos berendezés közvetett módszerrel történő fázisazonosításakor előzetesen a feszültségváltók fázisazonosítását végzik el.

### **Transzformátorok és hálózatok fázisazonosítása kettős gyűjtősínrendszer esetén**

Ezzel a módszerrel határozzák meg függetlenül a feszültségszinttől a transzformátor és a hálózat (szabadvezeték vagy kábelhálózat) fázisazonosságát.

Egy adott kapcsolóállomásban, ahol mindkét sínrendszer üzemben van a fázisazonosításkor ún. egysínes üzemet tartanak fenn, vagyis a próba idejére az egyik (a 71. ábrán a  $B$ ) sínrendszert szabaddá teszik. Ebben a kapcsolásban a  $K$  gyűjtősínen keresztül tartják fenn az üzemet. A sínáthidaló megszakító bekapcsolt helyzetében voltmérővel ellenőrzik a (tartalék és az üzemi) sínrendszerek fázissorrendjének megfelelőségét. Ezt követően a sínáthidaló megszakítót kikapcsolják. A  $B$  sínrendszerre kapcsolják azt az áramkört, amelynek fázissorrendjét meg kell határozni (71. ábra). Ennek tápoldali végéről az áramkört feszültség alá helyezik, és a  $K$  üzemi, valamint a  $B$  tartalék sínrendszer feszültségváltóinak szekunder kapcsain ellenőrzik a fázissorrend helyességét, azaz elvégzik a fázisazonosítást. Ennek érdekében voltmérővel a következő sorrendben hat mérést végeznek:  $a_1 - a_2$ ;  $a_1 - b_2$ ;  $a_1 - c_2$ ;  $b_1 - a_2$ ;  $b_1 - b_2$ ;  $b_1 - c_2$ . Ha az  $a_1$  és  $a_2$ ;  $b_1$  és  $b_2$ ;  $c_1$



71. ábra. Hálózat fázissorrendjének megállapítása közvetett módszerrel a feszültségváltók szekunder kapcsain

és  $c_2$  kapcsok között a feszültségkülönbség nulla (azaz fázisazonosság esetén a fázissorrend meghatározását befejezik). Megméri a feszültséget az azonos betűjelű kivezetések között. Ha a mérés eredménye nulla, az áramkört kikapcsolják és az áramvezető részeket átkötik. Ezt követően a fázishelyzet azonosítását újra elvégzik.

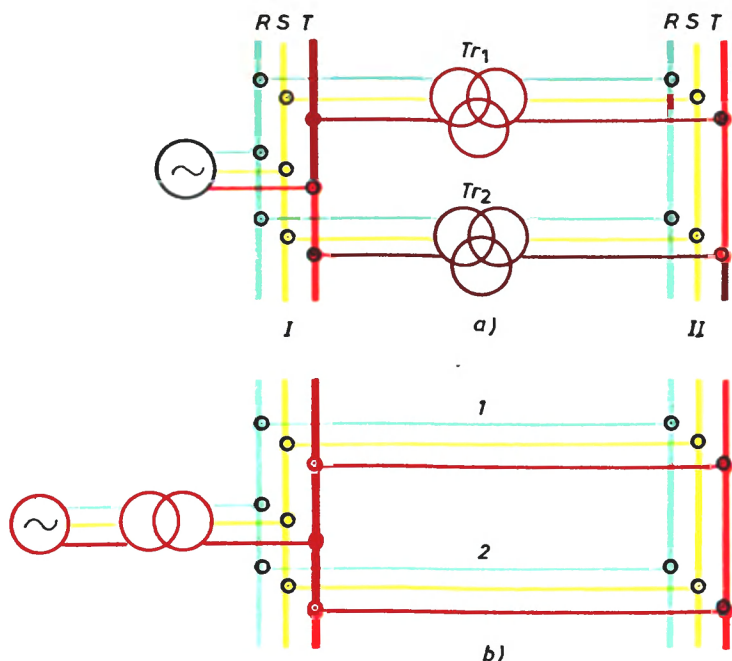
### Háromtekercses (tercier) transzformátorok fázisazonosítása

A fázisazonosítást két ütemben végzik. Először a transzformátort a primer oldaláról helyezik feszültség alá, és a fázishelyzet meghatározását a kisebb feszültségű tekercsoldalon végzik el. A fázisok egybeesése esetén a transzformátort a kisebb feszültségű oldalon kikapcsolják, és a középfeszültségű tekercset kapcsolják a tartalék sínrendszerre, majd ezen a feszültségen végzik el a fázishelyzet meghatározását. Ha mindkét esetben pozitív eredményt kapnak, befejezettnek tekintik a transzformátor fázishelyzetének meghatározását.

## Transzformátorok és hálózatok fázissorrendjének azonosítása folyamatosan végzett (nulláról induló) feszültségnöveléssel

Az e módszer szerinti fázisazonosítást abban az esetben kényelmes elvégezni, amikor a nulláról történő feszültségnövelés egyidejűleg más célokra is szükséges, pl. a védelem ellenőrzésére.

Két transzformátor kapcsolási rajzát szemlélteti a 72a ábra. A vázlaton látható a  $Tr_1$  transzformátor, amelynek a fázissorrendjét meg kell határozni, párhuzamosan van kapcsolva a másikkal ( $Tr_2$ ), amelynek a hálózathoz viszonyított fázisazonosítását már elvégezték. A két transzformátor szekunder tekercseihez generátor kapcsolódik. A fázissorrend azonosítása előtt meggyőződnek arról, hogy a transzformátorok azonos áttételűek-e (a szabályozó állásából), mivel ellenkező esetben a fázissorrend azonosítási eredményei hibásak lehetnek.



72. ábra. Két transzformátor (a) és két, párhuzamosan kapcsolt hálózat (b) fázissorrendjének meghatározása feszültségnöveléssel

A fázissorrend azonosításához a generátor fordulatszámát olyan értékűre növelik, hogy elérje a névleges értéket és lassan (nulláról) növelik a feszültséget. Ellenőrzik a generátor állórészének áramkörébe iktatott ampermérőt, és annak értékei alapján ítélik meg a transzformátorfázisok egybeesését. Ha az áramerősség értékei közelítenek az üresjárási áramértékhez, akkor a transzformátor fázissorrendje azonos. Ha valamelyik fázis fel van cserélve, az ampermérők jelentősen nagyobb áramerősséget jeleznek, amely a feszültség növelésével közeledik a rövidzárlati áramhoz.

Ez a módszer hálózatok fázissorrend-azonosítására akkor alkalmazható (72b ábra), ha van egy másik párhuzamos kábel- vagy szabadvezeték-hálózat is. Ilyenkor az azonosítandó 1 és 2 jelű hálózatokat a két (*I* és *II*) állomás közös (tartalék) sínrendszerével kötik össze. A rendszerre generátort kapcsolva majd a feszültséget nulláról növelik fokozatosan. Ha a hálózatokon a fázisazonosság hiányzik, a vezetékszakaszokon rövidzárlati áram folyik, amit könnyű felismerni az ampermérő állásából.

Kiadja a Műszaki Könyvkiadó  
Felelős kiadó: Fischer Herbert igazgató

Műszaki vezető: Hegedűs Ernő  
Műszaki szerkesztő: Metzker Sándor  
A borítót és a kötetet tervezte: Pázdán Zsuzsa  
A könyv ábráit rajzolta: Csáby Józsefné  
A könyv formátuma: A/5  
Ívterjedelme: 8,5 (A5)  
Ábrák száma: 72  
Példányszám: 10 900  
Betűcsalád és -méret: New Times, 10/11  
Azonossági szám: 61038  
**MŰ: 3115-h-8284**  
A kézirat lezárva: 1980. IX.  
A szedés a Nyomdaipari Fényszedő Üzemben készült  
A nyomdai munkákat a moszkvai MIR Kiadó végeztette

